



การวิเคราะห์โครงสร้างและการพลศาสตร์ของรถประยุคพลังงาน

Structure and Aerodynamic Analysis of ECO-Car

นายชาญพงศ์ คงวารี รหัสนิสิต 49360389

นายพศวรรษ พูลญา รหัสนิสิต 49360631 ห้องสมุดคณะวิศวกรรมศาสตร์

วันที่เข้า 14 ก.ค. 2553
ที่อยู่ 072153 ชั้น 2

นายอาทิตย์ สังข์ทอง รหัสนิสิต 49362512 ลงทะเบียน.....

เลขเริ่กหนังสือ.....ปี.....

มหาวิทยาลัยมหิดล

ปริญญานิพนธ์นี้เป็นส่วนหนึ่งของการศึกษาตามหลักสูตรปริญญาวิศวกรรมศาสตร์บัณฑิต ป.2

สาขาวิศวกรรมเครื่องกล ภาควิชาฯ วิศวกรรมเครื่องกล

๒๒

คณะวิศวกรรมศาสตร์ มหาวิทยาลัยมหิดล

ปีการศึกษา 2552



ใบรับรองโครงงานวิศวกรรม

หัวข้อโครงการ	: การวิเคราะห์โครงสร้างและอาศรมพลศัตรุของรบประหนัดพลังงาน
ผู้ดำเนินโครงการ	: นายชาญณรงค์ คงวารี รหัสนิสิต 49360389
	นายทศวรรษ บุญญา รหัสนิสิต 49360631
	นายอาทิตย์ สังข์ทอง รหัสนิสิต 49362512
อาจารย์ที่ปรึกษา	: ดร.ศศิยา วีรพันธ์
อาจารย์ที่ปรึกษาร่วม	: ดร.ภาณุ พุทธวงศ์
ภาควิชา	: วิศวกรรมเครื่องกล
ปีการศึกษา	: 2552

คณะวิศวกรรมศาสตร์ มหาวิทยาลัยบันเรศวร อนุมัติโครงการ艮บันนีเป็นส่วนหนึ่งของ
การศึกษาตามหลักสูตร วิศวกรรมศาสตร์บัณฑิต สาขาวิศวกรรมเครื่องกล

คณะกรรมการสอบโครงการ

๕๖๘ รายงานการประเมินผลการดำเนินงาน

(ดร.สมิญา วีรพันธ์)

กิจกรรมการ

(คร.กานุ พุทธวงศ์)

กิจกรรมการ

(អគ្គ,គរ,កតាយា កនការវិទ្យ)

9 227 20 ✓ 0551025

(อาจารย์ปองพันธ์ โอทกานนท์)

หัวข้อโครงการ	การวิเคราะห์โครงสร้างและอากาศพลศาสตร์ของรถประทับด้วยพลังงาน		
ผู้ดำเนินโครงการ	นายชาญณรงค์ คงวารี	รหัสนิสิต 49360389	
	นายพชรธร บุญญา	รหัสนิสิต 49360631	
	นายอาทิตย์ สังข์ทอง	รหัสนิสิต 49362512	
อาจารย์ที่ปรึกษา	ดร.ศลิษา วีรพันธ์		
อาจารย์ที่ปรึกษาร่วม	ดร.ภาณุ พุทธวงศ์		
ภาควิชา	วิศวกรรมเครื่องกล		
ปีการศึกษา	2552		

บทคัดย่อ

โครงการนี้นำเสนอเรื่องการวิเคราะห์โครงสร้างและอากาศพลศาสตร์ของรถประทับด้วยพลังงาน ในส่วนของการวิเคราะห์ด้านโครงสร้าง ได้ใช้โปรแกรมทางระเบียบไฟฟ้าในตัวเดิมที่ชื่อ โปรแกรม Solidworks โดยมี Simulation มาใช้ในการวิเคราะห์แบบการทดสอบ ผลที่ได้จากการวิเคราะห์คือ ค่าความเห็นสูงสุด (σ_{max}) เท่ากับ $1.398 \times 10^8 N/m^2$ ความเครียดสูงสุด (ϵ_{max}) เท่ากับ 5.499×10^{-4} ระยะกระชั้นสูงสุด (δ_{max}) เท่ากับ $5.085 \times 10^{-3} m$ และค่าความปลดภัยวินัย (n) ต่ำสุดเท่ากับ 1.87 จากผลที่ได้นำมาวิเคราะห์หาค่าความเสียหายเนื่องจากการชนพิบูลว่า โครงสร้างไม่เกิดความเสียหายจากนั้น ได้ทำการทดลองปรับเปลี่ยนรูปแบบโครงสร้างของรถประทับด้วยพลังงานดันดันแบบเพื่อใหม่น้ำหนักและราคาลดลงแต่ยังสามารถรองรับภาระน้ำหนักที่มากระทำต่อโครงสร้างได้ โดยทำการทดลองปรับเปลี่ยนโครงสร้างทั้งหมด 3 ครั้งแล้วนำมาวิเคราะห์ซึ่งได้ผลครั้งที่ดีที่สุดคือโครงสร้างแบบที่ 4 ซึ่งน้ำหนักลดลง 0.92 กิโลกรัม และราคาลดลง 35.49 บาท ค่าความปลดภัยลดลงเหลือ 1.75 ซึ่งอยู่ในขอบเขตที่สามารถยอมรับได้คือไม่เกิน $0.01 m$

ในส่วนของการวิเคราะห์ด้านอากาศพลศาสตร์ทำโดยการสร้างโมเดลจำลองของรถประทับด้วยพลังงาน 2 แบบคือ แบบหุ้มล้อและแบบไม่หุ้มล้อในขนาดส่วนอัตรา 17:1 ทำการหาพื้นที่หน้าตัดของโมเดลจำลองทั้งสองแบบโดยไม่เคลื่อนย้ายโมเดลจำลองแบบหุ้มล้อมีพื้นที่หน้าตัดเท่ากับ $0.0018 m^2$ และไม่เคลื่อนย้ายโมเดลจำลองแบบไม่หุ้มล้อมีพื้นที่หน้าตัดเท่ากับ $0.0011 m^2$ จากนั้นทำการทดสอบในอุโมงค์ลมหาค่าความดันต่างระหว่างความดัน Stagnation และความดันสถิติซึ่งนำค่าความดันต่าง

ที่ได้นำค่านิวัติมาค่าความเร็วลมที่ด้านหน้าและด้านหลังของโนเดลทั้งสองแบบ จากนั้นนำค่าความดันต่างมาคำนิวัติมาค่าแรงด้านอากาศ (D) และค่าสัมประสิทธิ์แรงด้านอากาศ (C_d) พบว่าโนเดลจำลองแบบหุ้มส้อมีค่าแรงด้านอากาศเท่ากับ $0.054 N$ ค่าสัมประสิทธิ์แรงด้านอากาศเท่ากับ 0.40 ส่วนโนเดลจำลองแบบไม่หุ้มส้อมีค่าแรงด้านอากาศเท่ากับ $0.050 N$ ค่าสัมประสิทธิ์แรงด้านอากาศเท่ากับ 0.58 แสดงให้เห็นว่าโนเดลจำลองแบบหุ้มส้อมีรูปทรงที่ถูกต้องกว่าโนเดลจำลองแบบไม่หุ้มส้อมแม้ว่าจะมีพื้นที่หน้าตัดมากกว่า



Project Title : Structure and aerodynamic analysis of ECO – Car.
Name : Mr.Channarong Kongvaree Student ID 49360389
Mr.Thotsawat Boonya Student ID 49360631
Mr.Athit Sungthong Student ID 49362512
Project Advisors : Dr.Salisa Weeraphan
Project Co-advisor : Dr.Phanu Phootthawong
Department : Mechanical Engineering
Academic Year : 2009

Abstract

This project present structure and aerodynamic analysis of ECO-Car. The structure analysis is performed based on finite element method. The structure of ECO-Car is created and analyzed by Solidworks. The result obtained from Solidworks Simulation show that maximum stress is $1.398 \times 10^8 N/m^2$. Maximum strain is 5.499×10^{-4} . Maximum displacement is $5.085 \times 10^{-3} m$ and minimum factor of safety is 1.87. It has been found yielding failure would not occur to the structure of ECO-Car. Certain modification to the original structure have been made in order to minimize weight and cost. The best arrangement provides that the structure has 7.16 kg, which is 0.92 kg lower than the original structure and cost is 35.49 Baht cheaper.

Aerodynamic analysis, 2 models of ECO-Car are created. There were cover wheel model and uncover wheel model in scale ratio 17:1. Determine frontal area of 2 model. The frontal area of cover wheel model is $0.0018 m^2$ and frontal area of uncover wheel model is $0.0011 m^2$. Then, experiment in the wind tunnel for determine different pressure of stagnation pressure and static pressure. Calculated the velocity of wind at forward and backward of 2 model.

Then used different pressure to calculated drag force and drag coefficient. The cover wheel model has drag force is 0.054 N and drag coefficient is 0.40. The uncover wheel model has drag force is 0.050 N and drag coefficient is 0.58. Result show that the cover wheel model has a shape be blown wind than the uncover wheel model even though it has a frontal area more than the uncover wheel model.



กิตติกรรมประกาศ

โครงการวิเคราะห์โครงสร้างและอากาศพลศาสตร์ของรถประทัดพลังงาน (Structure and Aerodynamic Analysis of ECO-Car) นี้สำเร็จอุล่วงไปได้ด้วยดี คณะกรรมการนี้ ขอขอบพระคุณทุกๆท่านที่ให้ความช่วยเหลือ ให้คำแนะนำและความอนุเคราะห์ในด้านต่างๆในการดำเนินโครงการมาโดยตลอดจนสำเร็จอุล่วงด้วยดี ดังนี้

1. ดร.ศลิษา วีรพันธุ์ อาจารย์ที่ปรึกษาโครงการ ที่ให้คำแนะนำและความช่วยเหลือในด้านการวิเคราะห์โครงสร้างของรถประทัดพลังงาน
2. ดร.ภาณุ พุทธวงศ์ อาจารย์ที่ปรึกษาโครงการร่วม ที่ให้คำแนะนำและความช่วยเหลือในด้านการวิเคราะห์อากาศพลศาสตร์และวิธีการทดลองในอุโมงค์ลม
3. เพื่อนๆนิสิตภาควิชาจักรกรรมเครื่องกลชั้นปีที่ 4 ที่ให้คำปรึกษาและแนะนำในการทำโครงการ

ฉุคท้าบเนื้อกณาจารย์ สำหรับความสำเร็จที่ได้รับ ณ สถาบันฯ ขอแสดงความยินดี ณ ที่นี่ ณ ที่นั่น ณ ที่ใด ก็ตามที่อยู่

นายชาญณรงค์ คงไว

นายพศวรรษ บุญญา

นายอาทิตย์ สังข์ทอง

สารบัญ

เรื่อง	หน้า
ใบรับรองโครงการ	ก
บทคัดย่อ	ข
Abstract	ง
กิตติกรรมประกาศ	ฉ
สารบัญ	ช
สารบัญรูปภาพ	ญ
สารบัญตาราง	ฐาน
ลำดับสัญลักษณ์	ฯ
 บทที่ 1 บทนำ	 1
1.1 ที่มาและความสำคัญของโครงการ	1
1.2 วัตถุประสงค์	2
1.3 ขอบเขต	2
1.4 ประโยชน์ที่คาดว่าจะได้รับ	2
1.5 ระยะเวลาหรือแผนการปฏิบัติงาน	3
1.6 สถานที่ปฏิบัติงาน	3
1.7 งบประมาณที่ใช้	3
 บทที่ 2 หลักการและทฤษฎี	 4
2.1 ความคื้นภายในโครงสร้าง	4
2.2 ทฤษฎีการวิเคราะห์ความเสียหายจากการ塑形	5
2.3 ทฤษฎีพลังงานของการเสียรูป (Distortion Energy-DE)	6

	หน้า
2.4 การใช้โปรแกรมทางระเบียบวิธีไฟในท่ออิมิเนนต์	9
2.5 การโถ่ด้วยหัวคน	11
2.6 การใช้โปรแกรมขีนรูปสามมิติ Solidworks	16
2.7 แรงด้านอากาศ	17
2.8 ความคันสติกซ์ ความคัน Stagnation และความคันพลดำรง	19
2.9 อุโมงค์ลม	21
 บทที่ 3 การวิเคราะห์โครงสร้างรถประหัดพลังงาน	 23
3.1 การเก็บข้อมูลโครงสร้างรถประหัดพลังงานและวิเคราะห์ตัวแปรที่ใช้คำนวณ	24
3.2 การใช้โปรแกรม Solidworks	29
3.3 การวิเคราะห์ความแข็งแรงและการเสียหายของโครงสร้างรถประหัดพลังงาน	37
3.4 การทดลองปรับเปลี่ยนโครงสร้างของรถประหัดพลังงาน	39
3.5 สรุปผลการปรับเปลี่ยนโครงสร้างรถประหัดพลังงาน	49
 บทที่ 4 การวิเคราะห์ด้านอากาศพลดำรง	 52
4.1 การสร้างโนแมลเจลalongตัวถังรถประหัดพลังงานทั้งแบบทึบล้อและไม่ทึบล้อ	53
4.2 การหาพื้นที่หน้าตัดของโนแมลเจลalongทั้งสองแบบ	54
4.3 การทดลองภายในอุโมงค์ลม	55
4.4 การเปรียบเทียบผลการทดลองระหว่างโนแมลเจลalongทั้งสองแบบ	57
4.5 สรุปผลการทดลองภายในอุโมงค์ลม	59
 บทที่ 5 สรุปผลโครงงานและขอเสนอแนะ	 61
5.1 สรุปผลโครงงาน	61

หน้า

5.2 ข้อเสนอแนะ 64

บรรณาธิการ 65

ประวัติผู้จัดทำโครงการ 66



สารบัญรูปภาพ

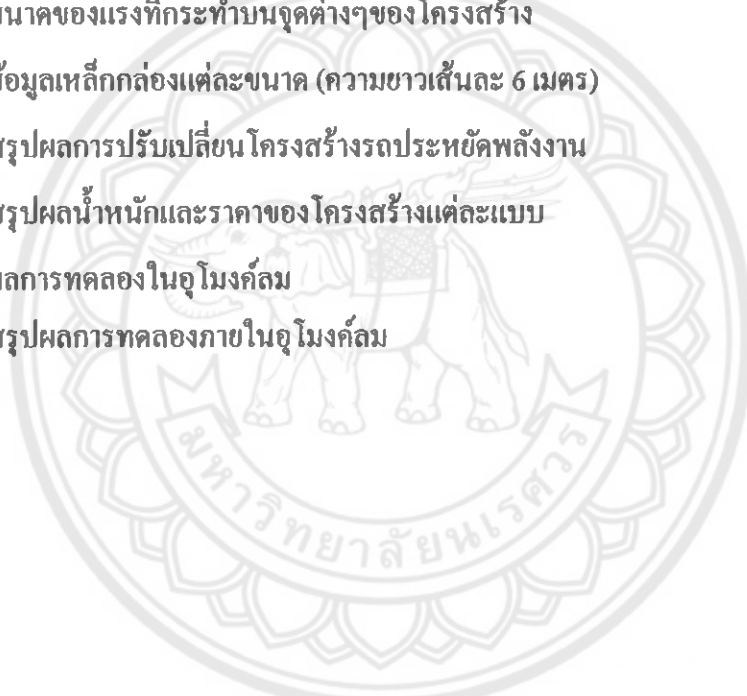
เรื่อง	หน้า
รูปที่ 2.1 กราฟแสดงค่าความเกินที่เป็นความต้านแรงครากของวัสดุ “เหนียว” และวัสดุ “eraser”	5
รูปที่ 2.2 ทรงสี่เหลี่ยมลูกบาศก์เล็ก ๆ ที่อยู่ภายใต้ความเกินในสามมิติ	6
รูปที่ 2.3 แสดงวารีบันชนะ σ_A, σ_B	8
รูปที่ 2.4 ลักษณะอลิเมนต์แบบอย่างสำหรับโครงสร้าง	10
รูปที่ 2.5 การโถ่ตัวของคาน	12
รูปที่ 2.6 ความชันและระยะโถ่ตัวของคาน	15
รูปที่ 2.7 แสดงแรงด้าน, แรงกด และแรงขอกอากาศ	18
รูปที่ 2.8 แสดงแรงดูดอากาศ	19
รูปที่ 2.9 การวัดความคันสติคบ์ (Ps) ความคันพลังงานจลน์ (Pv) และความคันทึ้งหมุด (Pt)	20
รูปที่ 3.1 ขั้นตอนการดำเนินงานในส่วนของโครงสร้างรถประหัตพลังงาน	23
รูปที่ 3.2 การสร้างโมเดลโครงสร้างรถประหัตพลังงาน	25
รูปที่ 3.3 ภาระกระจายที่กระทำต่อชิ้นส่วนโครงสร้าง	26
รูปที่ 3.4 ภาระกระทำแบบยุคเนื่องจากน้ำหนักของเครื่องบนต์	27
รูปที่ 3.5 ภาระทึ้งหมุดที่กระทำต่อโครงสร้างรถประหัตพลังงาน	28
รูปที่ 3.6 การสร้างเหล็กกล่อง	29
รูปที่ 3.7 เลือกโหนด Assembly	30
รูปที่ 3.8 คำสั่ง Insert Components และ Mate	30
รูปที่ 3.9 เหล็กกล่องที่ทำการ Mate กันแล้ว	31
รูปที่ 3.10 โครงสร้างรถประหัตพลังงานที่เสร็จสมบูรณ์	31
รูปที่ 3.11 คำสั่งกำหนดคุณสมบัติของวัสดุ	32
รูปที่ 3.12 ค่าคุณสมบัติต่างๆ ของวัสดุ	32
รูปที่ 3.13 คำสั่ง Fixture	33

	หน้า
รูปที่ 3.14 การเลือกคำแนะนำที่มีแรงด้านของเพลาล้อทั้ง 4 ชุด	33
รูปที่ 3.15 แรงเนื้องจากภาระน้ำหนักห้องหมอดีกระทำต่อลักษณะ	34
รูปที่ 3.16 การกำหนดแรงที่กระทำต่อโครงสร้าง	34
รูปที่ 3.17 โครงสร้างที่ทำการ Mesh แล้ว	35
รูปที่ 3.18 ขั้นตอนระหว่างการ Mesh and Run	35
รูปที่ 3.19 การแสดงผลที่ได้จากการวิเคราะห์	36
รูปที่ 3.20 การเลือกรูปแบบที่ใช้ในการแสดงผล	36
รูปที่ 3.21 ผลการวิเคราะห์ค่าความเห็น (Von Mises Stress) ของโครงสร้างแบบที่ 1	37
รูปที่ 3.22 ผลการวิเคราะห์การกระจัด (Displacement) ของโครงสร้างแบบที่ 1	38
รูปที่ 3.23 ผลการวิเคราะห์ความเครียด (Strain) ภายในโครงสร้างแบบที่ 1	38
รูปที่ 3.24 ค่าความปลอดภัย (Factor of Safety) ภายในโครงสร้างแบบที่ 1	39
รูปที่ 3.25 โครงสร้างแบบที่ 2 ที่ได้จากการปรับเปลี่ยนโครงสร้างคันดันแบบ (แบบที่ 1)	41
รูปที่ 3.26 ผลการวิเคราะห์แสดงค่าความเห็น (Von Mises Stress) ของโครงสร้างแบบที่ 2	41
รูปที่ 3.27 ผลการวิเคราะห์แสดงค่าการกระจัด (Displacement) ของโครงสร้างแบบที่ 2	42
รูปที่ 3.28 ผลการวิเคราะห์แสดงค่าความเครียด (Strain) ของโครงสร้างแบบที่ 2	42
รูปที่ 3.29 ผลการวิเคราะห์แสดงค่าความปลอดภัย (Factor of Safety) ของโครงสร้างแบบที่ 2	43
รูปที่ 3.30 โครงสร้างแบบที่ 3 ที่ได้จากการปรับเปลี่ยนโครงสร้างคันดันแบบ (แบบที่ 1)	44
รูปที่ 3.31 ผลการวิเคราะห์แสดงค่าความเห็น (Von Mises Stress) ของโครงสร้างแบบที่ 3	44
รูปที่ 3.32 ผลการวิเคราะห์แสดงค่าการกระจัด (Displacement) ของโครงสร้างแบบที่ 3	45
รูปที่ 3.33 ผลการวิเคราะห์แสดงค่าความเครียด (Strain) ของโครงสร้างแบบที่ 3	45
รูปที่ 3.34 ผลการวิเคราะห์แสดงค่าความปลอดภัย (Factor of Safety) ของโครงสร้างแบบที่ 3	46
รูปที่ 3.35 โครงสร้างแบบที่ 4 ที่ได้จากการปรับเปลี่ยนโครงสร้างคันดันแบบ (แบบที่ 1)	47
รูปที่ 3.36 ผลการวิเคราะห์แสดงค่าความเห็น (Von Mises Stress) ของโครงสร้างแบบที่ 4	47
รูปที่ 3.37 ผลการวิเคราะห์แสดงค่าการกระจัด (Displacement) ของโครงสร้างแบบที่ 4	48

	หน้า
รูปที่ 3.38 ผลการวิเคราะห์แสดงค่าความเครียด (Strain) ของโครงสร้างแบบที่ 4	48
รูปที่ 3.39 ผลการวิเคราะห์แสดงค่าความปลอดภัย (Factor of Safety) ของโครงสร้างแบบที่ 4	49
รูปที่ 3.40 สรุปผลของโครงสร้างทั้ง 4 แบบ	50
รูปที่ 3.41 ขนาดของเหล็กกล่องที่ใช้ทำโครงสร้างแบบที่ 1 (กันต้นแบบ)	51
รูปที่ 3.42 ขนาดของเหล็กกล่องที่ใช้ทำโครงสร้างแบบที่ 4	51
รูปที่ 4.1 ขั้นตอนการดำเนินงานในส่วนของตัวถังรถประทัดพลังงาน	52
รูปที่ 4.2 แบบจำลองรถประทัดพลังงานที่ทำจากดินน้ำมันทั้ง 2 แบบ	53
รูปที่ 4.3 ไม้เคลื่อนย้ายรถประทัดพลังงานทั้งสองแบบที่เสร็จสมบูรณ์	54
รูปที่ 4.4 พื้นที่หน้าตัดของไม้เคลื่อนย้ายทั้งสองแบบ	54
รูปที่ 4.5 ตารางสีเหลี่ยมจัตุรัสขนาด $0.05 \times 0.05 \text{ m}$ ที่แบ่งเป็นช่องสีเหลี่ยมจัตุรัสขนาด $0.005 \times 0.005 \text{ m}$ จำนวน 100 ช่อง	55
รูปที่ 4.6 ชุดอุโมงค์ลมที่ใช้ทำการทดลอง	56
รูปที่ 4.7 การทดลองภายในอุโมงค์ลม	56
รูปที่ 4.8 เกษที่ใช้อ่านค่าความดัน	57
รูปที่ 5.1 สรุปผลโครงสร้างรถประทัดพลังงานทั้ง 4 แบบ	62

สารบัญตาราง

	หน้า
ตารางที่ 1.1 ระยะเวลาและแผนการปฏิบัติงาน	3
ตารางที่ 3.1 ตารางบันทึกข้อมูลโครงการสร้างรถประยุคพลังงาน	24
ตารางที่ 3.2 ขนาดของภาระที่กระทำกับโครงการสร้าง	26
ตารางที่ 3.3 ขนาดของแรงที่กระทำบนนวัตกรรมต่างๆของโครงการสร้าง	28
ตารางที่ 3.4 ข้อมูลเหล็กกล่องเต้ลล์ขนาด (ความยาวเส้นละ 6 เมตร)	40
ตารางที่ 3.5 สรุปผลการปรับเปลี่ยนโครงการรถประยุคพลังงาน	49
ตารางที่ 3.6 สรุปผลน้ำหนักและราคาของโครงการแต่ละแบบ	50
ตารางที่ 4.1 ผลการทดลองในอุโมงค์ลม	57
ตารางที่ 4.2 สรุปผลการทดลองภายในอุโมงค์ลม	59



ลำดับสัญลักษณ์

สัญลักษณ์	ความหมาย	หน่วย
F	แรงภายนอก	N
A	พื้นที่หน้าตัด	m^2
σ	ความเก็บ	$N/m^2, Pa$
σ_c	ความเก็บอัด	$N/m^2, Pa$
σ_t	ความเก็บคง	$N/m^2, Pa$
σ_{\max}	ความเก็บสูงสุด	$N/m^2, Pa$
σ_{\min}	ความเก็บต่ำสุด	$N/m^2, Pa$
σ_y	ความเก็บคราก	$N/m^2, Pa$
τ	ความเก็บเฉือน	$N/m^2, Pa$
δ_{\max}	ระยะกระจัคสูงสุด	m
δ_{\min}	ระยะกระจัคต่ำสุด	m
ε_{\max}	ความเครียดสูงสุด	-
ε_{\min}	ความเครียดต่ำสุด	-
n	ค่าความปิดอุดกับ	-
P	แรงดึง	N
L	ความยาว	m
C_d	สัมประสิทธิ์แรงด้านอากาศ	-
C_l	สัมประสิทธิ์แรงยก	-
D	แรงด้านอากาศที่กระทำกับตัวรถ	N
ρ	ความหนาแน่นของอากาศ	kg/m^3
U	ความเร็วของอากาศ	m/s
V	ความเร็ว	m/s
h	ความคันต่าง	mmH_2O
P_0	ความดัน stagnation	Pa
P	ความดันชนิดที่	Pa

บทที่ 1

บทนำ

1.1 ที่มาและความสำคัญของโครงการ

พัฒนา เป็นปัจจัยที่ทำให้โลกปัจจุบันขับเคลื่อนไปข้างหน้า มนุษย์ก้าวผ่านแหล่งพลังงานมาเนินนานแล้ว เช่น พัฒนาเชื้อเพลิง ซึ่งแปรรูปมาจากพัฒนาการธรรมชาติที่สะสมมานานนับศตวรรษหรือปีโครงการ (น้ำมันดิน) และเราได้ใช้พัฒนาดังกล่าวมาผลักดันโลกให้พัฒนาไปข้างหน้าในทุกด้าน ผลกระทบต่อวันหนึ่งที่ทุกคนเริ่มทราบมากกว่า พัฒนาที่แปรรูปจากธรรมชาติ(น้ำมันดิน) กำลังจะหมดไป มนุษย์จำเป็นต้องหานทางอื่นๆในการสร้างพัฒนาทดแทนและพัฒนาเชื้อเพลิงเป็นสิ่งมีค่าและนับวันจะหมดไปการประดิษฐ์ขานยนต์ที่สามารถประยุกต์เชื้อเพลิงได้มากขึ้นเท่าไหร่จะยิ่งสามารถลดผลกระทบไปของพัฒนาโลกได้มากขึ้นเท่านั้น รวมทั้งขั้นตอนความลึกภาวะที่เกิดจากการเผาไหม้ของเชื้อเพลิงได้ออกทางหนึ่ง การสร้างรถประยุกต์น้ำมัน จึงเกิดขึ้นเพื่อส่งเสริมการคิดค้นเทคโนโลยีใหม่ๆ โดยมีจุดประสงค์คือการพัฒนาขานยนต์ให้มีอัตราการใช้พัฒนาอย่างสูง

ปัจจุบันได้มีโครงการให้นักเรียนนักศึกษาหรือผู้ที่สนใจศึกษาประยุกต์พัฒนาโดยให้คิดและออกแบบสร้างรถประยุกต์พัฒนาเพื่อเข้าร่วมการแข่งขันในรายการต่างๆ เช่น ในประเทศไทยคือ Honda Econo, World Eco Car Grand Prix in Thailand และในต่างประเทศคือ Shell Eco-marathon ซึ่งในการแข่งขันรายการนี้ รถที่ใช้พัฒนาได้น้อยที่สุดในโลกนั้นได้ทำการทดสอบการใช้เชื้อเพลิงคือใช้โทรศัพท์ 12,665 mpg (หรือ 5,385 กิโลเมตรต่อลิตรเมื่อนำมาเปรียบเทียบกับน้ำเบนซินค่าออกเทน 95) และน้ำหนักเพียง 66 กิโลกรัม รองรับผู้ขับขี่ได้ 1 คนนั้น วิ่งที่ความเร็ว 30 กิโลเมตรต่อชั่วโมง (หรือ 18 ไมล์ต่อชั่วโมง) และใช้เชื้อเพลิงโทรศัพท์เพียง 1.02 กิโลกรัมเท่านั้น โดยสถานที่แข่งขันนี้สภาพสนามเป็นแบบทางเรียบ

โดยภารกิจการแข่งขันรถ Eco car ในรายการต่างๆนั้นค้องอยู่ภายใต้เงื่อนไขที่กำหนดว่ารถประยุกต์พัฒนาที่เข้าร่วมแข่งขันต้องเกลื่อนที่ด้วยความเร็วและระยะทางที่คณะกรรมการการในแข่งขันได้กำหนดไว้ จากนั้นจึงมาหาค่าอัตราการลีนแบล็อกพัฒนาต่อ กิโลเมตร ซึ่งรถประยุกต์พัฒนาคันใดมีค่าอัตราการลีนแบล็อกของพัฒนาอยู่ที่สูงก็จะเป็นผู้ชนะในการแข่งขัน และปัญหาคือการที่จะทำให้รถประยุกต์พัฒนานั้นใช้พัฒนาให้ได้น้อยที่สุดจะต้องมีปัจจัยที่เกี่ยวข้องกับรถประยุกต์พัฒนาบ้าง

จากการศึกษาวิเคราะห์ปัจจัยที่มีผลต่อการประยุกต์เชื้อเพลิงพบว่า ปัจจัยที่มีผลทำให้รถประยุกต์พัฒนาสามารถประยุกต์พัฒนาได้สูงสุดมี 3 ส่วน คือ

1. เครื่องยนต์

2. น้ำหนักของรถ

3. หลักการค้านอากาศพลศาสตร์

ซึ่งปัจจัยทั้งสามประการที่กล่าวไว้แล้วนั้นจะทำการวิเคราะห์เพียง 2 ปัจจัย ก็คือ ค้านน้ำหนักและหลักการค้านอากาศพลศาสตร์ของรถประยุคพลังงาน ซึ่งในส่วนของค้านน้ำหนักของรถ จะทำการวิเคราะห์โครงสร้างของรถโดยโครงรถจะต้องรับภาระในหลายๆ จุด จึงต้องออกแบบโครงสร้างรถให้สามารถรับภาระต่างๆ ให้ได้มากที่สุดและมีน้ำหนักเบาที่สุด และต้องเลือกวัสดุใช้วัสดุชนิดใดเพื่อให้โครงรถนั้นสามารถกระจายภาระต่างๆ ได้สม่ำเสมอทั่วทั้งโครงรถ โดยจะส่งผล ทำให้โครงสร้างรถมีความเก็บกระดาษได้อย่างสม่ำเสมอ ในส่วนของค้านอากาศพลศาสตร์ นั้นชื่นส่วนที่มีความเกี่ยวข้องกับค้านนี้โดยตรง ก็คือ บอดี้จากการที่ได้ศึกษาและวิเคราะห์พบว่ารถประยุคพลังงานส่วนใหญ่จะมีตัวถังอยู่ 2 รูปแบบคือ 1. ตัวถังแบบหุ้มล้อ 2. ตัวถังแบบไม่หุ้มล้อ โดยจะวิเคราะห์และเปรียบเทียบตัวถังทั้งสองรูปแบบนั้นรูปแบบใดที่มีค่าสัมประสิทธิ์แรงค้านอากาศน้อยกว่าเพื่อเป็นแนวทางในการพัฒนาและสร้างรถประยุคพลังงานที่ใช้ได้จริงในอนาคต

1.2 วัตถุประสงค์

1.2.1 ศึกษาและวิเคราะห์ภาระที่กระทำต่อโครงสร้างรถและการกระจายตัวของความเก็บภายในโครงสร้างรถประยุคพลังงาน

1.2.2 ศึกษาและวิเคราะห์หลักการทำงานของอากาศพลศาสตร์ของรถประยุคพลังงาน

1.2.3 เพื่อให้ผลการวิเคราะห์เป็นข้อมูลและแนวทางแก้ผู้ที่สนใจค้นคว้าและสร้างรถประยุคพลังงานได้

1.3 ขอบเขต

1.3.1 วิเคราะห์เรื่องการกระจายตัวของความเก็บภายในโครงสร้างรถประยุคพลังงานด้วยระเบียบวิธีทางไฟฟ้าที่อิเล็กทรอนิกส์และเปรียบเทียบผลการคำนวณทางกลศาสตร์

1.3.2 วิเคราะห์เรื่องของอากาศพลศาสตร์ของรถประยุคพลังงานและเปรียบเทียบผลการทดลองภายในอุโมงค์ลม

1.4 ประโยชน์ที่คาดว่าจะได้รับ

1.4.1 ได้ข้อมูลจากการวิเคราะห์ภาระที่กระทำต่อโครงสร้างรถและการกระจายตัวของความเก็บภายในโครงสร้างรถประยุคพลังงาน

1.4.2 ได้ข้อมูลจากการวิเคราะห์ทางหลักการค้านอากาศพลศาสตร์ของรถประยุคพลังงาน

1.4.3 ได้ผลการวิเคราะห์ของรถประทับด้วยพัสดุเดินทางเพื่อเป็นข้อมูลและแนวทางแก้ไขที่สูงในค่านรถประทับด้วยพัสดุเดินทาง

1.5 ระยะเวลาหรือแผนการปฏิบัติงาน

ตารางที่ 1.1 ระยะเวลาและแผนการปฏิบัติงาน

ขั้นตอนการดำเนินงาน	2552						2553				
	ก.ค.	ส.ค.	ก.ย.	ต.ค.	พ.ย.	ธ.ค.	ม.ค.	ก.พ.	มี.ค.	เม.ย.	พ.ค.
1.ศึกษาค้นคว้าหาข้อมูล											
2.เขียนแบบโครงการสร้างรถ											
3.สร้างไม้เดลทำลอง											
4.วิเคราะห์โครงสร้างรถ											
5.ทดลองภายในอุโมงค์ลม											
6.สรุปและรวมรวมข้อมูล											
7.จัดทำรูปเล่นรายงาน											

1.6 สถานที่ปฏิบัติงาน

อาคารปฏิบัติการวิศวกรรมเครื่องกล คณะวิศวกรรมศาสตร์

1.7 งบประมาณที่ใช้

1.7.1 ค่าดินน้ำมันและปูนปลาสเตอร์	100 บาท
1.7.2 ค่าถ่ายเอกสาร	300 บาท
1.7.3 ค่าพิมพ์และจัดทำรูปเล่นรายงาน	2,600 บาท
รวม	3,000 บาท

บทที่ 2

หลักการและทฤษฎี

2.1 ความดันภายในโครงสร้าง

ความดัน(Stress) คือ แรงภายนอกที่กระทำผ่านจุดศูนย์ถ่วงของพื้นที่หน้าตัดของวัสดุหรืออัตราส่วนระหว่างแรงภายนอก/หน้างานพื้นที่ เป็นสมการได้ดังนี้

$$\text{Stress} = F / A \quad \text{หน่วย } N/m^2 \quad (2.1)$$

เมื่อ F = แรงภายนอก หน่วย นิวตัน (N)

A = พื้นที่หน้าตัดของท่อในวัสดุนั้น หน่วย เมตร (m)

ความดัน (Stress) แบ่งได้เป็น 3 แบบ คือ

2.1.1 ความดันดึง (tensile stress) หรือ σ , เป็นความดันที่เกิดขึ้นเมื่อวัสดุนั้นได้รับแรงดึงในแนวตั้งจากกับพื้นที่หน้าตัดที่แรงนั้นกระทำ เป็นสมการ คือ

$$\sigma_t = F / A \quad (2.2)$$

เมื่อ σ_t = ความดันดึง หน่วย N/m^2

2.1.2 ความดันอัด (compressive stress) หรือ σ_c เป็นความดันที่เกิดขึ้นเมื่อวัสดุนั้นได้รับแรงในแนวตั้งจากกับพื้นที่หน้าตัดที่แรงนั้นกระทำ เป็นสมการ คือ

$$\sigma_c = F / A \quad (2.3)$$

เมื่อ σ_c = ความดันอัด หน่วย N/m^2

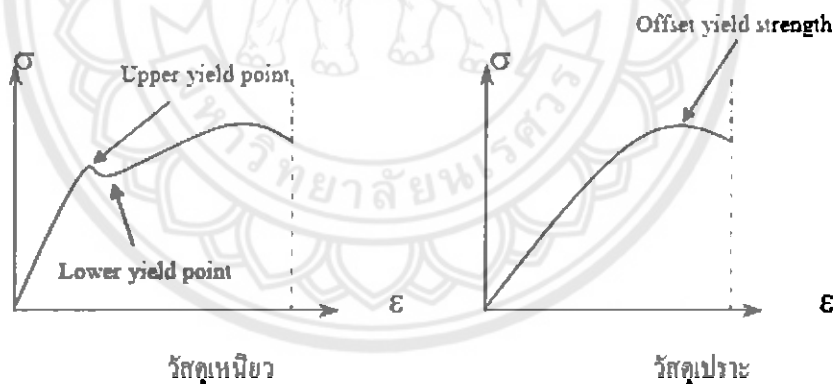
2.1.3 ความดันเฉือน (shear stress) หรือ τ เป็นความดันที่เกิดจากแรงภายนอกที่มากระทำก่อให้เกิด σ ขึ้นเมื่อวัสดุนั้นได้รับแรงเฉือนที่กระทำในแนวขนานกับพื้นที่หน้าตัดที่แรงนั้นกระทำเป็นสมการ คือ

$$\tau = F / A \quad (2.4)$$

เมื่อ τ = ความดันดึง หน่วย N/m^2

2.2 ทฤษฎีการวิเคราะห์ความเสียหายจากการแสดงผล

ในการวิเคราะห์ความเสียหายจากการแสดงผล เมื่อชิ้นงานได้รับแรงมากจนเกิดการครากขึ้น มีร่องรอยแตกหัก และเกิดการโกร่งมากกว่าปกติจนเสียรูป จะเกิดการล้างน้ำหักพังในที่สุด ดังนั้นเพื่อป้องกันไม่ให้เกิดความเสียหายขึ้น ในการออกแบบจะต้องกำหนดค่าตัวแปรที่ใช้ออกแบบ เช่น แรง ความเดิน การยืด ตัว และอื่น ๆ ให้มีค่าต่ำกว่าค่าสูงสุดที่ได้จากการคำนวณ โดยอัตราส่วนของค่าสูงสุดที่ชิ้นงานสามารถรองรับได้ ต่อค่าในการออกแบบนี้ เรียกว่า แฟกเตอร์ในการออกแบบหรือค่าความปลอดภัย ทฤษฎีใช้เกี่ยวกับการรับภาระแบบแสดงผล หรือแรงคู่ควรซึ่งกระทำต่อชิ้นงาน โดยมีค่าคงที่ ดังนั้น การออกแบบจึงจำเป็นต้องวิเคราะห์ค่าความเดินเฉลี่ย เพื่อท่านายการเกิดค่าความเสียหาย ณ ตำแหน่งวิกฤต เพื่อที่จะป้องกันไม่ให้เกิดความเสียหายวัสดุที่ถูกแรงกระทำแล้วเกิดความเครียดที่มีค่านานา ๆ ก่อนเกิดการแตกหัก เรียกว่า “วัสดุเหนียว” จะมีค่า $\epsilon_f \geq 0.05$ และมีค่าความต้านแรงครากอย่างชัดเจน ซึ่งมีค่าเดียวกันสำหรับการดึงและการอัด คือ ($S_u = S_{yc} = S_y$) วัสดุที่มีจุดครากต่ำมาก หรือไม่มีจุดครากก่อนเกิดการแตกหัก และ $\epsilon_f \geq 0.05$ จะเรียกว่า “วัสดุเปราะ” ซึ่งสามารถแสดงกราฟค่าความเดินที่เป็นความต้านแรงครากของวัสดุ “เปราะ” และวัสดุ “เหนียว” ได้ดังรูป



รูปที่ 2.1 กราฟแสดงค่าความเดินที่เป็นความต้านแรงครากของวัสดุ “เหนียว” และวัสดุ “เปราะ”

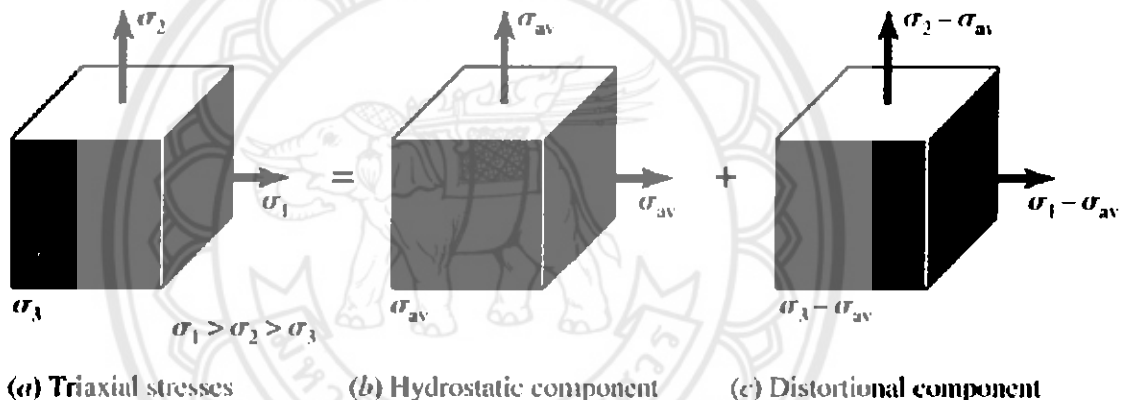
อัตราส่วนของค่าสูงสุดที่ชิ้นงานสามารถรองรับได้ต่อค่าที่ใช้ในการออกแบบ หรือค่าความปลอดภัย(n) สำหรับการออกแบบที่ใช้ความเดินเป็นหลัก

$$\text{ค่าความปลอดภัย } n = \frac{\sigma_f}{\sigma_{\max}} \quad (2.5)$$

2.3 ทฤษฎีพลังงานของการเสียรูป (Distortion Energy-DE)

ทฤษฎีพลังงานของการเปลี่ยนรูป นี้เกิดจากการสังเกตพลังงานที่เกิดจากการเปลี่ยนรูปของวัสดุ เห็นว่า โดยทฤษฎีนี้กล่าวว่า “วัสดุจะเริ่มแตก” เมื่อพลังงานของการเปลี่ยนรูปต่อหน่วยปริมาตรของชิ้นงานที่อยู่ภายใต้ความดันรวม มีค่ามากกว่าหรือเท่ากับพลังงานของการเปลี่ยนรูปเนื่องจากการแตกที่เกิดขึ้นในการทดสอบด้วยการดึงอย่างง่าย

ในการพัฒนาสมการสำหรับทฤษฎีนี้ ให้พิจารณาพลังงานของการเปลี่ยนรูปในชิ้นส่วนรูปทรงสี่เหลี่ยมนูกนาศก์เล็ก ๆ ที่อยู่ภายใต้ความดันในสามมิติ σ_1, σ_2 และ σ_3 ดังรูป



รูปที่ 2.2 ทรงสี่เหลี่ยมนูกนาศก์เล็ก ๆ ที่อยู่ภายใต้ความดันในสามมิติ

โดย

$$\sigma_{av} = \frac{\sigma_1 + \sigma_2 + \sigma_3}{3} \quad (2.6)$$

ดังนั้นชิ้นส่วนในรูป (b) จะมีปริมาตรเปลี่ยนแปลงไปโดยไม่มีการบิดเบือนรูปร่างเชิงมุม ถ้าถือว่า σ_{av} เป็นองค์ประกอบของ σ_1, σ_2 และ σ_3 องค์ประกอบนี้สามารถนำไปลบออกได้ ซึ่งจะได้ผลลัพธ์ดังรูป (c) เมื่องค์ประกอบที่อยู่ภายใต้การบิดเบือนรูปร่างเชิงมุมโดยที่ปริมาตรไม่มีการเปลี่ยนแปลงพลังงานความเครียดต่อหนึ่งหน่วยปริมาตรภายใต้ความดันใน 3 มิติคือ

$$u = \frac{1}{2}(\varepsilon_1\sigma_1 + \varepsilon_2\sigma_2 + \varepsilon_3\sigma_3)$$

$$= \frac{1}{2E} [\sigma_1^2 + \sigma_2^2 + \sigma_3^2 - 2v(\sigma_1\sigma_2 + \sigma_2\sigma_3 + \sigma_3\sigma_1)] \quad (2.7)$$

พลังงานความเครียดที่ทำให้เกิดการเปลี่ยนแปลงเฉพาะปริมาตร u , จึงหาได้โดยแทนค่า σ_{av} สำหรับ σ_1, σ_2 และ σ_3 ในสมการ (2.7) จะได้

$$u_v = \frac{3\sigma_{av}^2}{2E} (1 - 2v) \quad (2.8)$$

ถ้าแทนค่าสมการ (2.7) ยกกำลังสอง ลงในสมการ (2.8) และจัดให้อูปในรูปแบบข้างล่างนี้จะได้

$$u_v = \frac{1-2v}{6E} [\sigma_1^2 + \sigma_2^2 + \sigma_3^2 + 2\sigma_1\sigma_2 + 2\sigma_2\sigma_3 + 2\sigma_3\sigma_1] \quad (2.9)$$

ดังนั้น จะสามารถหาพลังงานของการเปลี่ยนรูปได้จากการนำสมการที่ (2.9) ไปลบออกจากสมการ (2.10) จะได้

$$u_d = u = u_v = \frac{1-v}{3E} \left[\frac{(\sigma_1 - \sigma_2)^2 + (\sigma_2 - \sigma_3)^2 + (\sigma_3 - \sigma_1)^2}{2} \right] \quad (2.10)$$

ให้สังเกตว่าพลังงานของการเปลี่ยนรูปจะมีค่าเท่ากันศูนย์เมื่อ $\sigma_1 = \sigma_2 = \sigma_3$ สำหรับการทดสอบแรงดึงอย่างง่าย ที่จุดคราก $\sigma_1 = S_y$ และ $\sigma_2 = \sigma_3 = 0$ ดังนั้น พลังงานของการเปลี่ยนรูปจะมีค่าเท่ากัน

$$u_d = \frac{1-v}{3E} S_y^2 \quad (2.11)$$

ดังนั้นสำหรับสภาพความเค้นในสมการที่ (2.10) จะทำให้สามารถทำงานของจุดครากของชิ้นงานได้ถ้าสมการ (2.10) มีค่านอกกว่าหรือเท่ากับสมการที่ (2.11) ซึ่งจะได้

$$\left[\frac{(\sigma_1 - \sigma_2)^2 + (\sigma_2 - \sigma_3)^2 + (\sigma_3 - \sigma_1)^2}{2} \right]^{1/2} \geq S_y \quad (2.12)$$

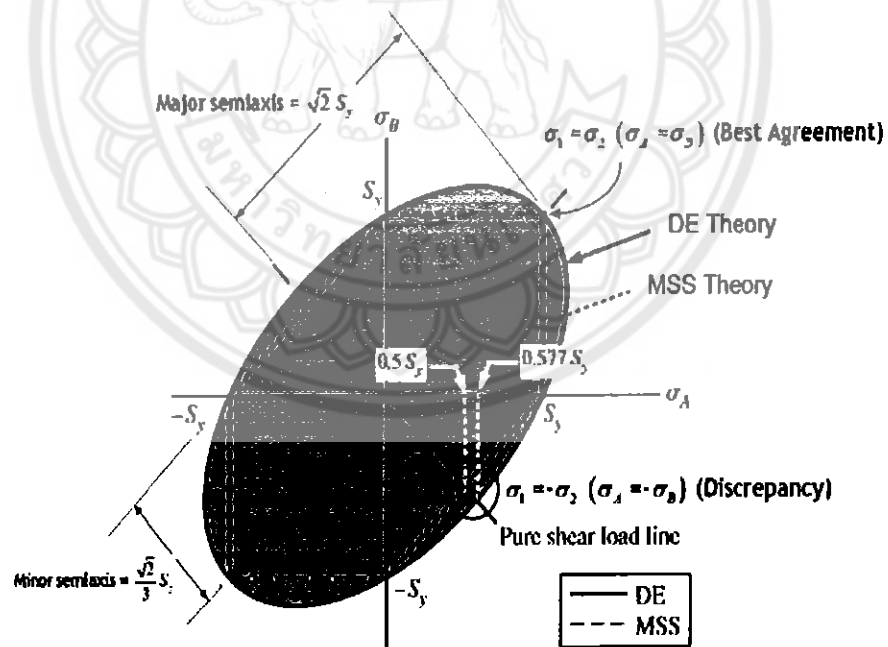
ในการทดสอบแรงดึงอข้างจ่าย จะเกิดความเด่น σ การครากของชิ้นงานจะเกิดขึ้นเมื่อ $\sigma \geq S_y$ ดังนั้น เทอมทางซ้ายมือของสมการที่ (2.12) จะเป็นค่าความเด่นที่มีผลต่อพลังงานของการเปลี่ยนรูป (Effective Stress) ซึ่งนิยมเรียกว่า "Von Miss Stress" ตามชื่อของผู้คิดค้นทฤษฎีนี้ โดยใช้สัญลักษณ์ σ' ดังนั้นจึงสามารถเขียนสมการที่ (2.12) ได้เป็น $\sigma' \geq S_y$

$$\text{เมื่อ } \sigma' = \left[\frac{(\sigma_1 - \sigma_2)^2 + (\sigma_2 - \sigma_3)^2 + (\sigma_3 - \sigma_1)^2}{2} \right]^{1/2} \quad (2.13)$$

สำหรับความเด่นในระบบกำหนดให้ σ_A และ σ_B เป็นความเด่นหลักซึ่งมีค่าไม่เท่ากับศูนย์ ดังนั้น

$$\sigma' = (\sigma_A^2 - \sigma_A \sigma_B + \sigma_B^2)^{1/2} \quad (2.14)$$

สมการที่ (2.14) เป็นสมการของวงรีบนระนาบ $\sigma_A \sigma_B$ ดังแสดงตามรูป โดย $\sigma' = S_y$ เส้นประในรูปคือทฤษฎีความเด่นเนื่องสูงสุด (MSS) ซึ่งจะเห็นได้ว่านี้มีข้อจำกัดมากกว่า



รูปที่ 2.3 แสดงวงรีบนระนาบ $\sigma_A \sigma_B$

การใช้องค์ประกอบของความเก็บในสามมิติ x y z จะสามารถเขียน Von mises stress ได้ดังนี้

$$\sigma' = \frac{1}{\sqrt{2}} \left[(\sigma_x - \sigma_y)^2 + (\sigma_y - \sigma_z)^2 + (\sigma_z - \sigma_x)^2 + 6(\tau_{xy}^2 + \tau_{yz}^2 + \tau_{zx}^2) \right]^{1/2} \quad (2.15)$$

ดังนั้น สำหรับความเก็บในระบบ $\sigma_z = 0$

$$\sigma' = (\sigma_x^2 - \sigma_x \sigma_y + \sigma_y^2 + 3\tau_{xy}^2)^{1/2} \quad (2.16)$$

2.4 การใช้โปรแกรมทางระเบี่ยบวิธีไฟฟ้าในท่ออเลิเมนต์

ขั้นตอนการใช้งานระเบี่ยบวิธีไฟฟ้าในท่ออเลิเมนต์ มี 3 ขั้นตอนคือ

2.4.1 Pre – processing กือขั้นตอนการเตรียมไม้เดลที่จะทำการวิเคราะห์

-Geometry modeling เป็นการขึ้นรูปชิ้นงานที่ต้องการทำวิเคราะห์

-Material property เป็นการกำหนดคุณภาพและคุณสมบัติของวัสดุ ค่าที่ต้องใส่เสมอคือค่า

Young's modulus และค่า Poisson's ratio

-Element property เป็นการกำหนดคุณภาพและคุณสมบัติของอเลิเมนต์ว่าจะให้มีลักษณะเป็นแบบใด เช่น แบบเส้น แบบท่อ แบบแท่ง เป็นต้น

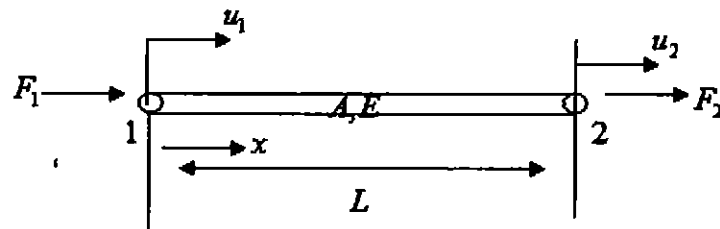
-Load เป็นการกำหนดแรงต่างๆที่มากระทำต่ออเลิเมนต์

-Boundary condition เป็นการกำหนดเงื่อนไขของ

เมื่อเสร็จขั้นตอน Pre – processing ก็ทำการส่งไปเดลแบบจำลองที่ต้องการทำวิเคราะห์ไปยังโปรแกรมอื่นๆ

2.4.2 Processing กือขั้นตอนการวิเคราะห์ไม้เดลแบบจำลอง

การสร้างสมการไฟฟ้าในตัวอเลิเมนต์จากวิธีการโคลาบรอนเริ่มต้นจากสมการความสัมพันธ์ของความเก็บ (Stress) และความเครียด (Strain) ที่เรียกว่ากฎของฮooke (Hooke's law) นั้นคือ



รูปที่ 2.4 ลักษณะอเลิมเนต์แบบอข่ายสำหรับโครงสร้าง

โดยแทนค่า σ ของความเค้นและ ϵ แทนค่าของความเครียดจากrup เราจับยึดที่จุดค่อ 1 และดึงที่จุดค่อ 2 ด้วยแรง F_2 สมการ $\sigma = E\epsilon$ จะเป็นได้ในรูปแบบดังนี้

$$\begin{aligned} \frac{F_2}{A} &= E \left(\frac{u_2 - u_1}{L} \right) \\ F_2 &= \frac{AE}{L} (u_2 - u_1) \\ -\frac{AE}{L} (u_1 - u_2) &= F_2 \end{aligned} \tag{2.17}$$

แต่ภายใต้ความสมดุล $\sum F_x = 0$

$$\begin{aligned} F_1 + F_2 &= 0 \\ F_1 &= -F_2 \\ F_1 &= \frac{AE}{L} (u_1 - u_2) \end{aligned} \tag{2.18}$$

สามารถนำมาระบบได้ดังนี้

$$\frac{AE}{L} (u_1 - u_2) = F_1 \tag{2.19}$$

$$-\frac{AE}{L} (u_1 - u_2) = F_2 \tag{2.20}$$

ซึ่งเป็นให้อยู่ในรูปของเมตริกได้

$$\begin{bmatrix} \frac{AE}{L} & -\frac{AE}{L} \\ -\frac{AE}{L} & \frac{AE}{L} \end{bmatrix} \begin{Bmatrix} u_1 \\ u_2 \end{Bmatrix} = \begin{Bmatrix} F_1 \\ F_2 \end{Bmatrix}$$

$$\frac{AE}{L} \begin{bmatrix} 1 & -1 \\ -1 & 1 \end{bmatrix} \begin{Bmatrix} u_1 \\ u_2 \end{Bmatrix} = \begin{Bmatrix} F_1 \\ F_2 \end{Bmatrix}$$

หรือเขียนอีกได้เป็น

$$[K] \{u\} = \{F\} \quad (2.21)$$

ในที่นี่

$\{K\}$ เรียกว่า เอกลิเมนต์เมทริกซ์ของความแข็งเกร็ง (Element stiffness matrix)

$\{u\}$ เรียกว่า เมตริกซ์ของการเคลื่อนด้วนที่จุดต่อ (Vector of nodal displacements)

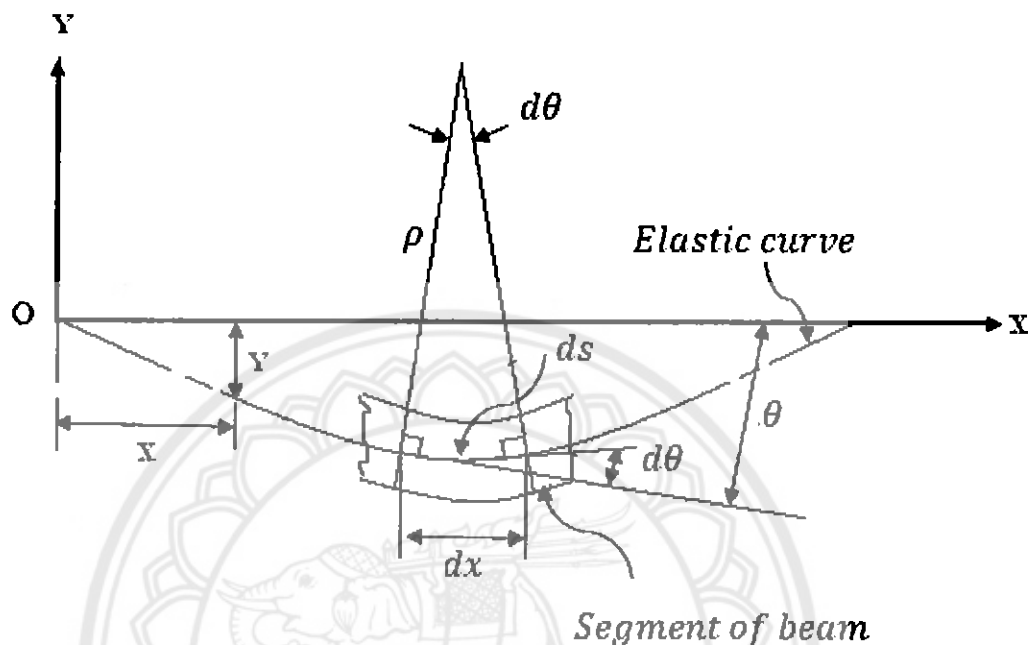
$\{F\}$ เรียกว่า เมตริกซ์ของแรงกระทำที่จุดต่อ (Vector of nodal forces)

2.4.3 Post – processing ก็อปปี้ข้อมูลที่แสดงผลการวิเคราะห์ ข้อมูลนี้ผู้ใช้งานจะต้องกำหนดและเลือกแสดงผลค่าที่ต้องการนำเสนอ

2.5 การโถงตัวของ杆

การโถงตัวของ杆 เป็นแฟกเตอร์ตัวหนึ่งที่นำมาพิจารณาถึงปัจจัยด้านของภาระที่กระทำต่อ杆 คั้นน์ในการออกแบบ杆 จะต้องคำนึงถึงระบบการโถงตัวของ杆 ด้วย ระบบการโถงตัวของ杆 (Beam deflection) สามารถหาได้โดยวิธีต่างๆ ดังนี้

2.5.1 วิธีอินทิเกรตสองชั้น(Double –Integration Method)



รูปที่ 2.5 การ ໂຄງ ຕັວ ຂອນ

จากรูปที่ 2.5 พิจารณาพิวะสะเทิน (Neutral surface) เป็นเส้นในแนวยาวตามลักษณะของคานที่ໂຄງ ຕັວ เราเรียกข้อมูลนี้ว่า เส้นอีลาสติกของคาน (Elastic line) หรือเส้น ໄກ້ຂຶ້ນຫຍຸ່ນ (Elastic curve) พิจารณาเส้น ໄກ້ຂຶ້ນຫຍຸ່ນ ในช่วง dx โดยกำหนดให้พิกัด x วัดจากปลายด้านซ้ายเป็นຈຸດກຳນົດແລະ พิกัด y วัดขึ้นเป็นນວກ ระບะ ໂຄງ ຕັວ ของคานจะຖືກສົມນຕີໃຫ້ມີຄ່ານ້ອຍมากນັ້ນຄືອເສັ້ນ ໄກ້ຂຶ້ນຫຍຸ່ນເກືອນເປັນ ເສັ້ນຕຽງ ດັ່ງນັ້ນຄວາມຕາຄັນຂອງເສັ້ນ ໄກ້ຂຶ້ນຫຍຸ່ນ ທີ່ຈຸດນີ້ໆ ສາມາຮັດເຈັບເປັນເປັນ

$$\tan \theta \approx \theta = \frac{dy}{dx} \quad (2.22)$$

$$\frac{d\theta}{dx} = \frac{d^2 y}{dx^2} \quad (2.23)$$

จากรูป ส່ວນໄກ້ ds ຮອງຮັບນູນ $d\theta$ ທີ່ຮັກນີ້ ρ ດັ່ງນັ້ນ

$$ds = \rho d\theta \quad (2.24)$$

เนื่องจากระยะ ໄກ่งตัวมีค่าไม่ขึ้นอยู่มาก จึงสามารถแทนส่วนໄໄกง ds ด้วยการกระจัด dx ดังนี้

$$dx = \rho d\theta = \frac{1}{\rho} = \frac{d\theta}{dx} \quad (2.25)$$

หรือ

$$\frac{1}{\rho} = \frac{d^2y}{dx^2} \quad (2.26)$$

จากคุณสมบัติความยืดหยุ่นของวัสดุ

$$\varepsilon_x = \frac{\sigma_x}{E} \quad (2.27)$$

จะได้

$$\varepsilon_x = \frac{\sigma_x}{E} = -\frac{y}{\rho} = -\frac{My}{EI} \quad (2.28)$$

$$\frac{1}{\rho} = \frac{M}{EI} \quad (2.29)$$

ดังนั้น

$$\frac{d^2y}{dx^2} = \frac{d\theta}{dx} = \frac{1}{\rho} = \frac{M}{EI} \quad (2.30)$$

หรือ

$$EI \frac{d^2y}{dx^2} = M \quad (2.31)$$

สมการที่ 2.31 เรียกว่า สมการเชิงอนุพันธ์ของเส้นໄໄกงยืดหยุ่นของ杆件
ถ้าสมมติให้ EI มีค่าคงที่ แล้วอินทิเกรตสมการที่ (2.31) จะได้

$$EI = \frac{dy}{dx} = \int M(x)dx + C_1 \quad (2.32)$$

ซึ่งเป็นสมการของความชัน (slope) หรือ $\frac{dy}{dx}$ ที่จุดต่าง ๆ ของเส้น ໄส์เชคหยุ่น และ EI เรียกว่า สภาพแข็งเกร็งต่อการคัด (flexural rigidity) ซึ่งมีค่าคงที่ตลอดความยาวของคานถ้าอินทิเกรตสมการที่ 2.32 จะได้

$$EIy = \int \int (M(x)dx)dx + C_1x + C_2 \quad (2.33)$$

สมการที่ 2.33 เป็นสมการของระบบໄส์เชคหยุ่น สำหรับค่า C_1 และ C_2 เป็นค่าคงที่ ซึ่งสามารถหาได้จากเงื่อนไขของขอบเขตของการไปง่ตัวตามจุดต่าง ๆ ของคาน

Singularity Function

2.5.2 Singularity Function

คือการเขียนการกระจายของโน้มนต้าดที่แตกต่างกันในแต่ละช่วงของคานเป็นฟังก์ชันที่ต่อเนื่องไปตลอดทั้งคาน ไม่ว่าภาระยกที่จะเป็นจุดหรือกระจาย Singularity Function ของ x จะเขียนในรูป $(x - x_0)^n$ (ซึ่งเดิมหัวแหลม) เมื่อ n เท่ากับจำนวนเต็มใด ๆ แล้วใน

เมื่อ $n > 0$ และ $x \geq x_0$

เมื่อ $n > 0$ และ $x < x_0$

เมื่อ $x \geq x_0$

เมื่อ $x < x_0$

$$(x - x_0)^n = (x - x_0)^n$$

$$= 0$$

$$(x - x_0)^n = 1$$

$$= 0$$

$$\int (x - x_0)^n dx = \frac{1}{n+1} (x - x_0)^{n+1} + C$$

$$\text{เมื่อ } n > 0 \text{ และ } x \geq x_0$$

$$\text{เมื่อ } n > 0 \text{ และ } x < x_0$$

$$\text{เมื่อ } x \geq x_0$$

$$\text{เมื่อ } x < x_0$$

$$\text{เมื่อ } n \geq 0$$

$$\frac{d(x - x_0)^n}{dx} = n(x - x_0)^{n-1}$$

$$\text{เมื่อ } n \geq 1$$

ข้อสังเกต

นิพจน์ $(x - x_0)^n$ จะไม่มีค่า เมื่อค่าของ x ทำให้ในวงเดิมหัวแหลมมีค่าน้อยกว่าศูนย์ในการใช้วงเดิมหัวแหลมกับแรงกระจาย จะต้องเป็นแรงกระจายให้ตลอดดึงปลายคานด้านขวา ในกรณีที่มีแรงกระจายไม่ลึกล้ำคานให้ขยับแรงกระจายไปจนสุดคานด้านขวาเมื่อพร้อมกับหักล้างออกโดยเติมแรงกระจายขนาดเดิมกับแต่ทิศทางตรงกันข้าม

2.5.3 วิธีการซ้อนทับ (Superposition Method)

วิธีการซ้อนทับจะนิยมใช้วิเคราะห์กับป้อมหาที่มีความซับซ้อน โดยการแยกป้อมหาเดิมให้เป็นป้อมหาบ่อที่มีการกระทำอย่างง่ายเงื่อนไข

1. ผลของการต่ำชนิดกันที่มีต่อคานจะต้องเป็นอิสระต่อกัน

2. ความลากชันหรือระบบไปร่องของคานที่จุดใดจุดหนึ่งภายใต้ภาระเดิม จะมีค่าเท่ากับผลรวมของความลากชันหรือระบบไปร่องที่จุดนั้นภายใต้ภาระกระทำอย่างง่ายที่แยกย่อยออกมานะ

Load bending moment diagram	Bending moment (M)	Deflection (δ)
1	$M_{max} = Wt$	$\delta_{max} = \frac{Wt^3}{3EI}$
2	$M_{max} = \frac{wt^4}{2}$	$\delta_{max} = \frac{wt^4}{8EI}$
3	$M_{max} = \frac{1}{4} Wt$	$\delta_{max} = \frac{Wt^3}{48EI}$
4	$M_{max} = \frac{1}{8} Wt$	$\delta_{max} = \frac{Wt^3}{192EI}$
5	$M_{max} = \frac{1}{8} wt^2$	$\delta_{max} = \frac{5wt^4}{384EI}$
6	$M_{max} = \frac{1}{12} wt^2$	$\delta_{max} = \frac{wt^4}{384EI}$
7	$M_{max} = \frac{1}{6} wt^2$	$\delta_{max} = \frac{wt^4}{192.6EI}$

รูปที่ 2.6 ความชันและระบบไปร่องของคาน

ข้อควรพิจารณา

ทุกครั้งที่มีการเพิ่มหรือลดภาระ จะมีผลต่อแรงปฎิกริยาที่จุดรองรับ ดังนั้น การนำปัญหาหนึ่งไปซ้อนทับกับอีกปัญหาหนึ่ง จะต้องเอาแรงปฎิกริยาที่จุดรองรับไปซ้อนทับด้วย

2.5.4 การออกแบบ (Design)

ในการออกแบบงานให้คำนึงถึง ความเก็บอัด (flexural stress) ความเก็บเฉือน (shearing stress) และ ระยะโ哥งค์วัของงาน (deflection)

ขั้นตอนแรกในการออกแบบงาน ให้พิจารณาบนพื้นฐานของความเก็บอัด จากนั้นให้ตรวจสอบ ความเก็บเฉือนและระยะโ哥งค์ตัว ถ้าความเก็บเฉือนและการโ哥งค์ตัวอยู่ในค่าที่ยอมรับได้ ก็ผ่านการออกแบบ แต่ถ้าความเก็บเฉือนและการโ哥งค์ตัวมากกว่าค่าที่ยอมรับได้ ให้ออกแบบใหม่อีกครั้งหนึ่งจนกระทั่งเป็นที่ น่าพอใจ

2.6 การใช้โปรแกรมชื่นรูปสามมิติ Solidworks

โปรแกรม Solidworks เป็นโปรแกรมเพื่อช่วยในการออกแบบและเขียนแบบโดยเน้นไปในส่วน ของการเขียนแบบชิ้นส่วนเครื่องกล โปรแกรมนี้เป็นโปรแกรมที่ผู้ใช้งานสามารถเรียนรู้และใช้งานได้ง่าย สามารถสร้างชิ้นงานในรูปแบบสามมิติ พร้อมมีการกำหนดขนาดที่ถูกต้อง อีกทั้งยังสามารถแก้ไขขนาด ตามที่ต้องการ โดยไม่ต้องเขียนชิ้นงานขึ้นมาใหม่ นอกจากนี้แล้วยังสามารถนำชิ้นงานที่ออกแบบและเขียน ขึ้นมาประกอบกันเป็นชิ้นงานประกอบแล้วนำไปเขียนแบบภาพฉายและหรือแบบ Drawing และกำหนด รายละเอียดได้ด้วย ลักษณะของโปรแกรม Solidworks จะมีพื้นที่ส่วนใหญ่เป็นพื้นที่ไว้สำหรับออกแบบและ เขียนแบบส่วนที่เหลือด้านบนเป็นเมนูบาร์สำหรับใช้ทำสิ่งต่างๆ ในงานออกแบบและเขียนแบบ สำหรับส่วน ที่ทำให้โปรแกรม Solidworks แตกต่างไปจากโปรแกรมที่ใช้เพื่อช่วยในการออกแบบและเขียนแบบประเภท อื่นๆ ก็คือ โปรแกรม Solidworks จะมีหน้าต่างๆ เดียวกันทั้งหมดที่มีหัวใจเดียวกันคือการแสดงผลแบบ 3D ควบคุณการทำงานของชิ้นงานทุกส่วนในการออกแบบ ทำให้การใช้งานโปรแกรม Solidworks มีความง่าย ขึ้น

หลักการทำงานของโปรแกรม Solidworks จะแบ่งออกเป็น 3 ส่วนหลักด้วยกัน ซึ่งในแต่ละส่วนการ ทำงานจะมีความสัมพันธ์กันในทางตรงและในส่วนการใช้งานต่างๆ ของโปรแกรมก็จะมีลักษณะของการ ทำงานที่แตกต่างกันออกໄไป ซึ่งสามารถแบ่งลักษณะการทำงานออกแบบและเขียนแบบได้เป็น Part, Assembly และDrawing

หลักการง่ายๆ ของการเขียน Part ก็จะเป็นการออกแบบชิ้นงานหรือโมเดล ซึ่งอาจจะประกอบด้วย หน้าแปลนหลายแปลนและอาจจะมีขนาดแตกต่างกันออกໄไป จากนั้นจะนำชิ้นส่วนต่างๆ ที่ได้ออกแบบและ

เขียนแบบชิ้นงานไปประกอบกันในส่วนของงานประกอบหรืองาน Assembly ซึ่งหากเป็นการออกแบบเครื่องจักรหรืองานที่มีความซับซ้อนมากอาจจะเป็นเรื่องยุ่งยากและเกิดความผิดพลาดได้ง่าย ดังนั้นการทำงานโดยใช้โปรแกรม Solidworks เพื่อออกแบบชิ้นส่วนเบื้องต้นแล้วจึงนำมาประกอบเป็นชิ้นงานทั้งหมด จึงเป็นเรื่องที่กระทำได้ง่ายและสามารถตรวจสอบความผิดพลาดได้ดีกว่า

จากงานประกอบหรืองาน Assembly ซึ่งไม่ได้แสดงรายละเอียดเกี่ยวกับชิ้นงานที่ออกแบบ ก็จะสามารถนำชิ้นงานที่ออกแบบและเขียนแบบนั้นไปสร้างในส่วนของการเขียนแบบ Drawing ซึ่งในส่วนของการเขียนแบบ Drawing นั้นก็จะสามารถแสดงรายละเอียดได้อย่างรวดเร็วเพรำะโปรแกรมคำสั่งที่ช่วยในการสนับสนุนการออกแบบซึ่งสามารถเดือดใช้งานได้ง่ายและสะดวก นอกเหนือไปจากนั้นแล้วการแก้ไขชิ้นงานก็สามารถแก้ไขได้โดยเดือดแก้ไขเฉพาะในส่วนใดส่วนหนึ่งของการออกแบบซึ่งจะส่งผลให้ชิ้นงานใน Part, Assembly และงาน Drawing ทั้งหมดถูกเปลี่ยนแปลงไปพร้อมๆกัน

2.7 แรงต้านอากาศ

เมื่อออกจากลักษณะเครื่องบนที่ถูกสร้างไปยังสื่อจะใช้ประโยชน์ได้ไม่เต็มที่ เพราะจะเกิดการสูญเสียในระบบถ่ายทอดกำลัง (Transmission loss) ในส่วนที่เหลือนั้นจะถูกนำไปใช้เพื่อการเอาชนะแรงดูดอากาศเคลื่อนที่ต่างๆ ได้แก่ แรงต้านอากาศ (Air resistance), แรงต้านการหมุนของล้อ (Rolling resistance) และแรงต้านทางชัน (Gradient resistance)

แรงต้านอากาศคือแรงดูดที่เกิดขึ้นบนผิวของรถประยุบคลังงานอันเนื่องมาจากแรงดันและแรงเสียดทานของอากาศที่ไหลผ่านรถ การออกแบบรูปทรงของรถประยุบคลังงานจึงต้องคำนึงถึงหลักการทางอากาศพลาสติก โดยจะสามารถทำให้รถประยุบคลังงานมีรูปทรงที่เป็นไปตามหลักอากาศพลาสติกและสามารถลดอัตราการใช้น้ำมันเชื้อเพลิงได้อีกด้วย

ในขณะที่รถบนศรีษะอยู่บนถนน รถบนศรีษะจะถูกกระทำด้วยแรงต้านอากาศและแรงกبحของอากาศ ซึ่งสามารถชินาขได้ด้วยสัมประสิทธิ์แรงต้านอากาศ (C_d) และสัมประสิทธิ์แรงบก (C_l) ซึ่งสามารถคำนวณได้จาก

$$C_d = \frac{D}{\frac{1}{2} \rho U^2 A} \quad (2.34)$$

$$C_l = \frac{L}{\frac{1}{2} \rho U^2 A} \quad (2.35)$$

โดยที่ C_d คือ ตัวแปรติดต่อแรงต้านอากาศ

C_l คือ ตัวแปรติดต่อแรงยก

D คือ แรงต้านอากาศที่กระทำกับตัวรถ (N)

L คือ แรงยกที่กระทำกับตัวรถ (N)

ρ คือ ความหนาแน่นของอากาศ (kg/m^3)

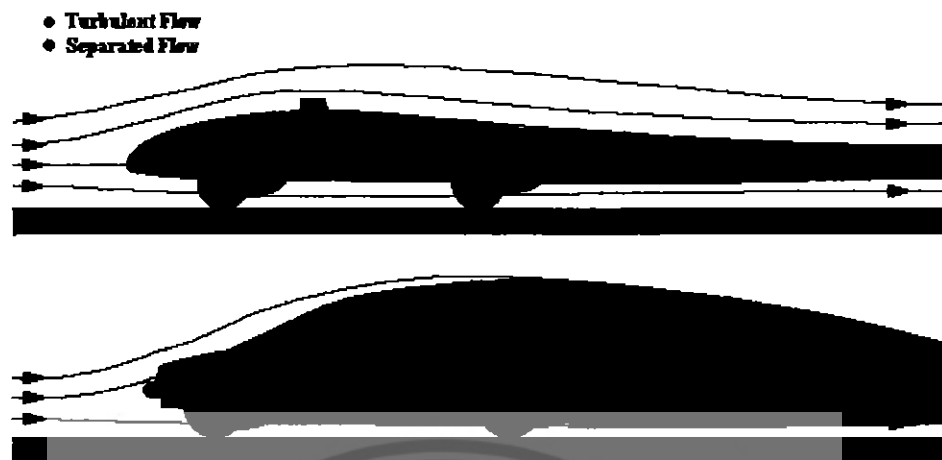
U คือ ความเร็วของอากาศ (m/s)

A คือ พื้นที่ (m^2)



รูปที่ 2.7 แสดงแรงต้าน, แรงกด และแรงยกอากาศ

รถประทัดพัฒนามักจะออกแบบให้มีลักษณะคล้ายหยดน้ำคือมีลักษณะขาวเรียวซึ่งเรียกว่าร่างแบบนี้ว่า Streamlined Body เพื่อที่จะลดผลกระทบด้านแรงกด เมื่ออากาศไหลผ่านวัตถุที่เป็นแบบ Streamlined Body เส้นกระเสกการไหลของอากาศจะเกิดการไหลวนข้างหลังวัตถุจำนวนมาก แรงกดที่เกิดกับ Streamlined Body นั้นโดยส่วนใหญ่จะมาก แรงกดที่เรียกว่า Parasite Drag เช่นแรงกดอันเนื่องมาจากการผิวของวัตถุเนื่องจากผิวไม่เรียบ แรงกดอีกประเภทหนึ่งที่เรียกว่า Induced Drag ซึ่งคือแรงกดที่มาจากการแรงยก



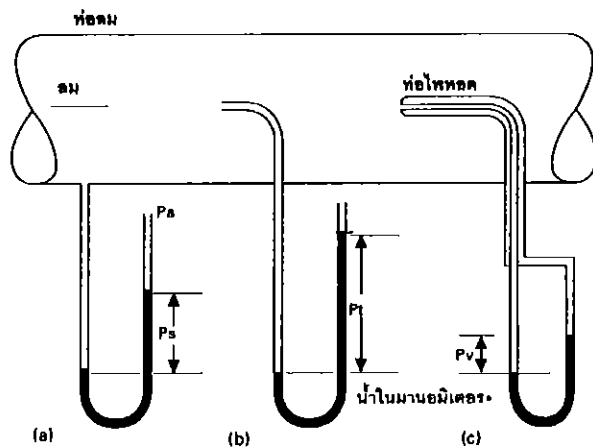
รูปที่ 2.8 แสดงแรงดึงอากาศ

2.8 ความคันสติท์ ความคัน stagnation และความคันพลศาสตร์

ความคันที่กระทำกับของไอลได้ ๆ โดยทั่วไปจะประกอบด้วยความคันสติท์และพลศาสตร์ (Static and dynamic pressure) ความคันสติท์ คือความคันซึ่งกระทำต่อเทหะวัตถุ เมื่อมากจากแรงกิริยาของไม่เลกุลของ ของไอล ความคันพลศาสตร์คือความคันซึ่งเกิดจากการเคลื่อน ไหของ ของไอล และมีค่าเท่ากับ เศยหนึ่งส่วนสองของ ความหนาแน่นคูณด้วยความเร็วกำลังสอง ($P_D = \frac{1}{2} \rho V^2$) จากสูตรจะเห็นได้ว่า ความคันพลศาสตร์เป็นปฏิภาคตรงกับความเร็ว $P_D \propto V$ ความคันรวมคือผลรวมของความคันสติท์และความคันพลวัต ถ้ากำหนดให้ $P_T =$ ความคันรวม, $P_S =$ ความคันสติท์ และ $P_D =$ ความคันพลวัต จะได้สูตร

$$P_T = P_S + P_D \quad \text{ถ้าของไอลอยู่นี่} \quad P_T = P_S \quad (2.36)$$

หลักการของเบรนูลลี่ได้กล่าวไว้ว่าเมื่ออากาศหรือของเหลวไอลผ่านท่อทางด้วยอัตราเร็ว慢 แล้วสมองรวมของความคันสติท์และความคันพลวัตจะคงที่เพราจะนั้นเมื่อความคันรวมคงที่ถ้าความคันสติท์ลดลง ความคันพลวัตก็จะเพิ่มขึ้น จากสูตรความคันพลวัต $P_D = \frac{1}{2} \rho V^2$ จะเห็นว่าความคันพลศาสตร์เพิ่มเพราความเร็วของของไอลเพิ่มดังนั้นถ้าความเร็วเพิ่มความคันจะลดแต่ถ้าความเร็วลดความคันจะเพิ่ม



รูปที่ 2.9 การวัดความดันสติก (P_s) ความดันพลังงานคง (P_v) และความดันทั้งหมด (P_t)

ความดัน Stagnation เป็นความดันของการไหลเมื่อลดความเร็วลงจนเป็นศูนย์ โดยกระบวนการที่ไม่มีแรงเสียดทาน สามารถใช้สมการแบบร์นูลลี่เพื่อหาความสัมพันธ์ระหว่างอัตราเร็วที่เปลี่ยนไปและความดันเมื่อไม่คิดถึงความต่างระดับ สมการแบบร์นูลลี่จะกลายเป็น

$$\frac{P}{\rho} + \frac{V^2}{2} = \text{ค่าคงที่} \quad (2.37)$$

ถ้าความดันสติกเท่ากับความดัน ณ จุดที่อัตราการไหลเท่ากับ V ดังนั้นสามารถคำนวณหาความดัน Stagnation, P_0 ได้ ณ บริเวณที่อัตราเร็ว V_0 เท่ากับศูนย์

$$\frac{P_0}{\rho} + \frac{V_0^2}{2} = \frac{P}{\rho} + \frac{V^2}{2} \quad (2.38)$$

หรือ

$$P_0 = P + \frac{1}{2} \rho V^2 \quad (2.39)$$

เทอม $\frac{1}{2} \rho V^2$ เรียกว่าความดันพลศาสตร์ซึ่งเท่ากับ

$$\frac{1}{2} \rho V^2 = P_0 - P \quad (2.40)$$

ทำให้สามารถแก้หาอัตราเร็วได้เท่ากับ

$$V = \sqrt{\frac{2\Delta P}{\rho}} \quad (2.41)$$

ซึ่งค่าความต่างระหว่างความดัน Stagnation และความดันสติทิกซ์คือ ΔP
ในการทดสอบนี้ค่า ΔP จะอยู่ในรูปของหน่วยมิลลิเมตรน้ำซึ่ง

$$1 \text{ mmH}_2\text{O} = 1 \text{ kg/m}^2 = 9.81 \text{ N/m}^2$$

$$\text{ดังนั้น } V = 4.429 \sqrt{\frac{h}{\rho}}$$

เมื่อ h = ความดันต่าง (mmH_2O)

ρ = ความหนาแน่นของอากาศ (kg/m^3)

ดังนั้นถ้าสามารถวัดค่าของความดัน Stagnation และความดันสติทิกซ์ที่จุดหนึ่งๆ ได้สามารถหาอัตราเร็วการไหลที่จุดนั้นๆ ได้

2.9 อุโมงค์ลม

เป็นอุปกรณ์หลักในการศึกษาเรื่องอากาศพลศาสตร์ ความหมายของอุโมงค์ลมเป็นอุปกรณ์ที่ใช้สร้างรูปแบบของ流れ เพื่อใช้ศึกษาพฤติกรรมของของไหลที่กระทำกับวัตถุที่อยู่ภายในอุโมงค์ลมนั้น ดังนั้น อุโมงค์ลมจะมีให้หลายขนาด ขนาดเด็กอาจใช้ทดสอบวัตถุชิ้นเล็กๆ หรือแบบจำลองยื่อนขนาดของวัตถุที่สนใจ ไปจนถึงอุโมงค์ลมขนาดใหญ่ที่สามารถบรรจุเครื่องบินได้ทั้งลำเพื่อใช้ทดสอบลักษณะการไหลของลมผ่านปีกเครื่องบิน

อุโมงค์ลมมีหลากหลายประเภทแล้วแต่ว่าจะแบ่งประเภทอย่างไร เช่น แบ่งตามลักษณะวัสดุการ การไหลของลม ก็จะแบ่งเป็น open circuit และ closed circuit แบ่งตามลักษณะส่วนของอุโมงค์ลมที่ใช้ทดสอบก็จะเป็น open test section และ closed test section หรืออาจแบ่งตามจุดประสงค์การใช้งานก็จะมี หลากหลายประเภทเช่น automobile wind tunnel, aeronautical wind tunnel, smoke tunnel เป็นต้น

จุดประสงค์การทำงานของอุโมงค์ลม โดยพื้นฐานก็คือสร้างลมที่ไม่เป็นปัวน ความเร็วลมสม่ำเสมอ ตลอดหน้าตัดอุโมงค์ลมและมีความร้อนเรียบ ดังนั้นส่วนประกอบโดยทั่วไปของอุโมงค์ลม จะแบ่งเป็น ส่วนๆดังนี้

1. Diffuser หน้าที่ลดความเร็วลม โดยการขยายหน้าตัดเพื่อความเร็วลมต่ำสามารถปรับปรุง คุณภาพได้ง่าย
2. Setting chamber เป็นส่วนหลักที่ใช้ปรับสภาพของลมให้เป็นไปตามวัตถุประสงค์
3. Contraction ทำหน้าที่สลับกับ Diffuser ก็คือ ลดขนาดอุโมงค์เพื่อให้เข้าพอดีกับส่วนทดสอบ (Test section) ที่อยู่ด้านไป ลมที่ผ่านจะมีความเร็วลดมากขึ้น
4. Test section เป็นส่วนที่ไว้วางวัตถุที่ต้องการทดสอบ



บทที่ 3

การวิเคราะห์โครงสร้างรถประหัดพลังงาน

ขั้นตอนของการดำเนินงานในการวิเคราะห์โครงสร้างรถประหัดพลังงานและการออกแบบโครงสร้างใหม่ โดยใช้โปรแกรม Solidworks ซึ่งมีขั้นตอนการดำเนินงานดังรูปที่ 3.1



รูปที่ 3.1 ขั้นตอนการดำเนินงานในส่วนของ โครงสร้างรถประหัดพลังงาน

จากขั้นตอนการดำเนินงานในรูปที่ 3.1 สามารถแสดงรายละเอียดของการดำเนินงานได้ดังต่อไปนี้

3.1 การเก็บข้อมูลโครงสร้างรถประยุคพลังงานและวิเคราะห์ตัวแปรที่ใช้ในการคำนวณ

การเก็บข้อมูลโครงสร้างรถประยุคพลังงานจากโครงสร้างรถประยุคพลังงานของชุมชนบ้านยนต์ คณะวิศวกรรมเครื่องกล มหาวิทยาลัยนเรศวรและหาตัวแปรที่จำเป็นด้องใช้ในการคำนวณเกี่ยวกับการวิเคราะห์โครงสร้าง ได้แก่ ความยาว ขนาดหน้าตัด น้ำหนัก ชนิดของเหล็กที่ใช้ทำโครงสร้าง รวมไปถึง ภาระที่มากระทำกับโครงสร้าง ซึ่งมีขั้นตอนในการเก็บข้อมูลดังนี้

3.1.1 การหาความกว้าง ความยาวและความหนาเหล็กของโครงสร้าง

การหาความยาวทำได้โดยการวัดขนาดแต่ละชิ้นส่วนของโครงสร้างด้วยตลับเมตร เพื่อที่จะนำผลที่ได้ไปสร้างโครงสร้างของรถประยุคพลังงานและหาความหนาของเหล็กจากการใช้วอร์เนียคลิปเปอร์ ช่วยในการวัด นำผลที่ได้เหล่านี้ไปเป็นข้อมูลในการสร้างโมเดลและกำหนดพื้นที่หน้าตัดในกับโครงสร้าง ในโปรแกรม Solidworks ซึ่งผลจากการเก็บข้อมูล โดยการวัดขนาดและการตรวจสอบโครงสร้างพบว่า เหล็กที่ใช้ทำโครงสร้างรถประยุคพลังงาน เป็นเหล็กท่อกล่อง 2 ขนาด มีชิ้นส่วนโครงสร้างทั้งหมด 33 ชิ้น ซึ่งมีการจัดกลุ่มโดยทำการแบ่งออกเป็น 2 กลุ่ม ตามขนาดเหล็กที่ใช้ทำโครงสร้าง โดยสามารถแสดงรายละเอียดของการเก็บข้อมูลได้ดังตารางที่ 3.1

ตารางที่ 3.1 ตารางบันทึกข้อมูลโครงสร้างรถประยุคพลังงาน

ข้อมูล โครงสร้างรถประยุคพลังงาน					
กลุ่ม	ชนิดเหล็ก	ขนาดเหล็ก		พื้นที่หน้าตัด (m^2)	จำนวนชิ้น
		ขนาด(cm)	หนา(mm)		
1	เหล็กกล่อง	2x2	1.2	0.91×10^{-4}	22
2	เหล็กกล่อง	2x2	1.5	1.11×10^{-4}	11
รวม					33

3.1.2 การทดสอบสมบัติของเหล็ก

จากการตรวจสอบโครงสร้างรถประยุคพลังงานได้ใช้เหล็กกล่องในการทำโครงสร้างจึงทำการหาข้อมูลเหล็กแต่ละขนาดและราคาตามห้องคลาด เพื่อเป็นข้อมูลในการเปรียบเทียบน้ำหนักและราคาหลังจากทำการปรับเปลี่ยนขนาดเหล็กหรือออกแบบโครงสร้างใหม่จากผลการทดสอบคุณสมบัติของวัสดุ โดย โครงงานเรื่องการวิเคราะห์และออกแบบโครงสร้างรถ TSSE Student Formula โดยใช้คอมพิวเตอร์ช่วงปี การศึกษา 2551 ที่ทำการทดสอบการรับแรงดึงด้วยเครื่อง Universal Testing Machine

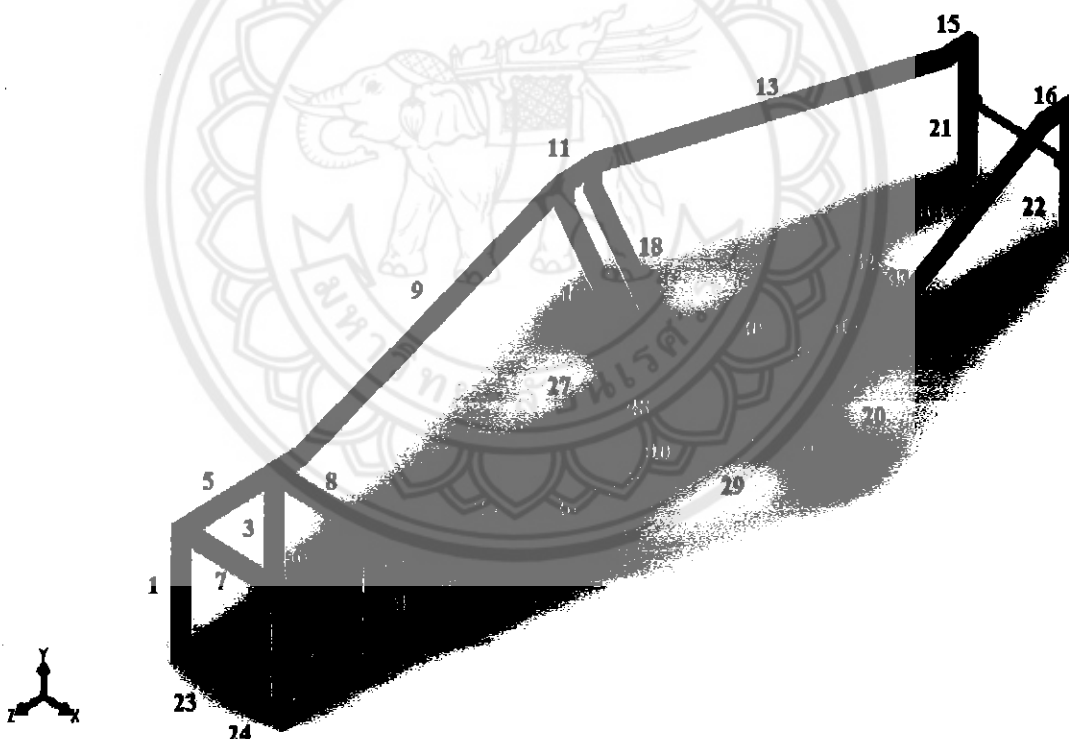
ซึ่งได้ค่าโมดูลัสความยืดหยุ่น (Modulus of Elasticity, E) เท่ากับ $1.82 \times 10^{11} \text{ Pa}$ ค่าที่ได้จากการทดสอบเหล็กนิ่มค่าใกล้เคียงกับเหล็ก AISI 1020 Steel, Cold Rolled จึงเลือกใช้เหล็กชนิดนี้เป็นวัสดุในการวิเคราะห์

3.1.3 ผลของการคำนวณหาพิกัดและแรงนีองจากภาระน้ำหนักบนโครงสร้าง

การหาค่าตัวแปรต่าง ๆ ที่นำไปใช้สร้างโมเดลและการวิเคราะห์ผล จากการศึกษาและทดลองใช้โปรแกรมช่วยในการวิเคราะห์ ซึ่งสามารถสรุปข้อมูลที่จำเป็นในการสร้างโมเดลและการวิเคราะห์ด้วยโปรแกรมได้ดังนี้

3.1.3.1 ผลการหาพิกัดตามแนวแกน x, y, z

พิกัดตามแนวแกน x, y, z ซึ่งหาได้จากการคำนวณโดยใช้ทฤษฎีตรีゴณมิติ เพื่อนำพิกัดที่ได้เป็นข้อมูลในการสร้างโมเดลในโปรแกรม Solidworks ซึ่งมีขั้นส่วนทั้งหมด 33 ขั้น ดังรูปที่ 3.3



รูปที่ 3.2 การสร้างโมเดลโครงสร้างรถประทับคัพดังงาน

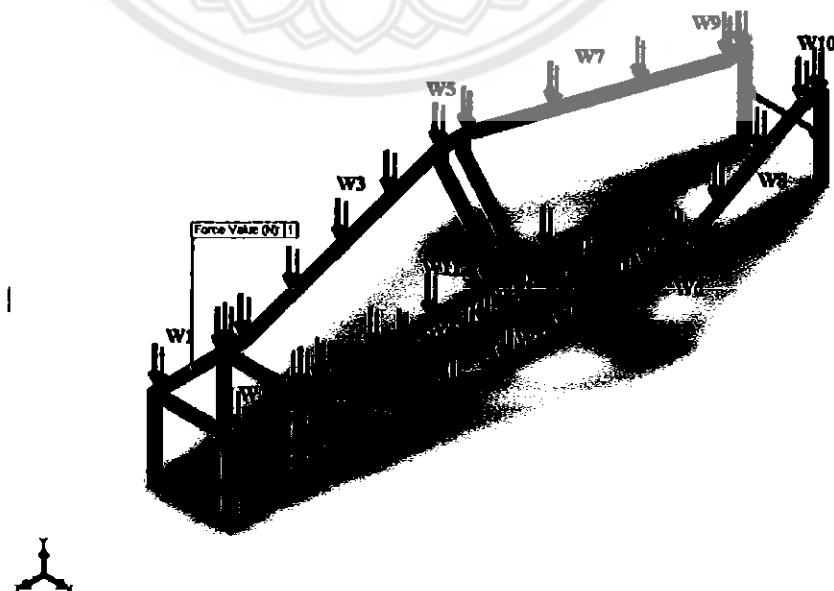
3.1.3.2 การคำนวณหาแรงเนื่องจากภาระน้ำหนักที่กระทำต่อโครงสร้าง

จากการพิจารณาภาระที่กระทำต่อโครงสร้างรถประบทดับลังงานพบว่า มีภาระที่กระทำอยู่สองแบบ คือ กระทำแบบกระชาบ และการทำแบบทรงๆ ซึ่งเป็นภาระอันเนื่องมาจากน้ำหนักคนขับ เครื่องยนต์ และน้ำหนักจากตัวถัง ข้อมูลทั้งหมดได้มาจากการเก็บข้อมูลพื้นฐาน การประมาณค่า และการสมมุติฐาน จะได้ข้อความของการแต่ละชนิดที่กระทำกับโครงสร้างดังแสดงในตารางที่ 3.2 ซึ่งสามารถคำนวณหาแรง ณ ตำแหน่งต่าง ๆ โดยจะแบ่งเป็น 2 กรณีหลัก ๆ ได้ดังต่อไปนี้

ตารางที่ 3.2 ขนาดของภาระที่กระทำกับโครงสร้าง

ภาระน้ำหนัก	รูปแบบของภาระ	มวล (kg)	แรงโน้มถ่วง (m/s^2)	แรงเนื่องจากภาระกระทำ (N)
คนขับ	ภาระกระชาบ	55	9.81	539.55
เครื่องยนต์	ภาระแบบจุด	15	9.81	147.15
ตัวถัง	ภาระกระชาบ	5	9.81	49.05

ภาระบนโครงสร้างที่กระทำอยู่ในรูปแบบของแรงกระชาบดังรูปที่ 3.3 ในการคำนวณหาแรงเนื่องจากภาระที่กระทำต่อชิ้นส่วนโครงสร้าง โดยจะกำหนดให้แรงเป็นแรงกระชาบแบบสม่ำเสมอและทำการคำนวณ จากผลการคำนวณก็จะกำหนดค่าภาระให้กับโครงสร้างในส่วนการวิเคราะห์โดยโปรแกรม Solidworks โภนค Simuation ซึ่งสามารถแสดงวิธีการคำนวณหาแรงได้ดังรูปที่ 3.3



รูปที่ 3.3 ภาระกระชาบที่กระทำต่อชิ้นส่วนโครงสร้าง

สมการคำนวณหาแรงกระจาบ กรณีที่แรงกระจาบเป็นแบบสม่ำเสมอ

$$F_R = (x)(w) \quad (3.1)$$

เมื่อ F_R คือ แรงลักษ์ (N)

x คือ ความยาว (m)

w คือ ขนาดของแรงกระจาบ (N/m)

ภาระที่กระทำแบบจุดที่กระทำต่อโครงสร้างเนื่องจากน้ำหนักของเครื่องยนต์ แต่ละจุดมีค่าเท่ากันทั้ง 4 จุด ดังแสดงในรูปที่ 3.4 และสามารถคำนวณหาแรงได้จากสูตร

$$F_R = (m)(g) \quad (3.2)$$

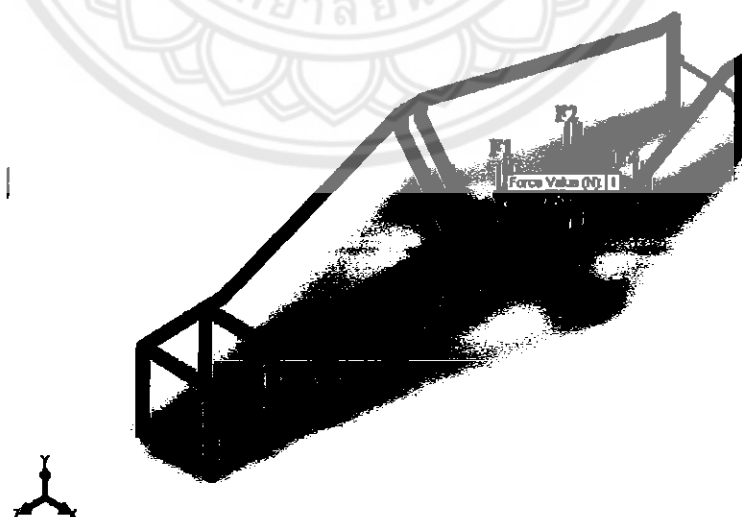
$$F_i = F_R / 4$$

เมื่อ F_R คือ แรงลักษ์ (N)

F_i คือ แรงกระทำในแต่ละจุด (N)

m คือ มวลของตัวถัง (kg)

g คือ แรงโน้มถ่วง (m/s^2)



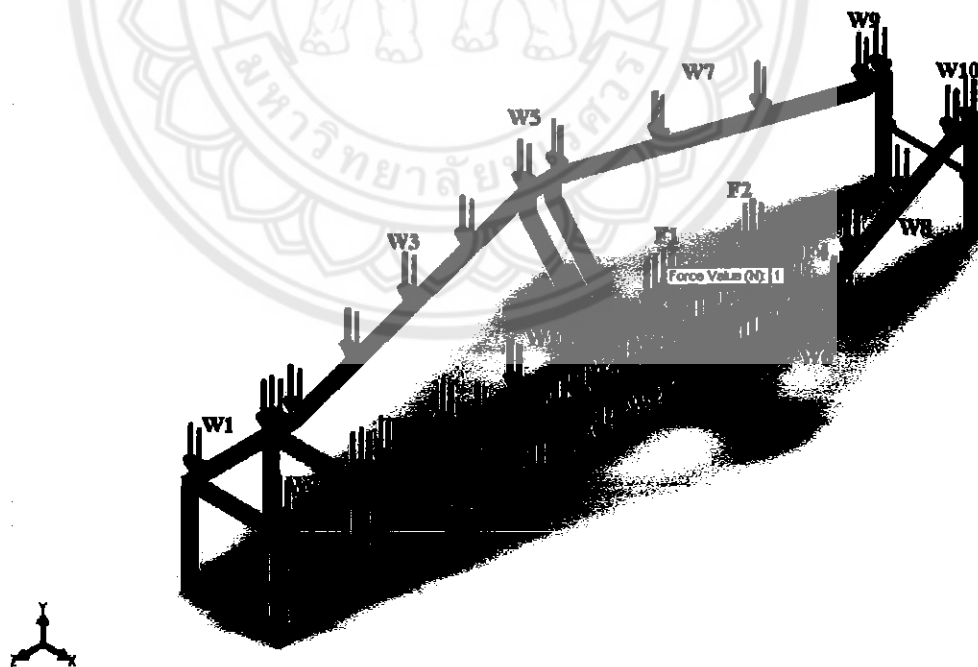
รูปที่ 3.4 ภาระกระทำแบบจุดเนื่องจากน้ำหนักของเครื่องยนต์

ในการคำนวณหาแรงเนื่องจากภาระน้ำหนักที่กระทำต่อโครงสร้าง ผลที่ได้จะนำไปกำหนดภาระ (Load) ในส่วนของการวิเคราะห์ด้วยโปรแกรม Solidworks โดย Simulation ซึ่งสามารถสรุปแรงเนื่องจากภาระที่กระทำต่อโครงสร้างโดยกำหนดให้ขนาดของแรงมีค่าความปลดคลั่งเป็น 2 เท่า ดังตารางที่ 3.3

ตารางที่ 3.3 ขนาดของแรงที่กระทำบนจุดต่างๆของโครงสร้าง

ภาระน้ำหนัก	รูปแบบของภาระ	แรง	ขนาดแรง(N)	กระทำต่อชื่นส่วน
คนขับ	ภาระกระชาบ	W_{11}, W_{12}, W_{13}	1079.1	27,28,29
เครื่องยนต์	ภาระแบบจุด	F_1, F_2, F_3, F_4	73.57	27,29
ตัวถัง	ภาระกระชาบ	W_1, W_2, \dots, W_{10}	98.1	5,6,9,10,11,12,13,14,15,16

จากตารางที่ 3.3 สามารถแสดงตำแหน่งที่ภาระทึ้งหมดที่กระทำต่อโครงสร้างดังรูปที่ 3.5



รูปที่ 3.5 ภาระทึ้งหมดที่กระทำต่อโครงสร้างรถประทับด้วยงาน

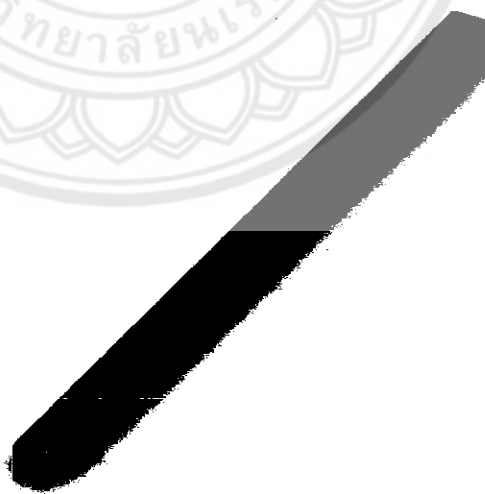
3.2 การใช้โปรแกรม Solidworks

โปรแกรม Solidworks เป็นโปรแกรมเขียนแบบขึ้นรูปสามมิติ ซึ่งโปรแกรมนี้มีฟังก์ชันที่ใช้ในการวิเคราะห์ไฟไนต์เอลิเมนต์ได้ ในการวิเคราะห์โครงสร้างนั้น ได้ใช้ Solidworks ใหม่ด้วย Simulation สามารถวิเคราะห์ปัญหาทางวิทยาศาสตร์และวิศวกรรมศาสตร์ได้ทุกประเภทที่อยู่บนพื้นฐานของการวิเคราะห์อนุพันธ์ย่อย จึงได้นำเอาโปรแกรมนี้มาช่วยในการวิเคราะห์เพื่อหาความเด่น (Stress) และความเครียด (Strain) ที่เกิดขึ้นกับโครงสร้างของรถประทัดพลังงาน ซึ่งในการวิเคราะห์จะเป็นการวิเคราะห์แบบ Static Analysis โดยนำผลที่ได้จากการวิเคราะห์มาใช้เป็นพื้นฐานในการปรับเปลี่ยนขนาดเหล็กและออกแบบโครงสร้างขึ้นมาใหม่ ซึ่งมีขั้นตอนหลักๆในการใช้โปรแกรมดังนี้

3.2.1 การสร้างแบบจำลอง

3.2.1.1 การสร้างเหล็กกล่องตามขนาดของชิ้นส่วนโครงสร้าง

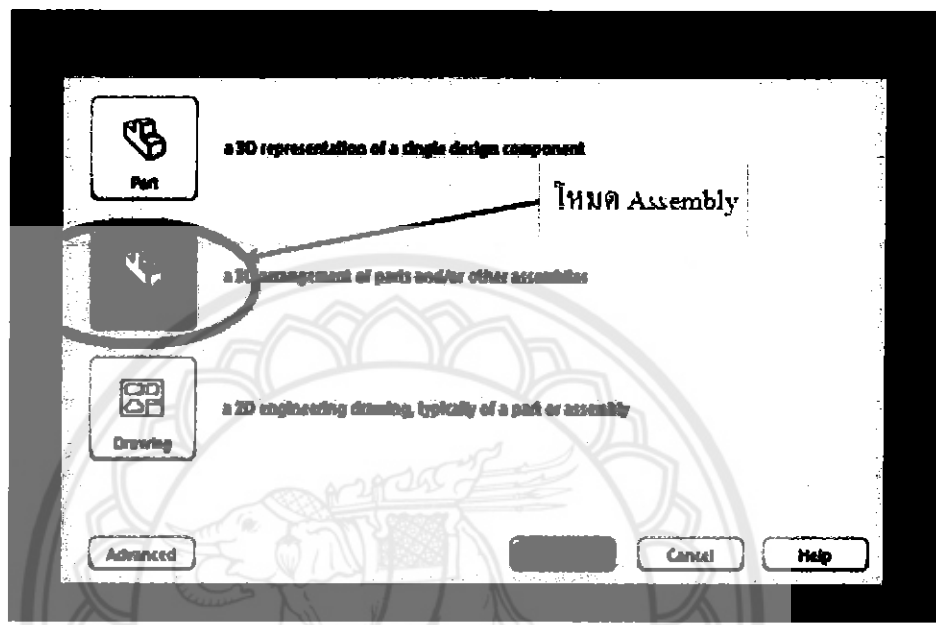
ใช้คำสั่ง Sketch จากนั้นเลือกรอบ面 Front plane ทำการ Sketch โดยใช้คำสั่ง Line สร้างเส้นเหลี่ยมขนาด $2 \times 2\text{ cm}$ หนา 1.2 และ 1.5 mm เนื่องจากโครงสร้างของรถประทัดพลังงานมีการใช้เหล็กกล่องที่มีความหนา 2 ขนาด จากนั้นทำการบีดชิ้นส่วนโดยใช้คำสั่ง Extruded Boss/Base บีดเหล็กกล่องออกตามขนาดชิ้นส่วนต่างๆ



รูปที่ 3.6 การสร้างเหล็กกล่อง

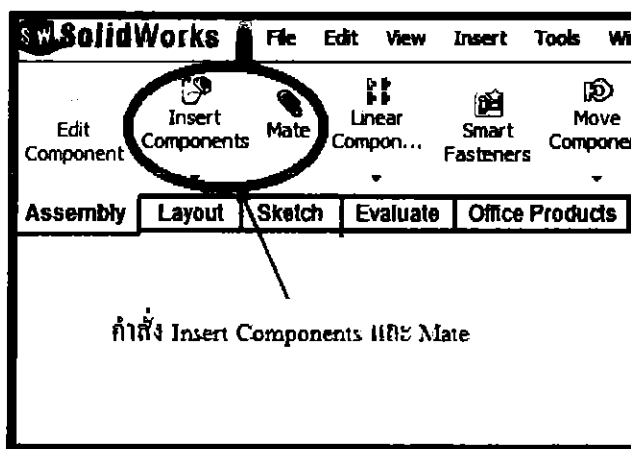
3.2.1.2 การนำชิ้นส่วนแต่ละชิ้นมาประกอบกัน

ขั้นตอนนี้จะใช้โหมด Assembly



รูปที่ 3.7 เลือกโหมด Assembly

โดยเริ่มจากการนำเหล็กกล่องขนาดต่างๆมาเชื่อมต่อกันตาม โน้ตแบบเดินที่สร้างไว้ ใช้คำสั่ง Insert component นำชิ้นส่วนแต่ละชิ้นออกจากกันนั้นใช้คำสั่ง Mate ใน การเชื่อมต่อกันของชิ้นส่วนชนได้ โครงสร้างรถประทับพลังงานที่สมบูรณ์



รูปที่ 3.8 คำสั่ง Insert Components และ Mate



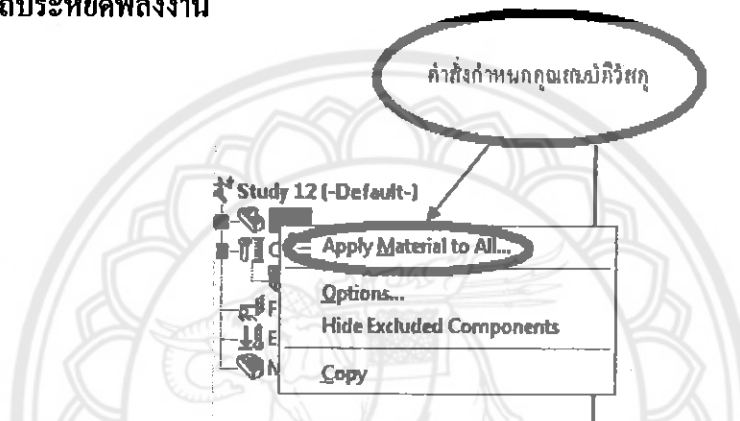
รูปที่ 3.10 โครงสร้างรดประขัดพลังงานที่เสริจสมบูรณ์

3.2.2 การวิเคราะห์โครงสร้าง

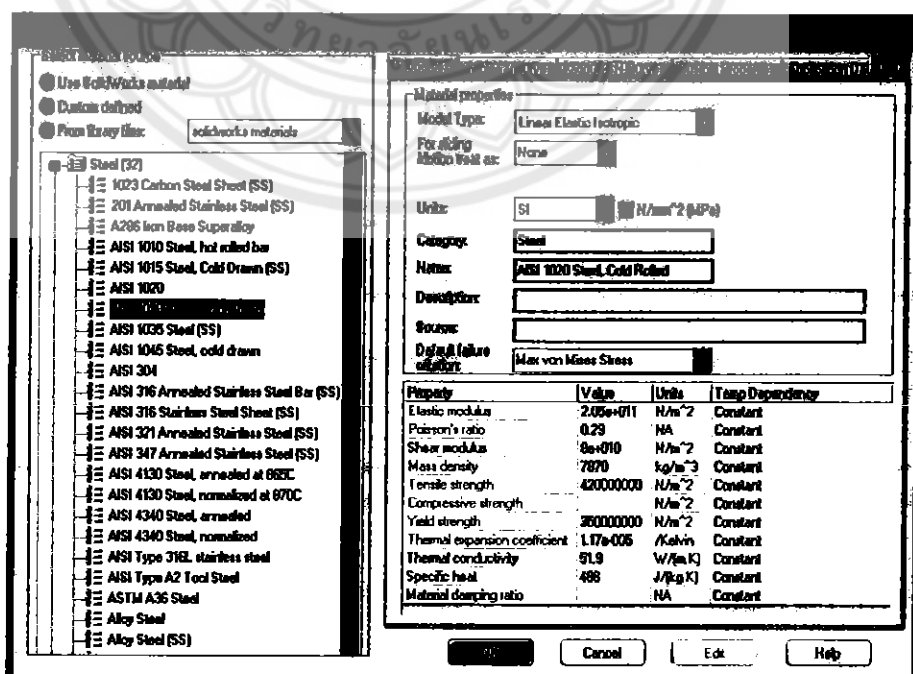
ขั้นตอนนี้จะเป็นการนำโครงสร้างสามมิติของรูประบบดังงานมาทำการวิเคราะห์ โดยขั้นแรก จะต้องคลิกไปที่ Office product จากนั้นทำการเลือก Solidworks ใหม่ Simulation จากนั้นคลิกที่ Study เลือก New Study จากนั้นเลือกการวิเคราะห์แบบ Static Analysis แล้วทำการขั้นตอนดังนี้

3.2.2.1 การกำหนดคุณสมบัติของวัสดุ (Material)

คลิกขวาตรง Part จากนั้นเข้าไปที่ Apply to all material ทำการเลือกชนิดของวัสดุที่ใช้เป็น โครงสร้างของรูประบบดังงาน



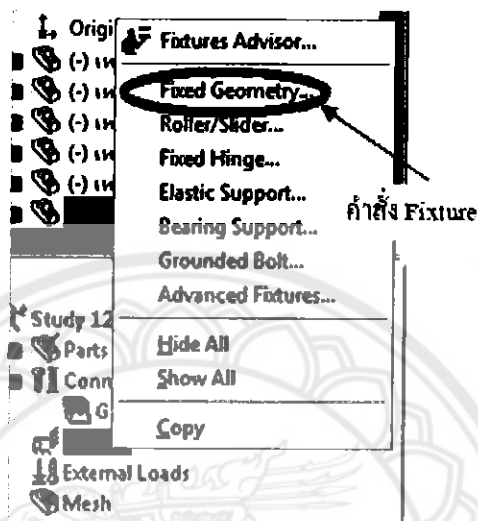
รูปที่ 3.11 คำสั่งกำหนดคุณสมบัติของวัสดุ



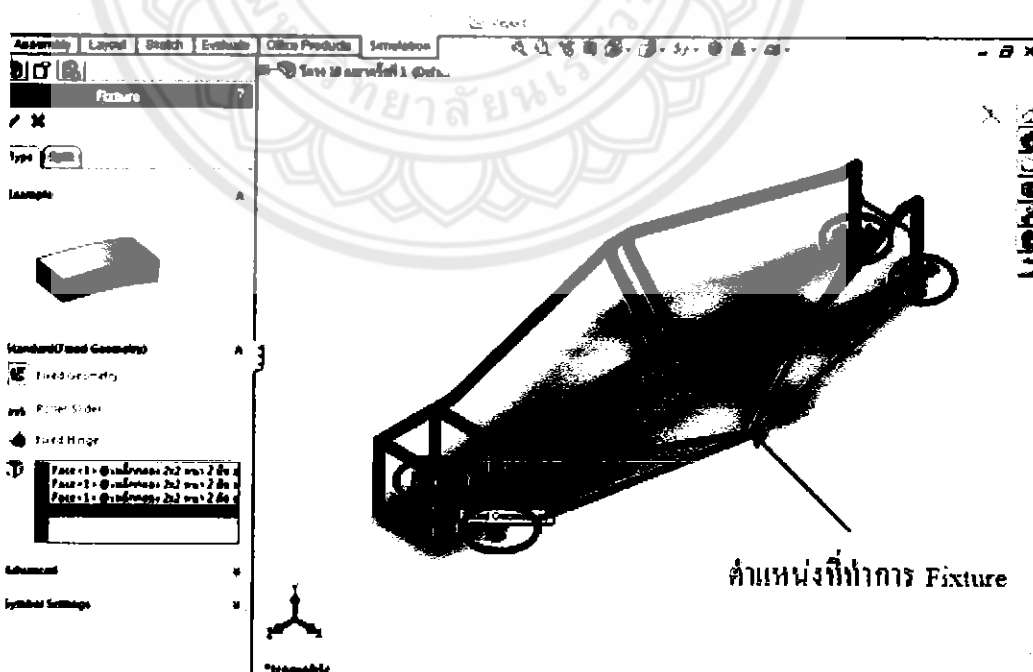
รูปที่ 3.12 ค่าคุณสมบัติ่างๆของวัสดุ

3.2.2.2 กำหนดแรงด้านจากเพลาล้อ

คลิกขวาตรงคำสั่ง Fixture/Fixture Geometry แล้วไปคลิกที่พื้นผิวบริเวณที่เป็นแรงด้านจากเพลาล้อทั้ง 4 จุด



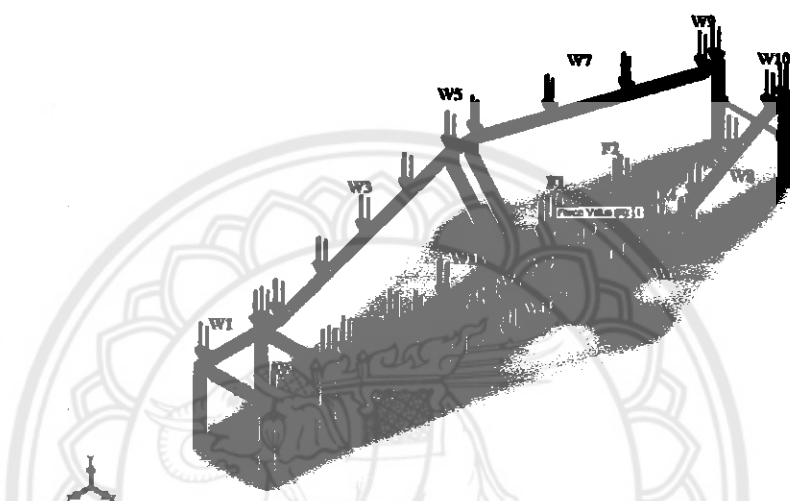
รูปที่ 3.13 คำสั่ง Fixture



รูปที่ 3.14 การเลือกตำแหน่งที่มีแรงด้านของเพลาล้อทั้ง 4 จุด

3.2.2.3 การกำหนดแรงนีองจากภาระน้ำหนักที่กระทำบนโครงสร้าง

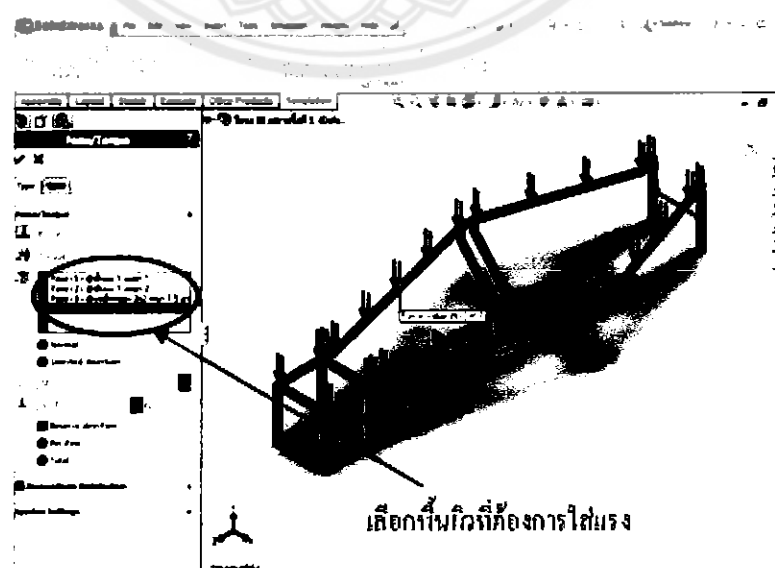
ขั้นตอนนี้เป็นการกำหนดภาระ (Load) โดยแรงที่กระทำต่อโครงสร้างมี 2 ลักษณะคือ แรงที่กระทำแบบภาระกระจายและแรงที่กระทำเป็นจุด โดยได้สรุปแรงนีองจากภาระที่กระทำต่อโครงสร้างดังตารางที่ 3.3 และขนาดของแรงที่ใช้มีค่าความปลอดภัยเป็น 2 เท่าของแรงนีองจากภาระที่กระทำต่อโครงสร้างและสามารถแสดงตำแหน่งของแรงดังรูป



รูปที่ 3.15 แรงนีองจากภาระน้ำหนักห้องหมกที่กระทำแต่ละตำแหน่ง

การกำหนดแรงที่กระทำบนโครงสร้างแต่ละตำแหน่ง มีวิธีการเรียกใช้คำสั่งดังนี้

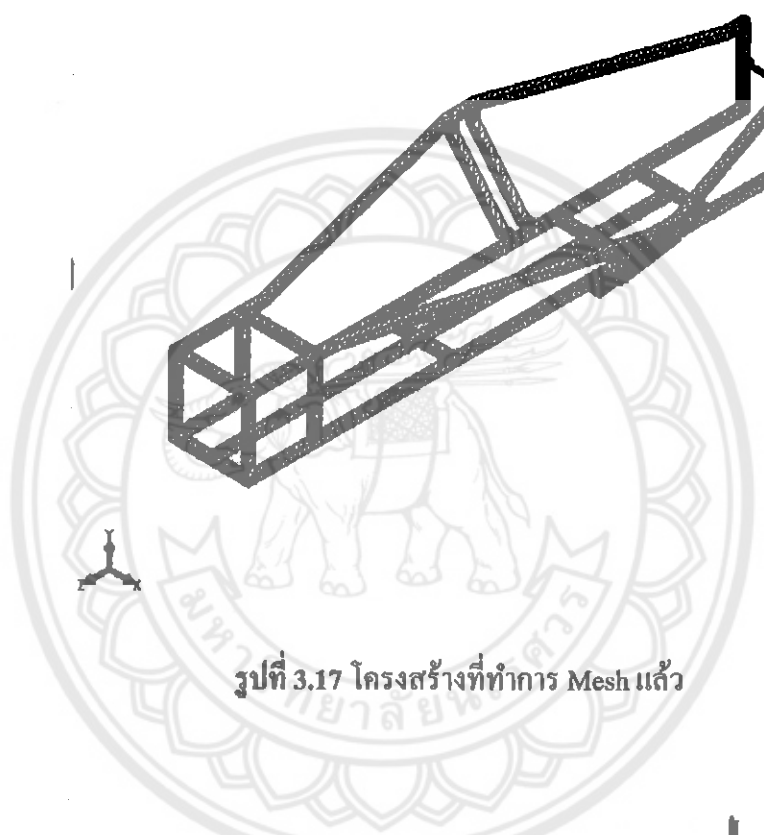
ใช้คำสั่ง External Load/Force ซึ่งทำการกำหนดดังรูปที่ 3.16 โดยใช้แรงที่กำหนดตามตารางที่ 3.3



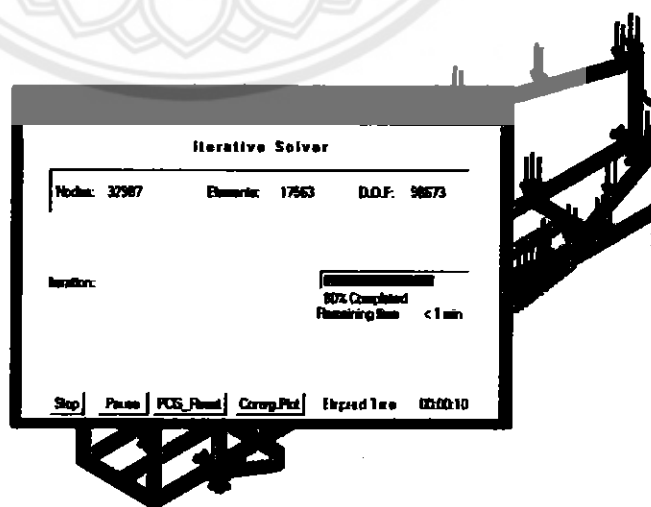
รูปที่ 3.16 การกำหนดแรงที่กระทำต่อโครงสร้าง

3.2.2.4 การเรียกใช้คำสั่ง Mesh and Run

เมื่อทำการใส่แรงที่มากระทำต่อโครงสร้างจนเสร็จสมบูรณ์แล้ว ขั้นตอนต่อไปก็คือการ Mesh and Run ซึ่งขั้นตอนนี้เป็นขั้นตอนในการวิเคราะห์ด้วยระบบคอมพิวเตอร์ ไฟไนต์เอลิเมนต์ ขั้นแรกก็คือคลิกขวาตรงคำสั่ง Mesh จากนั้นก็เดีอค Mesh and Run



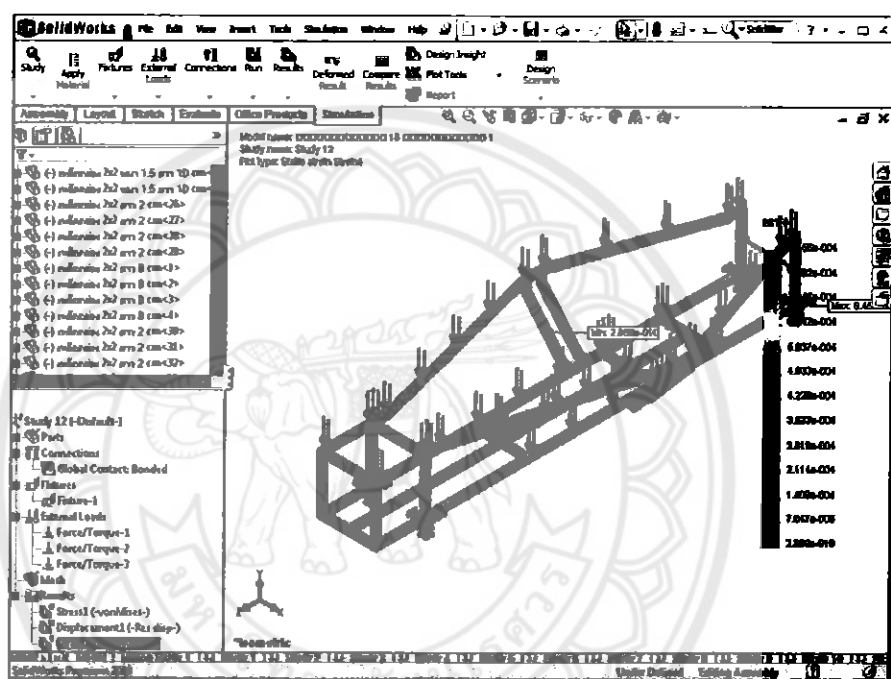
รูปที่ 3.17 โครงสร้างที่ทำการ Mesh แล้ว



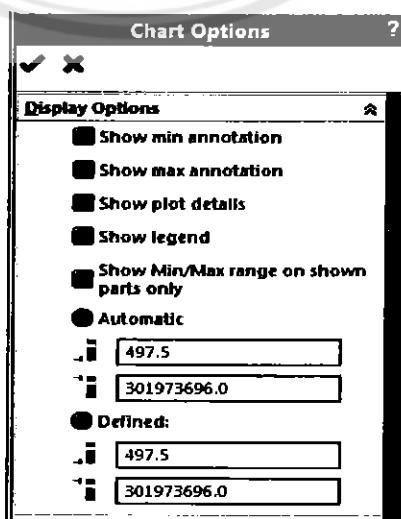
รูปที่ 3.18 ขั้นตอนระหว่างการ Mesh and Run

3.2.3 การแสดงผล

ขั้นตอนนี้จะเป็นการแสดงผลของการวิเคราะห์ ซึ่งสามารถเลือกให้แสดงผลของค่าต่างๆได้หลายรูปแบบ แต่ในการวิเคราะห์โครงสร้างของรถประยุคพลังงานเป็นการวิเคราะห์การรับน้ำหนักของโครงสร้าง โดยทำการวิเคราะห์หากความเสียหายที่เกิดขึ้นกับโครงสร้าง ซึ่งนำค่าความเค้นสูงสุด ความเห็นที่สุดและตำแหน่งที่เกิดความเห็นสูงสุดมาพิจารณา



รูปที่ 3.19 การแสดงผลที่ได้จากการวิเคราะห์



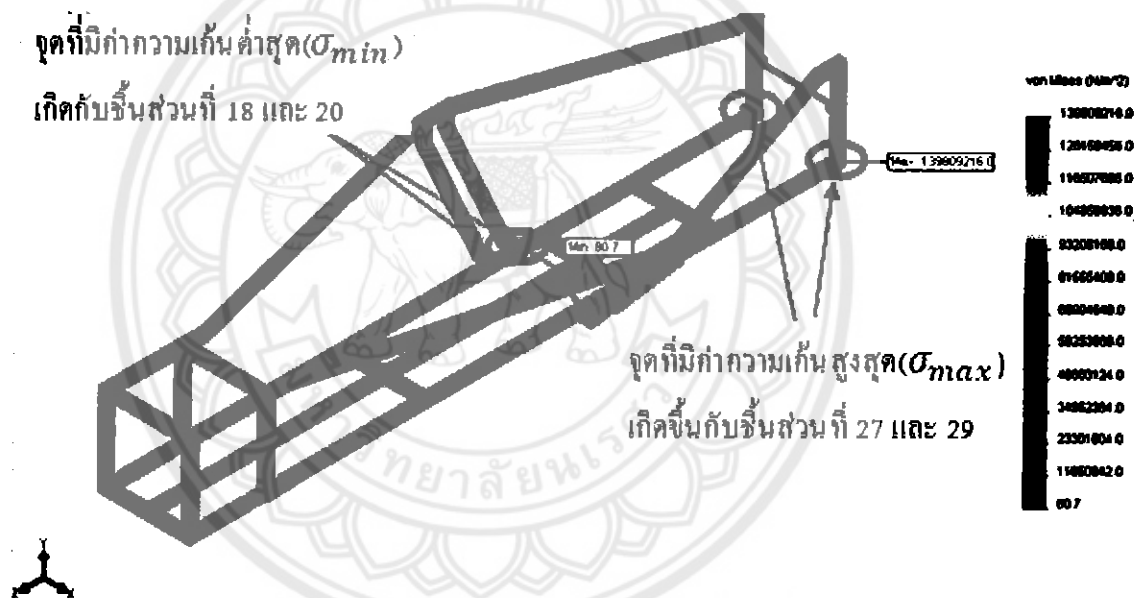
รูปที่ 3.20 การเลือกรูปแบบที่ใช้ในการแสดงผล

จากรูปที่ 3.20 เป็นการตั้งค่าเพื่อให้โปรแกรมแสดงค่า Max/Min โดยคลิกขวาที่ Result เลือกค่าที่ต้องการแสดงผล จากนั้นใช้คำสั่ง Chart Option แล้วทำการทำเครื่องหมายถูกตรงที่ต้องการแสดงค่า

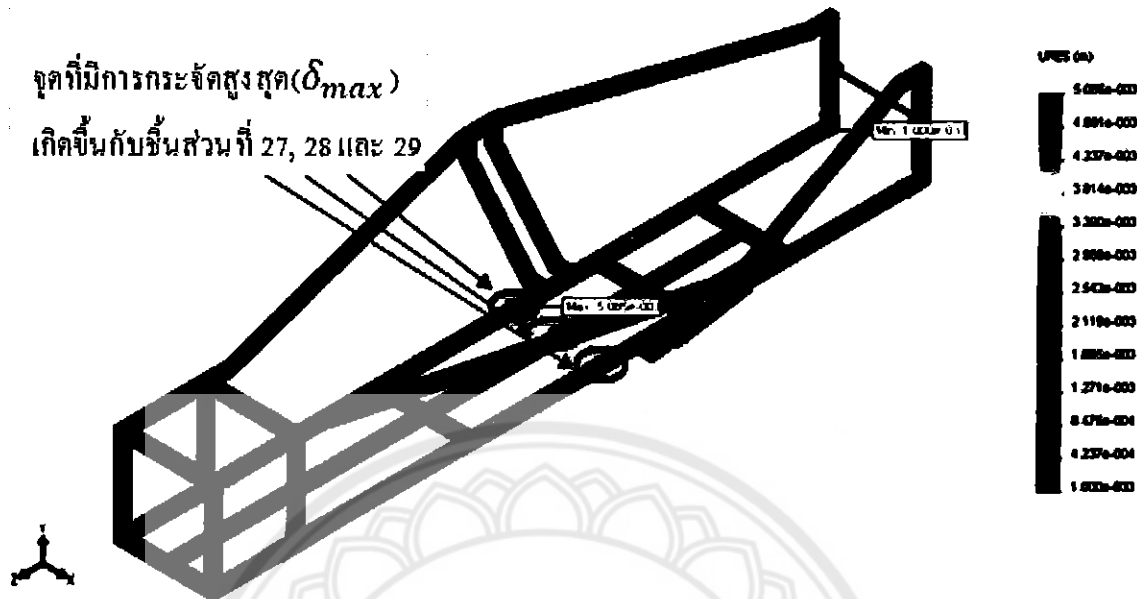
3.3 การวิเคราะห์ความแข็งแรงและการเสียรูปของโครงสร้างรถประหดพลังงาน

3.3.1 ผลการวิเคราะห์โครงสร้างรถประหดพลังงานด้วยโปรแกรม Solidworks โหนด Simulation

จากการนำเอาโปรแกรม Solidworks โหนด Simulation มาทำการวิเคราะห์โครงสร้างของรถประหดพลังงาน ทำให้ได้ผลของการวิเคราะห์ดังนี้

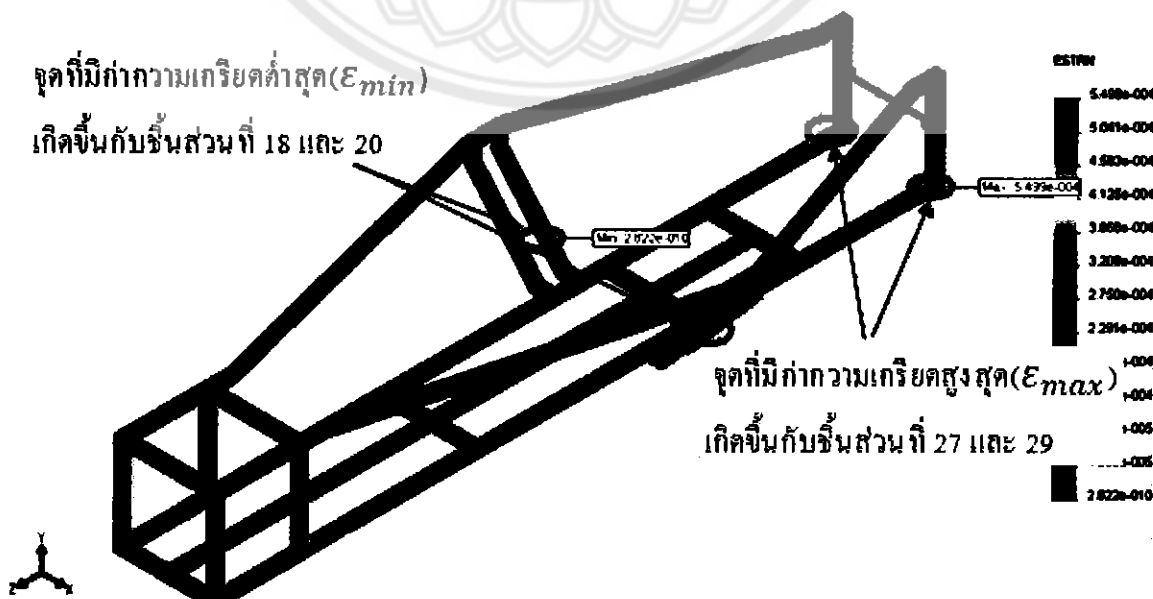


จากรูปที่ 3.21 เป็นผลการวิเคราะห์ค่าความเก็บภายในโครงสร้าง (Von Mises Stress) ซึ่งแสดงถึงความสามารถในการรับภาระน้ำหนักของโครงสร้าง โดยตำแหน่งที่มีความเก็บสูงสุด (σ_{max}) มีค่าเท่ากับ $1.389 \times 10^8 \text{ N/m}^2$ เกิดขึ้นกับชิ้นส่วนที่ 27 และ 29 บริเวณปลายของชิ้นส่วนซึ่งอยู่ด้านท้ายของโครงสร้าง ส่วนค่าความเก็บต่ำสุด (σ_{min}) มีค่าเท่ากับ 80.7 N/m^2 เกิดขึ้นกับชิ้นส่วนที่ 18 และ 20 บริเวณด้านล่างของชิ้นส่วนซึ่งอยู่บริเวณตรงกลางของโครงสร้าง



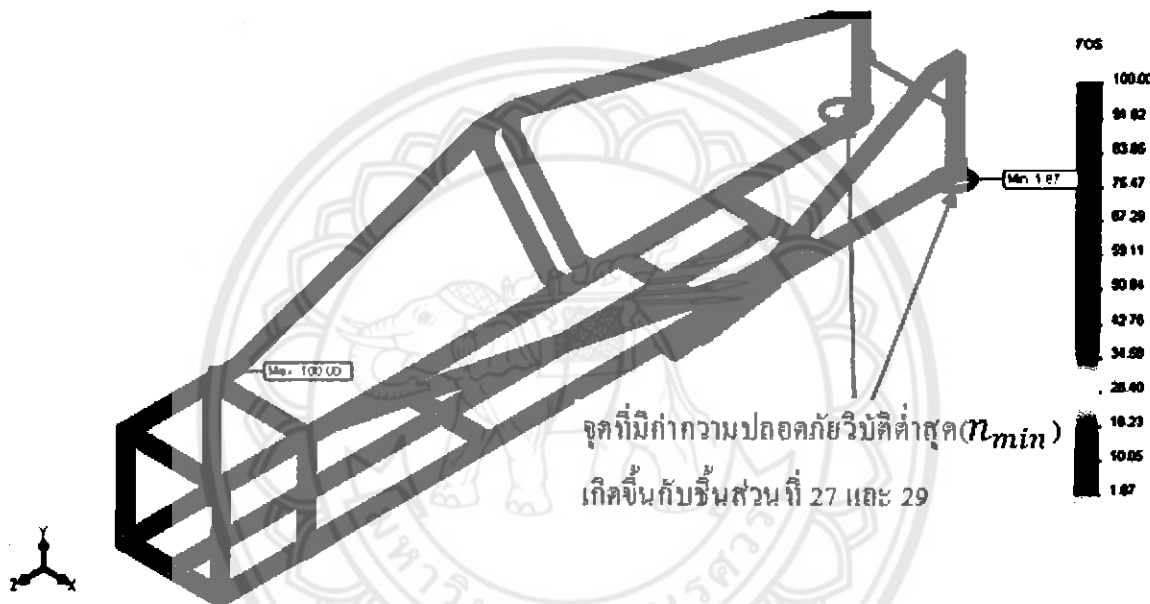
รูปที่ 3.22 ผลการวิเคราะห์การกระจัด (Displacement) ของโครงสร้างแบบที่ 1

จากรูปที่ 3.22 เป็นผลการวิเคราะห์ในส่วนของการกระจัดสูงสุด (Maximum Displacement) ซึ่งแสดงถึงระดับการ โถงตัวสูงสุดของชิ้นส่วนมีค่าเท่ากับ $5.085 \times 10^{-3} m$ โดยตำแหน่งที่มีการ โถงตัวสูงสุดเกิดขึ้นกับชิ้นส่วนที่ 27, 28 และ 29 บริเวณตรงกลางของชิ้นส่วน มีการกระจัดลงไปในทิศทางแกน Y ซึ่งเป็น เพราะบริเวณนี้รับภาระอันเนื่องมาจากการน้ำหนักของคนขับซึ่งเป็นภาระน้ำหนักที่มีค่ามากที่สุดต่อ โครงสร้าง จึงทำให้เกิดการ โถงตัวขึ้นแต่ระดับการ โถงตัวนี้ยังอยู่ในขอบเขตที่สามารถยอมรับได้คือมีค่าไม่เกิน $0.01 m$



รูปที่ 3.23 ผลการวิเคราะห์ความเครียด (Strain) ภายในโครงสร้างแบบที่ 1

จากรูปที่ 3.23 เป็นการแสดงผลการวิเคราะห์ในส่วนของความเครียดภายในโครงสร้าง โดยแสดงค่าความเครียดสูงสุด (ϵ_{max}) และความเครียดต่ำสุด (ϵ_{min}) โดยค่าความเครียดสูงสุด (ϵ_{max}) มีค่าเท่ากับ 5.499×10^{-4} เกิดขึ้นกับชิ้นส่วนที่ 27 และ 29 บริเวณตรงปลายของชิ้นส่วนซึ่งอยู่ด้านท้ายของโครงสร้าง ส่วนค่าความเครียดต่ำสุด (ϵ_{min}) มีค่าเท่ากับ 2.822×10^{-10} เกิดขึ้นกับชิ้นส่วนที่ 18 และ 20 ซึ่งอยู่บริเวณกลางของโครงสร้าง



รูปที่ 3.24 ผลการวิเคราะห์ค่าความปลดปล่อยวินิจฉัยต่ำสุด (Factor of Safety) ภายในโครงสร้างแบบที่ 1

จากรูปที่ 3.24 เป็นการแสดงผลการวิเคราะห์ค่าความปลดปล่อยวินิจฉัยต่ำสุด (Minimum Factor of Safety) ค่าความปลดปล่อยวินิจฉัยต่ำสุด (Minimum Factor of Safety) มีค่าเท่ากับ 1.87 โดยเกิดขึ้นกับชิ้นส่วนที่ 27 และ 29 บริเวณปลายของชิ้นส่วนซึ่งอยู่บริเวณด้านท้ายของโครงสร้าง

3.4 การทดลองปรับเปลี่ยนโครงสร้างของรถประทัยดพลังงาน

จากการวิเคราะห์โครงสร้างของรถประทัยดพลังงานพบว่าโครงสร้างมีการโถ่ตัวเล็กน้อย จึงได้มีการปรับเปลี่ยนโครงสร้างในบางชิ้นส่วนเพื่อที่ต้องการจะให้โครงสร้างมีประสิทธิภาพที่ดีขึ้น โดยตั้งวัตถุประสงค์ของการปรับเปลี่ยนโครงสร้างคือต้องการให้โครงสร้างมีความแข็งแรง สามารถรองรับภาระน้ำหนักที่มากกระทำกับโครงสร้างได้โดยไม่เกิดความเสียหาย ระยะการโถ่ตัวอยู่ในขอบเขตที่สามารถ

ขอนรับได้คือไม่เกิน 0.01 m มีน้ำหนักเบาลงและประทับค่าให้จ่าย โดยการทดสอบปรับเปลี่ยน โครงสร้าง ได้ทำการปรับเปลี่ยนอุปกรณ์ 3 ครั้งคือ โครงสร้างรถประทับคลังงานแบบที่ 2 แบบที่ 3 และแบบที่ 4 จาก โครงสร้างรถประทับคลังงานแบบที่ 1 ซึ่งผลการปรับเปลี่ยน โครงสร้างมีดังนี้

ในส่วนของการปรับเปลี่ยนขนาดเหล็กและโครงสร้าง ตามจุดประสงค์ โดยทำการวิเคราะห์โครงสร้างรถประยุคพลังงานเพื่อนำผลสรุปมาใช้เป็นต้นแบบในการปรับเปลี่ยนเก็บกับผลการวิเคราะห์โครงสร้างที่ได้จากการปรับเปลี่ยนขนาดของเหล็กซึ่งมีการทดลองปรับเปลี่ยนขนาดตามเบอร์ของเหล็กกล่องที่มีข่ายตามท้องตลาด และทำการวิเคราะห์โครงสร้างที่ได้ปรับเปลี่ยนขนาด เพื่อต้องการหาค่าความแข็งแรง ความปลดภัย น้ำหนักและค่าใช้จ่ายในการทำโครงสร้างแต่ละแบบ เพื่อให้ได้โครงสร้างรถใหม่ของรถประยุคพลังงาน ที่มีประสิทธิภาพดีที่สุด สามารถนำไปใช้ได้จริง ประยุคค่าใช้จ่ายในการทำโครงสร้าง และให้ได้โครงสร้างที่มีน้ำหนักเบา ในการปรับเปลี่ยนขนาด และการคำนวณน้ำหนัก ราคา โดยใช้ข้อมูลของเหล็กกล่องจากร้านขายเหล็กทั่วไปตามท้องตลาด ซึ่งได้ข้อมูลค้างตารางที่ 3.4

ตารางที่ 3.4 ข้อมูลเหล็กกล่องแต่ละขนาด (ความยาวสั้นละ 6 เมตร)

ขนาดเหล็ก(cm)	หนา(mm)	หน้าตัด(m^2)	น้ำหนัก(kg /เส้น)	ราคา(บาท/เส้น)
2x2	1.2	1.71×10^{-4}	3.8	107
2x2	1.5	1.91×10^{-4}	4.3	132

จากครุฑะไก่

เหล็กกล่องขนาด $2x2\ cm$ หนา $1.2\ mm$ มีน้ำหนักเท่ากับ $0.63\ kg/m$ ราคาเท่ากับ $17.83\ บาท/เมตร$
เหล็กกล่องขนาด $2x2\ cm$ หนา $1.5\ mm$ มีน้ำหนักเท่ากับ $0.71\ kg/m$ ราคาเท่ากับ $22\ บาท/เมตร$

3.4.1 การทดสอบปรับเปลี่ยนโครงสร้างครั้งที่ 1

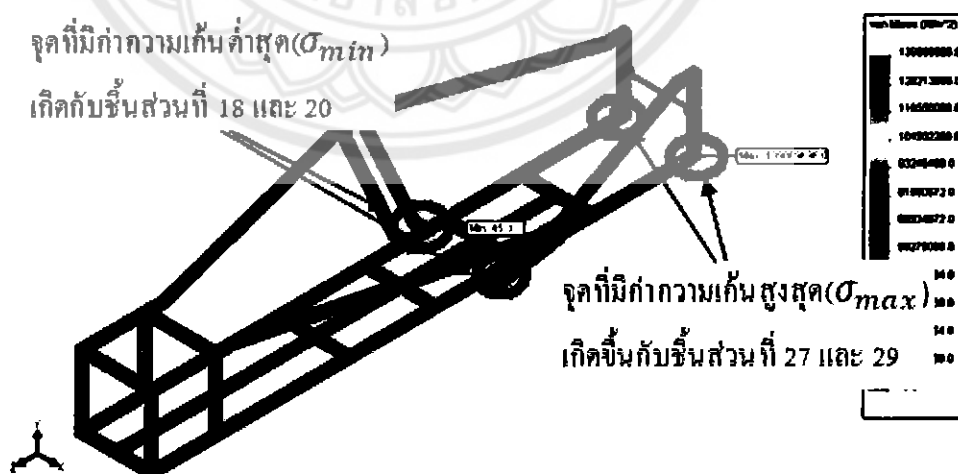
เมื่อได้ทำการวิเคราะห์โครงสร้างรถประทับพลังงานคันด้านบน พบว่าชิ้นส่วนเหล็กกล่องส่วนที่รับน้ำหนักของคนขับมีการโกร่งตัว ซึ่งค่าการกระจัดสูงสุด (Maximum Displacement) มีค่าเท่ากับ $5.085 \times 10^{-3} m$ การปรับเปลี่ยนครั้งนี้มีวัตถุประสงค์ว่าถ้าเสริมชิ้นส่วนเข้าไปรองรับภาระน้ำหนักอันเนื่องมาจากการขับแล้วจะทำให้ระบบการโกร่งตัวมีค่าน้อยลง ได้เท่าไร ค่าความปลดออกบัญชีสูงสุดขึ้นหรือไม่ จึงได้ทำการเสริมเหล็กกล่องขนาด $2x2 cm$ หนา $1.5 mm$ ยาว $9 cm$ สองชิ้น ลงไปบริเวณที่รองรับน้ำหนักของคนขับในแนววาง จะเห็นได้ว่ามีน้ำหนักเพิ่มขึ้น 0.13 กิโลกรัม ราคาเพิ่มขึ้น 3.96 บาท แต่ค่าความปลดออกบัญชังและค่าความเก็บสูงสุดยังคงเท่าเดิมและมีการกระจัดสูงสุดลดลงเพียงเล็กน้อยมาก โดยค่าความเก็บสูงสุดเกิดขึ้นกับ

ชิ้นส่วนที่ 27 และ 29 บริเวณด้านท้ายของชิ้นส่วน ส่วนการกระเข้าสูงสุดเกิดขึ้นกับชิ้นส่วนที่ 27, 28 และ 29 บริเวณตรงกลางของชิ้นส่วนจากการปรับเปลี่ยนครั้งนี้ทำให้ได้โครงสร้างแบบที่ 2



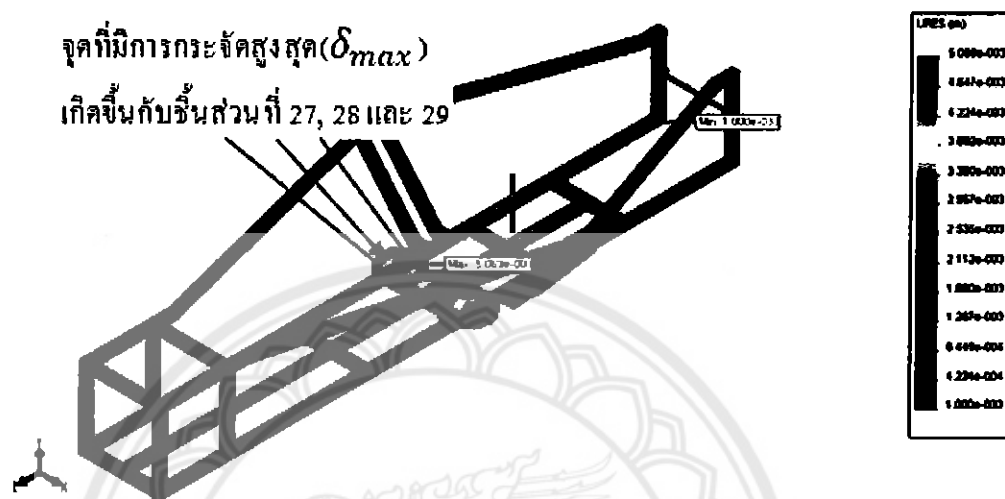
รูปที่ 3.25 โครงสร้างแบบที่ 2 ที่ได้จากการปรับเปลี่ยน โครงสร้างคันด้านแบบ (แบบที่ 1)

3.4.2 ผลการวิเคราะห์โครงสร้างแบบที่ 2



รูปที่ 3.26 ผลการวิเคราะห์แสดงค่าความเด่น (Von Mises Stress) ของโครงสร้างแบบที่ 2

จากรูปที่ 3.26 ได้ค่าความเห็นสูงสุด (σ_{max}) เท่ากับ $1.399 \times 10^8 N/m^2$ และค่าความเห็นต่ำสุด (σ_{min}) เท่ากับ $45.3 N/m^2$



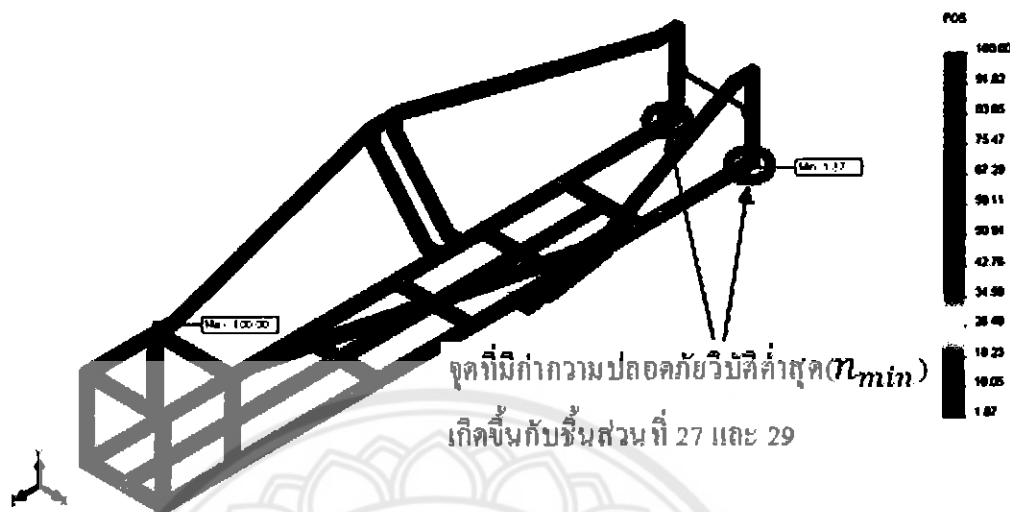
รูปที่ 3.27 ผลการวิเคราะห์แสดงค่าการกระจัด (Displacement) ของโครงสร้างแบบที่ 2

จากรูปที่ 3.27 ได้ค่าการกระจัดสูงสุด (δ_{max}) เท่ากับ $5.069 \times 10^{-3} m$



รูปที่ 3.28 ผลการวิเคราะห์แสดงค่าความเครียด (Strain) ของโครงสร้างแบบที่ 2

จากรูปที่ 3.28 ได้ค่าความเครียดสูงสุด (ε_{max}) เท่ากับ 5.502×10^{-4} และความเครียดต่ำสุด (ε_{min}) เท่ากับ 1.729×10^{-10}

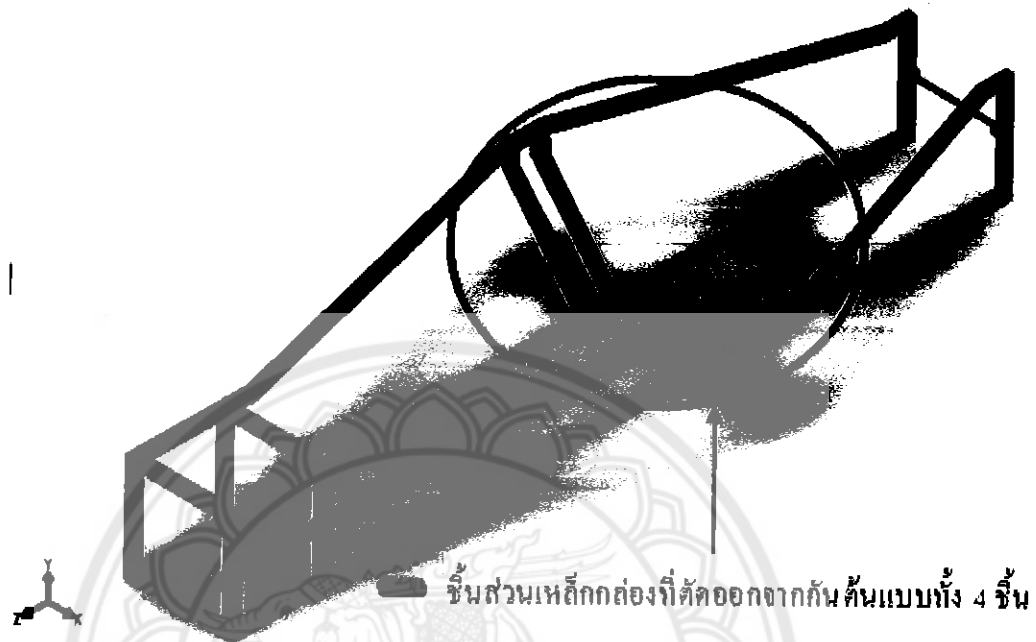


รูปที่ 3.29 ผลการวิเคราะห์แสดงค่าความปลอดภัย (Factor of Safety) ของโครงสร้างแบบที่ 2

จากรูปที่ 3.29 ได้ค่าความปลอดภัยต่ำสุด (Minimum Factor of Safety) เท่ากับ 1.87

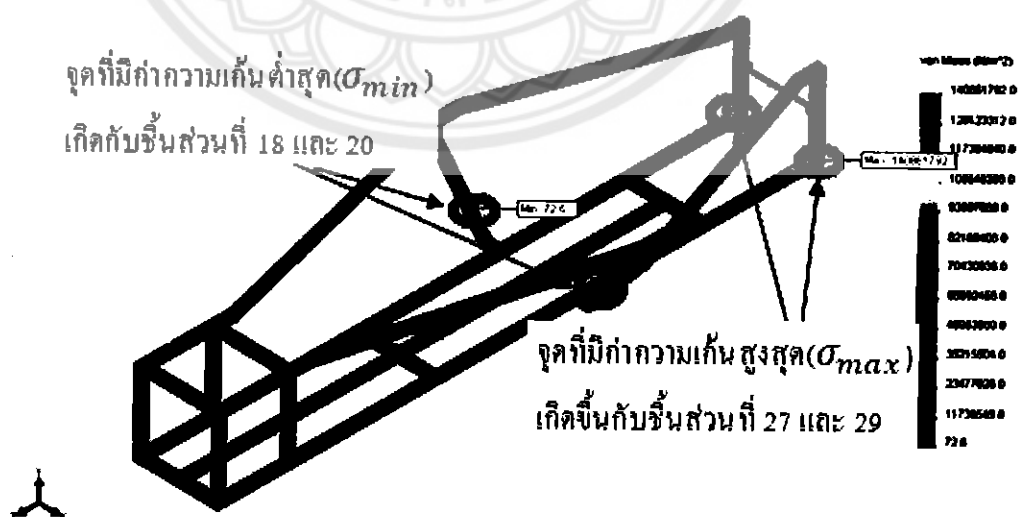
3.4.3 การทดลองปรับเปลี่ยนโครงสร้างครั้งที่ 2

เมื่อทำการปรับเปลี่ยนโครงสร้างแบบที่ 1 ไปแล้ว งานนี้นำไปวิเคราะห์พบว่าแม้จะเสริมชิ้นส่วนเข้าไป 2 ชิ้น ตรงบริเวณที่รับน้ำหนักของคนขับ แต่ค่าระยะการกระจัดสูงสุด (Maximum Displacement) ลดลงไปน้อยมากและค่าความปลอดภัยบีบตัวสูดที่คิดขึ้นส่วนบางชิ้นออกเพื่อลดน้ำหนักของโครงสร้าง และประหดค่าใช้จ่ายและต้องการทราบผลหลังจากที่ทำการตัดชิ้นส่วนบางชิ้นออกไปแล้ว โครงสร้างยังสามารถรองรับภาระน้ำหนักที่มากกระทำต่อโครงสร้างได้หรือไม่ ระบบการโถงตัวเพิ่มมากขึ้นเท่าไร ค่าความปลอดภัยบีบตัวสูดลงไปหรือไม่ จึงได้ทำการการตัดเอาชิ้นส่วนเหลือกกล่องชิ้นส่วนที่ 18, 20, 30 และ 31 ออกไป ได้โครงสร้างลดประหดพลังงานแบบที่ 3 ขึ้นมา จะเห็นได้ว่าน้ำหนักลดลงไปจากโครงสร้างกันตันแบบ 0.57 กิโลกรัม ราคาลดลงจากเดิม 16.26 บาท มีค่าความเสื่อมสูงสุดและการกระจัดสูงสุดเพิ่มขึ้นเล็กน้อย และค่าความปลอดภัยลดลงมาเหลือ 1.86 โดยค่าความเสื่อมสูงสุดเกิดขึ้นกับชิ้นส่วนที่ 27 และ 29 บริเวณด้านท้ายของชิ้นส่วน ส่วนการกระจัดสูงสุดเกิดขึ้นกับชิ้นส่วนที่ 27, 28 และ 29 บริเวณตรงกลางของชิ้นส่วน จากการปรับเปลี่ยนครั้งนี้ทำให้ได้โครงสร้างแบบที่ 3



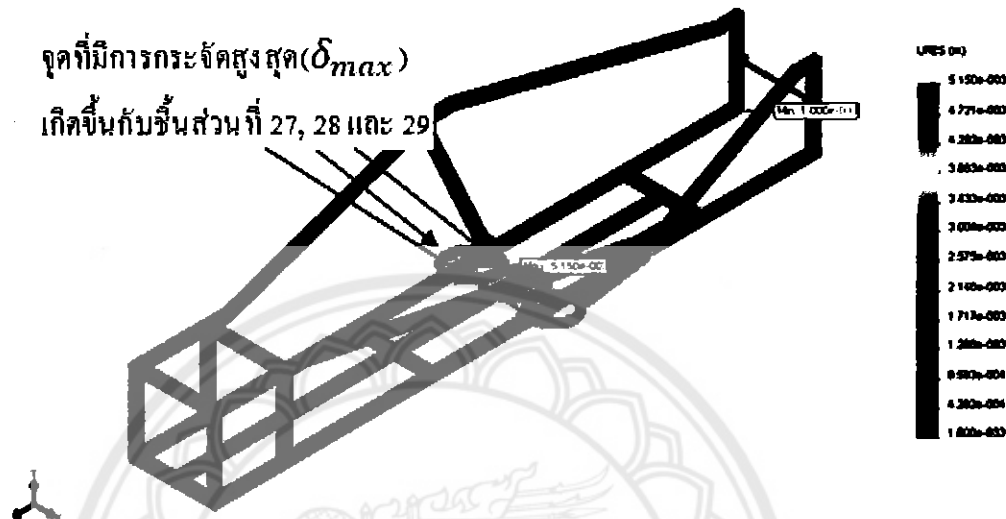
รูปที่ 3.30 โครงสร้างแบบที่ 3 ที่ได้จากการปรับเปลี่ยนโครงสร้างกันต้นแบบ (แบบที่ 1)

3.4.4 ผลการวิเคราะห์โครงสร้างแบบที่ 3



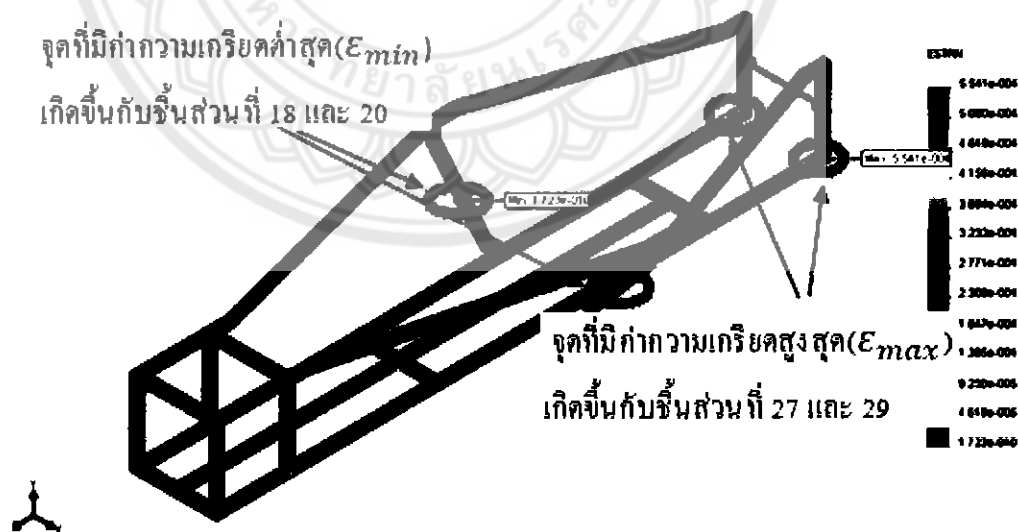
รูปที่ 3.31 ผลการวิเคราะห์แสดงค่าความเกิน (Von Mises Stress) ของโครงสร้างแบบที่ 3

จากรูปที่ 3.31 ได้ค่าความเห็นสูงสุด (σ_{max}) เท่ากับ $1.408 \times 10^8 N/m^2$ และค่าความเห็นต่ำสุด (σ_{min}) เท่ากับ $72.6 N/m^2$



รูปที่ 3.32 ผลการวิเคราะห์แสดงค่าการกระจัด (Displacement) ของโครงสร้างแบบที่ 3

จากรูปที่ 3.32 ได้ค่าการกระชับสูงสุด (δ_{max}) เท่ากับ $5.150 \times 10^{-3} m$



รูปที่ 3.33 ผลการวิเคราะห์แสดงค่าความเกรี่ยบ (Strain) ของโครงสร้างแบบที่ 3

จากรูปที่ 3.33 ได้ค่าความเกรี่ยบสูงสุด (ϵ_{max}) เท่ากับ 5.541×10^{-4} และความเกรี่ยบต่ำสุด (ϵ_{min}) เท่ากับ 1.723×10^{-10}



รูปที่ 3.34 ผลการวิเคราะห์แสดงค่าความปลอดภัย (Factor of Safety) ของโครงสร้างแบบที่ 3

จากรูปที่ 3.34 ได้ค่าความปลอดภัยต่ำสุด (Minimum Factor of Safety) เท่ากับ 1.86

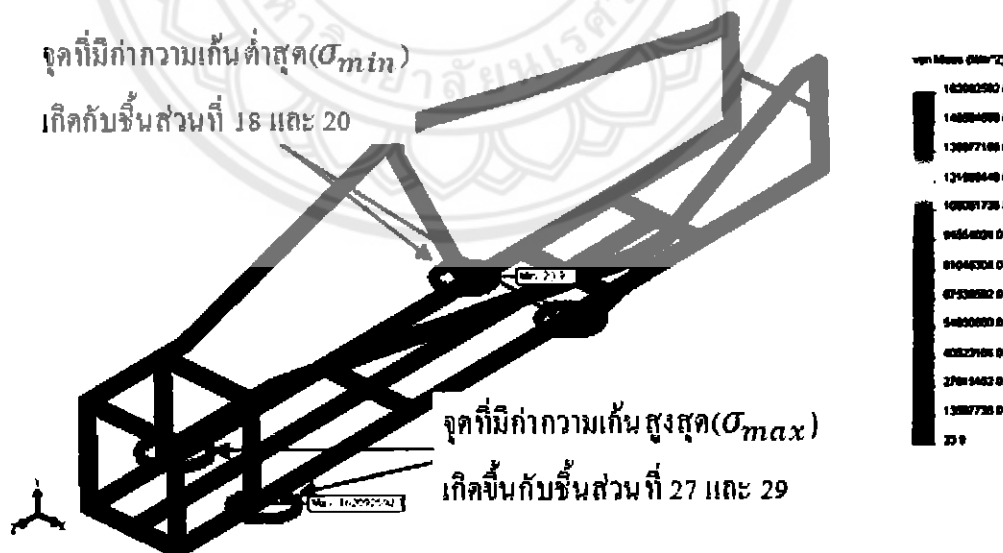
3.4.5 การทดลองปรับเปลี่ยนโครงสร้างครั้งที่ 3

เมื่อทราบผลการวิเคราะห์โครงสร้างแบบที่ 3 แล้วพบว่าการตัดชิ้นส่วนออกไปบางชิ้น โครงสร้างขังสามารถรับภาระน้ำหนักที่มากกว่าทำต่อโครงสร้างได้ มีระบบการโถงตัวเพิ่มขึ้นจากเดิมน้อยมาก โดยข้อบ่งชี้ของเขตที่สามารถยอมรับได้และค่าความปลอดภัยติดคลึงมาเพียง 0.01 ดังนั้นวัตถุประสงค์ของ การปรับเปลี่ยนโครงสร้างในครั้งนี้คือต้องการลดน้ำหนักและราคาค่าใช้จ่ายในการสร้าง โครงสร้างรถ ประทับคพลังงานการทดลองปรับเปลี่ยนโครงสร้างครั้งที่ 3 นี้ ได้นำโครงสร้างแบบเริ่มแรกมาปรับปรุง แก้ไข แต่ตัดชิ้นส่วนที่ 18 และ 20 ออกไป และ โครงสร้างใช้เหล็กกล่องขนาด $2 \times 2 \text{ cm}$ หนา 1.2 mm ทั้งคัน ทำให้ได้โครงสร้างแบบที่ 4 จะเห็นได้ว่าน้ำหนักลดลงไปจากโครงสร้างคันต้นแบบ 0.92 กิโลกรัม ราคา ลดลงจากเดิม 35.49 บาท เมื่อจากได้มีการปรับเปลี่ยนความหนาของเหล็กโครงสร้างให้มีความหนาเท่ากัน หมดทุกชิ้นส่วนคือ 1.2 mm ต่างจากโครงสร้างแบบที่ 1 (โครงสร้างเดิม) แบบที่ 2 และแบบที่ 3 ซึ่งชิ้นส่วน ค้านล่างทุกชิ้นจะมีความหนา 1.5 mm และชิ้นส่วนค้านบนทุกชิ้นหนา 1.2 mm โครงสร้างแบบที่ 4 นี้จึงมีค่า ความเส้นสูงสุดและการกระชับสูงสุดมากกว่าทุกโครงสร้าง(แต่นากกว่าเพียงเล็กน้อยมาก) และมีค่าความ ปลอดภัยลดลงเหลือ 1.75 โดยค่าความเส้นสูงสุดเกิดขึ้นกับชิ้นส่วนที่ 27 และ 29 บริเวณค้านหน้าของ ชิ้นส่วน ส่วนการกระชับสูงสุดเกิดขึ้นกับชิ้นส่วนที่ 27, 28 และ 29 บริเวณค้านหน้าของ ชิ้นส่วน



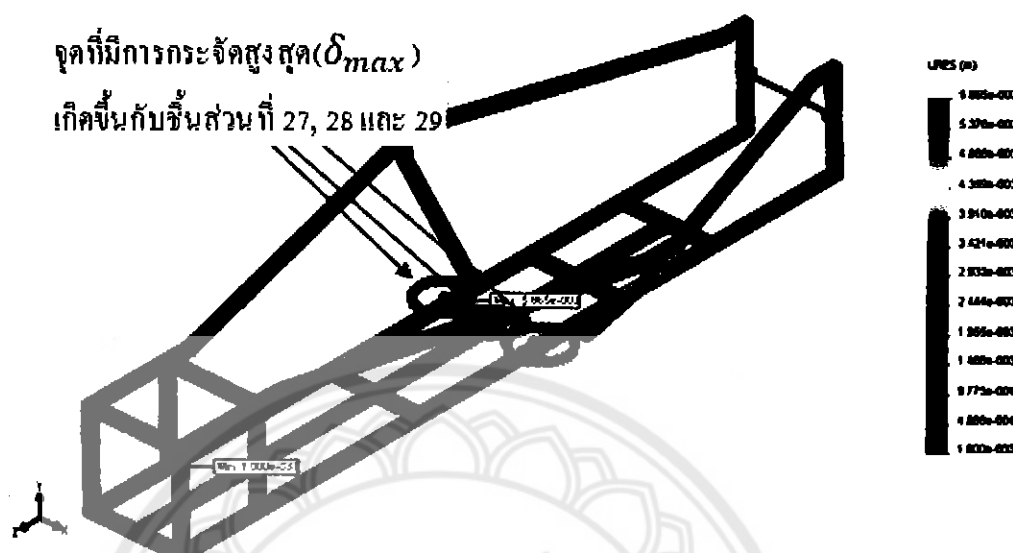
รูปที่ 3.35 โครงสร้างแบบที่ 4 ที่ได้จากการปรับเปลี่ยนโครงสร้างกันดันแบบ (แบบที่ 1)

3.4.6 ผลการวิเคราะห์โครงสร้างแบบที่ 4



รูปที่ 3.36 ผลการวิเคราะห์แสดงค่าความเก็บ (Von Mises Stress) ของโครงสร้างแบบที่ 4

จากรูปที่ 3.36 ได้ค่าความเก็บสูงสุด (σ_{max}) เท่ากับ $1.620 \times 10^8 N/m^2$ และค่าความเก็บค่าสุด (σ_{min}) เท่ากับ $23.9 N/m^2$



รูปที่ 3.37 ผลการวิเคราะห์แสดงค่าการกระจัด (Displacement) ของโครงสร้างแบบที่ 4

จากรูปที่ 3.37 ได้ค่าการกระชับสูงสุด (δ_{\max}) เท่ากับ $5.865 \times 10^{-3} m$



รูปที่ 3.38 ผลการวิเคราะห์แสดงค่าความเครียด (Strain) ของโครงสร้างแบบที่ 4

จากรูปที่ 3.38 ได้ค่าความเครียดสูงสุด (ε_{\max}) เท่ากับ 5.935×10^{-4} และความเครียดต่ำสุด (ε_{\min}) เท่ากับ 6.663×10^{-11}



รูปที่ 3.39 ผลการวิเคราะห์แสดงค่าความปลอดภัย (Factor of Safety) ของโครงสร้างแบบที่ 4

จากรูปที่ 3.39 ได้ค่าความปลอดภัยต่ำสุด (Minimum Factor of Safety) เท่ากับ 1.75

3.5 สรุปผลการปรับเปลี่ยนโครงสร้างรถประหดคพลังงาน

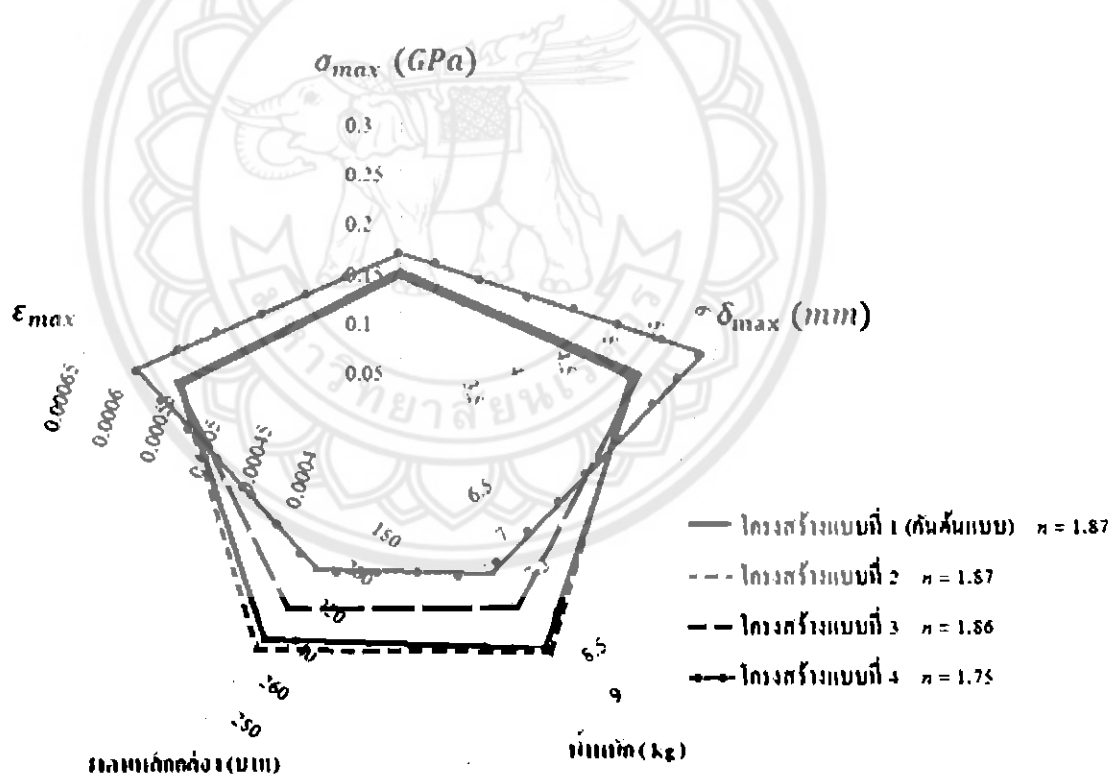
จากการทดลองปรับเปลี่ยนโครงสร้างรถประหดคพลังงานได้ผลสรุปดังนี้

ตารางที่ 3.5 สรุปผลการปรับเปลี่ยนโครงสร้างรถประหดคพลังงาน

โครงสร้าง	σ_{max} (N/m^2)	σ_{min} (N/m^2)	ε_{max}	ε_{min}	δ_{max} (m)	n
โครงสร้างเดิม (แบบที่ 1)	1.398×10^8	80.7	5.499×10^{-4}	2.822×10^{-10}	5.085×10^{-3}	1.87
แบบที่ 2	1.398×10^8	45.3	5.502×10^{-4}	1.729×10^{-10}	5.069×10^{-3}	1.87
แบบที่ 3	1.408×10^8	72.6	5.541×10^{-4}	1.723×10^{-10}	5.150×10^{-3}	1.86
แบบที่ 4	1.620×10^8	23.9	5.935×10^{-4}	6.663×10^{-11}	5.865×10^{-3}	1.75

ตารางที่ 3.6 สรุปผลน้ำหนักและราคาของโครงสร้างแต่ละแบบ

โครงสร้าง	ขนาดเหล็กกล่อง						น้ำหนัก รวม (kg)	ราคากล่อง รวม (บาท)		
	2x2 cm หนา 1.2 mm			2x2 cm หนา 1.5 mm						
	ยาว (m)	น้ำหนัก (kg)	ราคา (บาท)	ยาว (m)	น้ำหนัก (kg)	ราคา (บาท)				
แบบที่ 1	6.51	4.10	116.07	5.56	3.98	122.32	8.08	238.39		
แบบที่ 2	6.51	4.10	116.07	5.74	4.11	126.28	8.21	245.35		
แบบที่ 3	5.82	3.66	103.77	5.38	3.85	118.36	7.51	222.13		
แบบที่ 4	11.38	7.16	202.90	-	-	-	7.16	202.90		



รูปที่ 3.40 สรุปผลของโครงสร้างทั้ง 4 แบบ

หมายเหตุ : น้ำหนักของโครงสร้างไม่ได้รวมน้ำหนักของลวดเชื่อมหรือขึ้นส่วนประกอบอื่นๆ ที่เส้นขอเข้าไปด้วย ในส่วนของราคาค่าใช้จ่ายเป็นเพียงราคาของเหล็กกล่องเท่านั้น ไม่ได้รวมค่าใช้จ่ายอื่นๆ เข้าไปด้วย

จากผลการทดลองปรับเปลี่ยน โครงสร้างของรถประหัดพลังงานทั้ง 3 ครั้ง ทำให้สามารถสรุปได้ว่า โครงสร้างรถประหัดพลังงานแบบที่ 4 มีความเหมาะสมและสามารถนำไปใช้งานจริงได้ดีที่สุด เนื่องจาก มีน้ำหนักเบาที่สุด ราคาถูกที่สุด เหมาะสมกับการแข่งขันรถประหัดพลังงาน เพราะว่าบึงน้ำหนักน้อยลง เท่าไรก็จะสามารถประหัดพลังงานเชือเพลิงได้ แต่ทั้งนี้ก็ต้องคำนึงถึงความปลอดภัยของโครงสร้างว่า สามารถรองรับภาระอันเนื่องจากน้ำหนักที่กระทำต่อ โครงสร้างได้หรือไม่ ถึงแม้ว่า โครงสร้างแบบที่ 4 จะมี ค่าความเเก่นสูงสุด ความเครียดสูงสุด การกระชากสูงสุด และค่าความปลอดภัยวินิจฉัยต่ำที่สุดก็ตามแต่ก็สามารถ รองรับภาระน้ำหนักที่กระทำต่อ โครงสร้าง ได้โดยไม่เกิดความเสียหาย เนื่องจากการวินิจฉัยและการ ก่อตัว สูงสุดก็อยู่ในขอบเขตที่สามารถอนุรับได้ก็ไม่เกิน 0.01 m



รูปที่ 3.41 ขนาดของเหล็กกล่องที่ใช้ทำโครงสร้างแบบที่ 1 (คันดันแบบ)

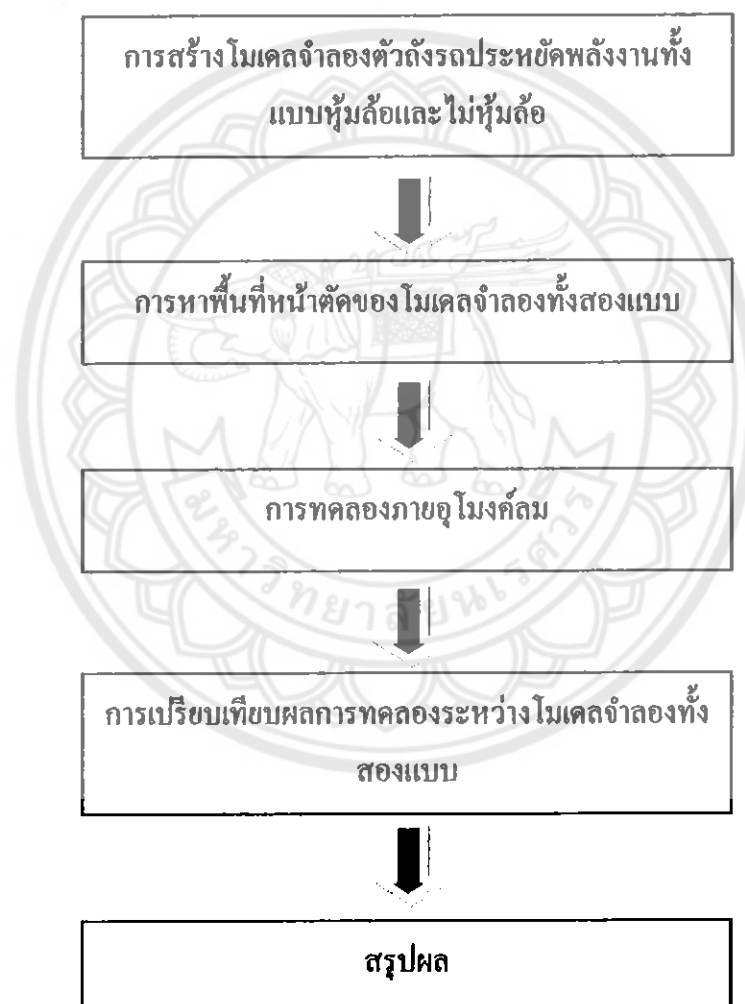


รูปที่ 3.42 ขนาดของเหล็กกล่องที่ใช้ทำโครงสร้างแบบที่ 4

บทที่ 4

การวิเคราะห์ด้านอาคารพลศาสตร์

การวิเคราะห์ด้านอาคารพลศาสตร์ของรถประยุคพลังงานมีขั้นตอนดังนี้



รูปที่ 4.1 ขั้นตอนการคำนวณในส่วนของตัวถังรถประยุคพลังงาน

จากรูปที่ 4.1 สามารถแสดงรายละเอียดของการคำนวณในแต่ละขั้นตอนได้ดังนี้

4.1 การสร้างโน้มเคลื่อนจำลองตัวถังรถประทัดพลังงานทั้งแบบหุ้มล้อและไม่หุ้มล้อ

4.1.1 ปั้นดินน้ำมันเพื่อให้ได้แบบจำลองรถประทัดพลังงานที่มีขนาดบ่อส่วน 17:1 ทั้งแบบหุ้มล้อและไม่หุ้มล้อ



รูปที่ 4.2 แบบจำลองรถประทัดพลังงานที่ทำจากดินน้ำมันทั้ง 2 แบบ

4.1.2 นำแบบจำลองรถประทัดพลังงานทั้งสองแบบไปเก็บไว้ในที่ที่มีอุณหภูมิต่ำเพื่อให้แบบจำลองมีความแข็งแรงและไม่เสียรูปทรง จากนั้นเตรียมดินน้ำมันในปริมาณที่มากกว่าแบบจำลองรถประทัดพลังงาน ได้ไปตากแดด เพื่อให้ดินน้ำมันอ่อนตัว

4.1.3 นำดินน้ำมันที่อ่อนตัวมาหุ้มแบบจำลองรถประทัดพลังงานให้ทั่วและแบบสนิท

4.1.4 ปล่อยให้ดินน้ำมันเริ่มแข็งตัวที่อุณหภูมิห้อง จากนั้นทำการแกะเอาแบบจำลองรถประทัดพลังงานออกมาก็จะได้แบบจำลองสำหรับทดลองปืนปลาสเตอร์

4.1.5 ผสมปืนปลาสเตอร์ในอัตราส่วนที่พอดีกับน้ำไปเทลงในแม่แบบที่ทำจากดินน้ำมัน

4.1.6 ปล่อยให้ปืนปลาสเตอร์แห้งสนิทแล้วทำการแกะเอาแม่แบบออกจากปืนปลาสเตอร์ ก็จะได้แบบจำลองรถประทัดพลังงานที่ทำจากปืนปลาสเตอร์

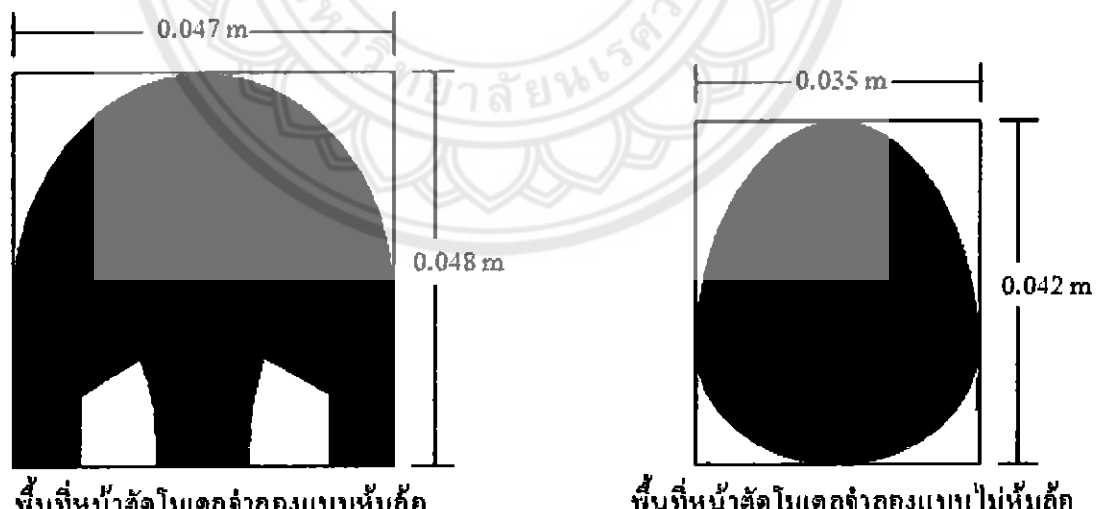
4.1.7 นำโน้มเคลื่อนจำลองที่ได้ไปทำการขัดผิวและตกแต่งให้เรียบเนียน

4.1.8 นำล้อและก้านเพลามาติดเป็นอันเสร็จสมบูรณ์



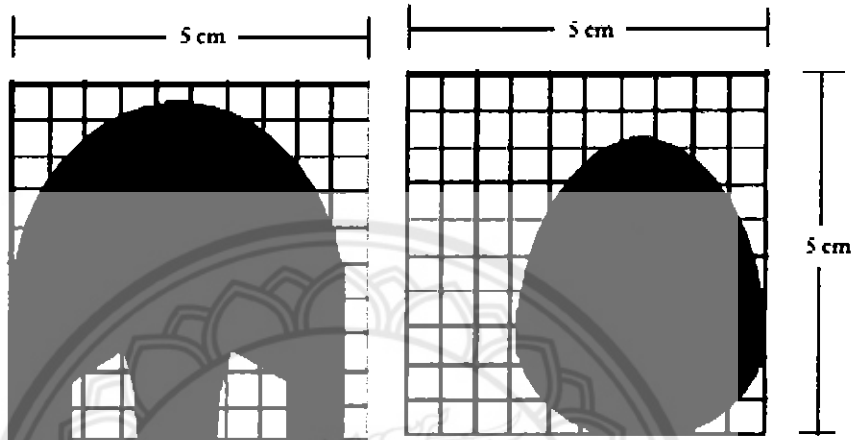
รูปที่ 4.3 โน้ตเดลจำลองรถประทับดินทั้งสองแบบที่เสริมสนับนูรย์

4.2 การหาพื้นที่หน้าตัดของโน้ตเดลจำลองทั้งสองแบบ



รูปที่ 4.4 พื้นที่หน้าตัดของโน้ตเดลจำลองทั้งสองแบบ

นาฬีนที่หน้าตัดของโน้ดเคลทั้งสองแบบมาทำการหาพื้นที่โดยการสร้างตารางสี่เหลี่ยมจัตุรัสขนาด $0.05 \times 0.05 m$ จากนั้นแบ่งตารางเป็นช่องสี่เหลี่ยมจัตุรัส 100 ช่อง แต่ละช่องมีขนาด $0.005 \times 0.005 m$ ดังรูปที่ 4.5



รูปที่ 4.5 ตารางสี่เหลี่ยมจัตุรัสขนาด $0.05 \times 0.05 m$ ที่แบ่งเป็นช่องสี่เหลี่ยมจัตุรัสขนาด $0.005 \times 0.005 m$ จำนวน 100 ช่อง

พื้นที่ของตารางสี่เหลี่ยมจัตุรัสขนาด $0.05 \times 0.05 m$ มีค่าเท่ากับ $0.0025 m^2$ จากนั้นทำการหาพื้นที่หน้าตัดของโน้ดจำลองทั้งสองแบบจะได้ว่า

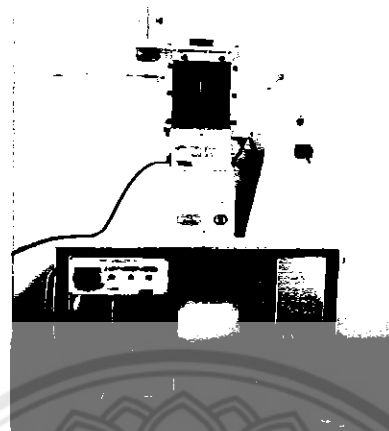
โน้ดจำลองแบบหุ้มล้อมีพื้นหน้าตัดเท่ากับ $72\% \text{ ของพื้นที่ } 0.0025 m^2$
ดังนั้นพื้นที่หน้าตัดของโน้ดจำลองแบบหุ้มล้อมีพื้นที่ $0.72 \times 0.0025 = 0.0018 m^2$

โน้ดจำลองแบบไม่หุ้มล้อมีพื้นที่หน้าตัดเท่ากับ $44\% \text{ ของพื้นที่ } 0.0025 m^2$
ดังนั้นพื้นที่หน้าตัดของโน้ดจำลองแบบไม่หุ้มล้อมีพื้นที่ $0.44 \times 0.0025 = 0.0011 m^2$

4.3 การทดลองภัยอุโนงค์ลม

เป็นการทดลองเพื่อใช้หาค่าความดันค่าน้ำหน่วงความดัน Stagnation และความดันสถิติกเพื่อแปลงจากค่าความดันต่างที่ได้ให้เป็นค่าความเร็ว ณ ตำแหน่งนั้นๆ โดยอาศัยหลักการของแบบรูปแบบที่เข้ามาช่วย

4.3.1 นำโน้ดจำลองรถประทับพลังงานทั้งสองแบบคือแบบหุ้มล้อมและไม่หุ้มล้อเข้าไปในอุโนงค์ลมที่ลักษณะ วัดค่าความดัน Stagnation ที่ด้านหน้ารถโดยใช้ Pitot Tube ทำการวัดแบบละ 3 ครั้ง จากนั้นนำค่าที่อ่านได้จากเกจวัดนำมาหาค่าเฉลี่ย

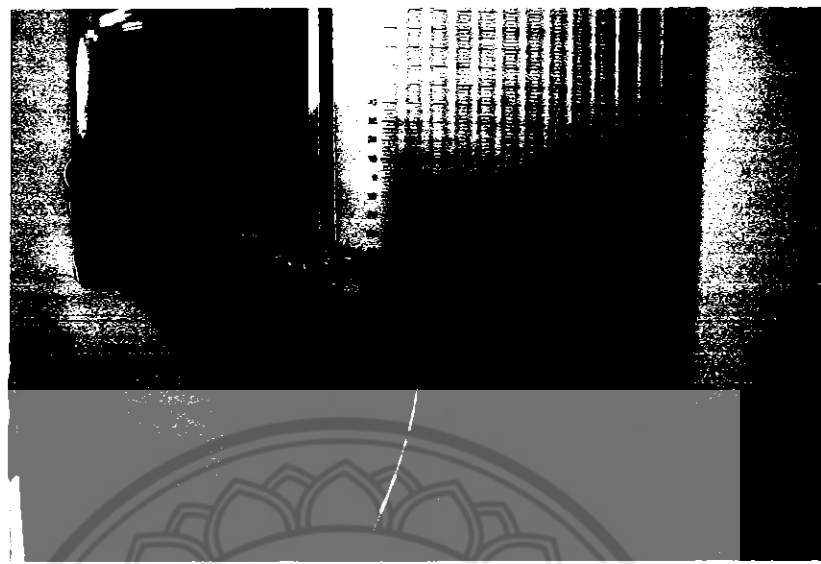


รูปที่ 4.6 ชุดอุปกรณ์ที่ใช้ทำการทดลอง



รูปที่ 4.7 การทดลองภาคในอุปกรณ์

4.3.2 ทำการข่าย Pitot Tube ไปไว้ที่ด้านหลังโนเดลจำลองรถประทับดังงาน วัดค่าความดันที่ด้านท้ายรถทั้งสองแนว แบบละ 3 ครั้ง จากนั้นนำค่าที่อ่านได้จากเกจวัดน้ำหนาค่าเฉลี่ย



รูปที่ 4.8 เกงที่ใช้อ่านค่าความดัน

4.3.3 นำค่าความดันต่างที่ได้มาใช้สูตรคำนวณโดยอาศัยความสัมพันธ์ของเบรนูลี มาช่วยหาค่าความเร็ว

4.4 การเปรียบเทียบผลการทดลองระหว่างโน้มเดลจำลองห้องสองแบบ

จากการที่ได้นำโน้มเดลจำลองของรถประทับด้วยแรงงานห้องทั้ง 2 แบบ คือ 1. ตัวถังแบบหุ้มล้อ 2. ตัวถังแบบไม่หุ้มล้อ ไปทำการทดสอบในอุโมงค์ลม โดยมีการบันทึกค่าความดันที่ด้านหน้าและด้านหลังของแบบจำลองรถประทับด้วยแรงงานห้องทั้ง 2 แบบ แบบละ 3 ครั้งเพื่อนำมาหาค่าเฉลี่ย ได้ค่าตามตารางดังนี้

ตารางที่ 4.1 ผลการทดลองในอุโมงค์ลม

โน้มเดลจำลอง	ความดันหน้ารถ (mmH_2o)			ความดันหลังรถ (mmH_2o)		
	ครั้งที่ 1	ครั้งที่ 2	ครั้งที่ 3	ครั้งที่ 1	ครั้งที่ 2	ครั้งที่ 3
ตัวถังแบบหุ้มล้อ	8	8	8	4.8	5	4.9
ตัวถังแบบไม่หุ้มล้อ	8	8	8	3.4	3.3	3.3

นำผลที่ได้มาหาค่าเฉลี่ยจะได้ว่า

ความดันด้านหน้ารถและหลังรถประยุคพลังงานแบบหุ้มล้อมีค่าเท่ากับ 8 และ 4.9 ตามลำดับ

ความดันด้านหน้ารถและหลังรถประยุคพลังงานแบบไม่หุ้มล้อมีค่าเท่ากับ 8 และ 3.33 ตามลำดับ

นำค่าความดันต่าง ๆ ที่ได้มาใช้สูตรคำนวณโดยอาศัยความสัมพันธ์ของเบรนนูลี มาช่วยหาค่าความเร็วจากสมการ

$$\frac{P_0}{\rho} = \frac{P}{\rho} + \frac{V^2}{2}$$

$$V = \sqrt{\frac{2(P_0 - P)}{\rho}}$$

เมื่อ $P_0 - P$ = ความดัน Stagnation – ความดันสถิตบี (Pa)

ρ = ความหนาแน่นของอากาศ (kg/m^3)

โดย ρ ของอากาศที่อุณหภูมิห้องมีค่าเท่ากับ $1.23 \text{ kg}/m^3$

ทำการแปลงหน่วย $1 \text{ mmH}_2\text{o} = 1 \text{ kg}/m^2 = 9.81 \text{ N}/m^2$

ความดันหน้ารถ : ตัวถังแบบหุ้มล้อ $= 8 \times 9.81 = 78.48 \text{ N}/m^2 = 78.48 \text{ Pa}$

ตัวถังแบบไม่หุ้มล้อ $= 8 \times 9.81 = 78.48 \text{ N}/m^2 = 78.48 \text{ Pa}$

ความดันหลังรถ : ตัวถังแบบหุ้มล้อ $= 4.9 \times 9.81 = 48.07 \text{ N}/m^2 = 48.07 \text{ Pa}$

ตัวถังแบบไม่หุ้มล้อ $= 3.33 \times 9.81 = 32.67 \text{ N}/m^2 = 32.67 \text{ Pa}$

แทนค่าที่ได้จากการวิเคราะห์ลงในสมการ

$$V = \sqrt{\frac{2(P_0 - P)}{\rho}}$$

จะได้

ความเร็วลมที่ใช้ในอุโมงค์ลม $= 11.30 \text{ m/s}$

ความเร็วที่ท้ายรถตัวถังแบบหุ้มล้อคือ $= 7.03 \text{ m/s}$

ความเร็วที่ท้ายรถตัวถังแบบไม่หุ้มล้อคือ $= 8.63 \text{ m/s}$

ผลต่างของความดันด้านหน้าไม้เดครอตและด้านหลังไม้เดครอต

$$\text{ตัวถังแบบหุ้มส้อ} = 78.48 - 48.07 = 30.41 \text{ Pa}$$

$$\text{ตัวถังแบบไม่หุ้มส้อ} = 78.48 - 32.67 = 45.81 \text{ Pa}$$

$$\text{ทำการหาค่าแรงต้านอากาศจากสมการ } P = \frac{D}{A}$$

เมื่อ P = ผลต่างของความดันด้านหน้าไม้เดครอตและด้านหลังไม้เดครอต (Pa)

D = แรงด้านอากาศ (N)

A = พื้นที่หน้าตัดของไม้เดครอตประยัดพลังงาน (m^2)

$$\text{แทนค่าลงในสมการ } P = \frac{D}{A} \text{ จะได้}$$

$$\text{แรงด้านอากาศของตัวถังแบบหุ้มส้อ} = 0.054 \text{ N}$$

$$\text{แรงด้านอากาศของตัวถังแบบไม่หุ้มส้อ} = 0.050 \text{ N}$$

นำค่าแรงด้านอากาศที่ได้ไปหาค่าสัมประสิทธิ์แรงต้านอากาศจากสมการ

$$C_d = \frac{D}{\frac{1}{2} \rho V^2 A}$$

$$\text{จะได้ } C_d \text{ ของตัวถังแบบหุ้มส้อ} = 0.40$$

$$C_d \text{ ของตัวถังแบบไม่หุ้มส้อ} = 0.58$$

4.5 สรุปผลการทดลองภายใต้ลม

ตารางที่ 4.2 สรุปผลการทดลองภายใต้ลม

ไม้เดครอต	พื้นที่หน้าตัด (m^2)	ความดัน ด้านหน้า (Pa)	ความดัน ด้านหลัง (Pa)	ความดันต่าง [*] (Pa)	แรงต้าน อากาศ (N)	สัมประสิทธิ์ แรงต้าน อากาศ
แบบหุ้มส้อ	0.0018	78.48	48.07	30.41	0.054	0.40
แบบไม่หุ้มส้อ	0.0011	78.48	32.67	45.81	0.050	0.58

จากตารางที่ 4.2 สรุปได้ว่า โนเบลจำลองแบบหุ้มล้อซึ่งมีค่าความดันต่างระหว่างความดันด้านหน้ากับความดันด้านหลังเท่ากับ 30.41 Pa ซึ่งน้อยกว่า โนเบลจำลองแบบไม่หุ้มล้อที่มีค่าความดันต่างเท่ากับ 45.81 Pa ในขณะที่แรงด้านอากาศ (D) ของ โนเบลจำลองแบบหุ้มล้อมีค่าเท่ากับ 0.054 N ส่วน โนเบลจำลองแบบไม่หุ้มล้อมีค่าแรงด้านอากาศเท่ากับ 0.050 N โนเบลจำลองแบบหุ้มล้อมีพื้นที่หน้าตัด (A) มากกว่า โนเบลจำลองแบบไม่หุ้มล้อและเมื่อทำการหาค่าสัมประสิทธิ์แรงด้านอากาศ (C_d) พบว่า โนเบลจำลองแบบหุ้มล้อมีค่าสัมประสิทธิ์แรงด้านอากาศเท่ากับ 0.40 ซึ่งน้อยกว่า โนเบลจำลองแบบไม่หุ้มล้อที่มีค่าเท่ากับ 0.58 และคงให้เห็นว่า โนเบลจำลองแบบหุ้มล้อมีรูปทรงที่ถูกต้องกว่า โนเบลจำลองแบบไม่หุ้มล้อถึงแม้ว่า จะมีพื้นที่หน้าตัดมากกว่า ซึ่งค่าสัมประสิทธิ์แรงด้านอากาศนี้มีความสำคัญต่อการออกแบบยานพาหนะ เพราะว่าเมื่อยานพาหนะจะมีพื้นที่หน้าตัดเท่ากันแต่รูปทรงไม่เหมือนกันก็จะมีค่าสัมประสิทธิ์แรงด้านอากาศต่างกันออกไป ค่านี้มีความสำคัญต่อแรงด้านอากาศ เพราะยิ่งค่าสัมประสิทธิ์แรงด้านอากาศมีค่าน้อยลงเท่าไร ค่าแรงด้านอากาศก็จะน้อยลงเท่านั้น ส่งผลให้ยานพาหนะสามารถประทับติดพลา้งงานเชือเพลิงลงไว้ได้



บทที่ 5

สรุปผลโครงงานและข้อเสนอแนะ

5.1 สรุปผลโครงงาน

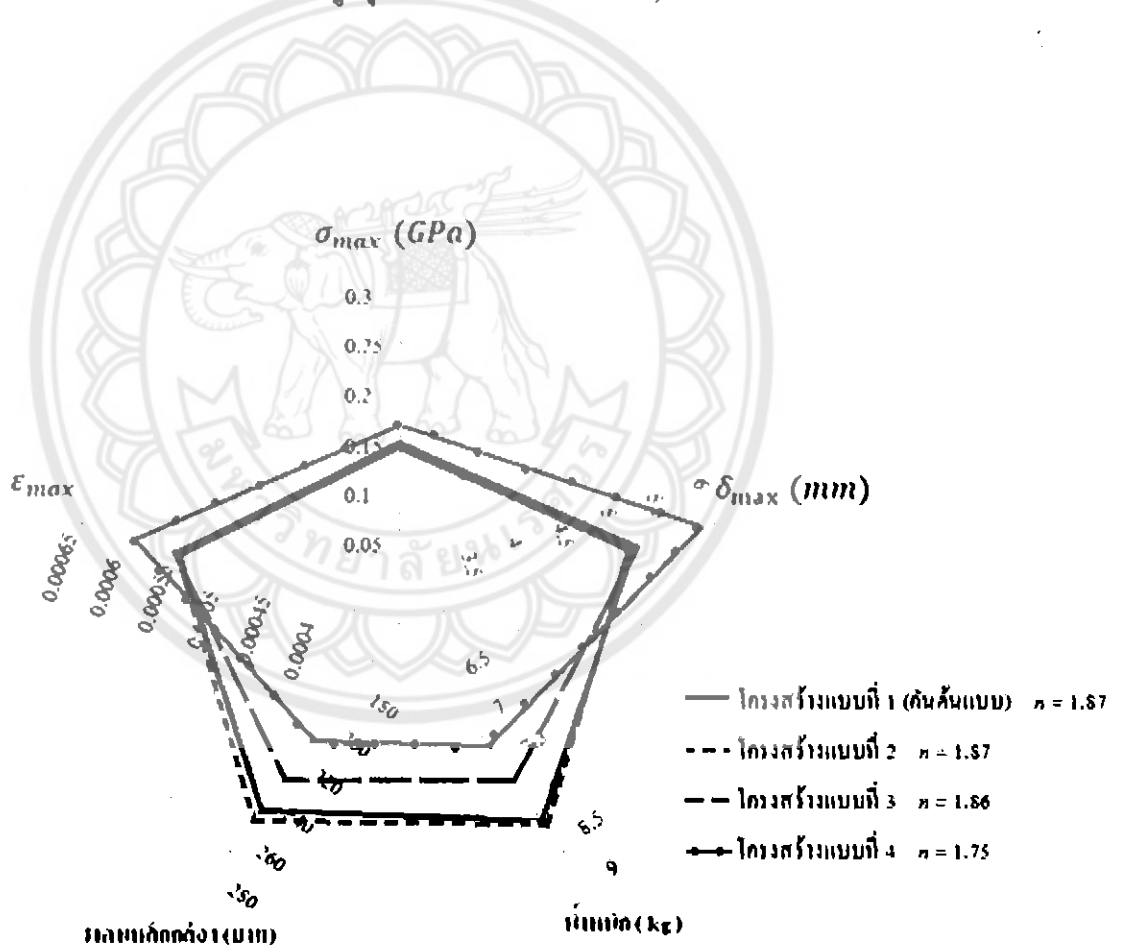
5.1.1 สรุปผลการวิเคราะห์โครงสร้างของรถประหัตพลังงาน

จากการที่ได้ศึกษาและวิเคราะห์โครงสร้างของรถประหัตพลังงานแบบที่ 1 (คันต้นแบบ) ด้วยระบบวิธีทางไฟในต่ออุปกรณ์โดยใช้โปรแกรม Solidworks ใหม่ค Simulation มาช่วยในการวิเคราะห์โดยเป็นการวิเคราะห์แบบการสติติช เมื่อทำการวิเคราะห์โครงสร้างรถประหัตพลังงาน ได้ผลจากการวิเคราะห์จากโปรแกรม คือ ค่าความเก็บสูงสุด (σ_{\max}) เท่ากับ $1.398 \times 10^8 N/m^2$ ความเก็บต่ำสุด (σ_{\min}) เท่ากับ $80.7 N/m^2$ ระยะระหว่างสูงสุด (δ_{\max}) เท่ากับ $5.085 \times 10^{-3} m$ ค่าความปลอดภัยภายในโครงสร้าง (Factor of Safety) ต่ำสุดเท่ากับ 1.87 เมื่อนำผลที่ได้มาทำการวิเคราะห์ความเสียหาย โดยทำการวิเคราะห์ คือ การวิเคราะห์ความเสียหายเนื่องจากการวินท์ติการวิเคราะห์ความเสียหายเนื่องจากการวินท์ได้ผลสรุปเปรียบเทียบคือ (σ_y) > (σ_{\max}) สรุปได้ว่าโครงสร้างของรถประหัตพลังงานไม่เกิดความเสียหายเนื่องจาก การวินท์ น้ำหนักของโครงสร้าง 8.08 กิโลกรัมและราคาของเหล็กที่ใช้ทำโครงสร้างเท่ากับ 238.39 บาท

โครงสร้างรถประหัตพลังงานแบบที่ 2 ซึ่งได้จากการปรับเปลี่ยนโครงสร้างแบบที่ 1 โดยการเพิ่มชิ้นส่วนเหล็กกล่องขนาด $2 \times 2 cm$ หนา $1.5 mm$ ยาว $9 cm$ จำนวน 2 ชิ้นไปในตำแหน่งที่เกิดการกระแทกสูงสุดเพื่อต้องการให้การกระแทกคล่อง จะเห็นได้ว่ามีน้ำหนักเพิ่มขึ้น 0.13 กิโลกรัม ราคาราคาเพิ่มขึ้น 6.96 บาท แต่ค่าความปลอดภัยยังคงและค่าความเก็บสูงสุดยังคงเท่าเดิมและมีการกระแทกสูงสุดคล่อง โดยค่าความเก็บสูงสุดเกิดขึ้นกับชิ้นส่วนที่ 27 และ 29 บริเวณด้านท้ายของชิ้นส่วน ส่วนการกระแทกสูงสุดเกิดขึ้นกับชิ้นส่วนที่ 27, 28 และ 29 บริเวณตรงกลางของชิ้นส่วน

โครงสร้างรถประหัตพลังงานแบบที่ 3 ซึ่งได้จากการปรับเปลี่ยนโครงสร้างแบบที่ 1 โดยการตัดเอาชิ้นส่วนเหล็กกล่องขนาด $2 \times 2 cm$ หนา $1.5 mm$ ยาว $9 cm$ จำนวน 2 ชิ้นและเหล็กกล่องขนาด $2 \times 2 cm$ หนา $1.2 mm$ ยาว $34 cm$ จำนวน 2 ชิ้นออกไป จะเห็นได้ว่ามีน้ำหนักลดลงไปจากโครงสร้างคันต้นแบบ 0.57 กิโลกรัม ราคากล่องจากเดิม 16.26 บาท เนื่องจากได้มีการตัดชิ้นส่วนบางชิ้นออกไป ทำให้มีค่าความเก็บสูงสุดและการกระแทกสูงสุดเพิ่มขึ้น และค่าความปลอดภัยลดลงมาเหลือ 1.86 โดยค่าความเก็บสูงสุดเกิดขึ้นกับชิ้นส่วนที่ 27 และ 29 บริเวณด้านท้ายของชิ้นส่วน ส่วนการกระแทกสูงสุดเกิดขึ้นกับชิ้นส่วนที่ 27, 28 และ 29 บริเวณตรงกลางของชิ้นส่วน

โครงสร้างรถประหัดพลังงานแบบที่ 4 ซึ่งได้จากการปรับเปลี่ยนโครงสร้างแบบที่ 1 โดยทำการตัด เอาชิ้นส่วนเหล็กกล่องขนาด $2 \times 2 \text{ cm}$ หนา 1.2 mm ยาว 34 cm จำนวน 2 ชิ้นออกไปและปรับเปลี่ยนความ หนาของเหล็กโครงสร้างให้มีความหนาเท่ากันหมดทุกชิ้นส่วนคือ 1.2 mm จะเห็นได้ว่ามีน้ำหนักลดลงไป จากโครงสร้างคันต้นแบบ 0.92 กิโลกรัม ราคาลดลงจากเดิม 35.49 บาท ต่างจากโครงสร้างแบบที่ 1 (โครงสร้างเดิม) แบบที่ 2 และแบบที่ 3 ซึ่งชิ้นส่วนค้านล่างทุกชิ้นจะมีความหนา 1.5 mm และชิ้นส่วน ค้านบนทุกชิ้นหนา 1.2 mm โครงสร้างแบบที่ 4 นี้จะมีค่าความเดินสูงสุดและการกระชับสูงสุดมากกว่าทุก โครงสร้างและมีค่าความปลดปลั๊กลดลงเหลือ 1.75 โดยค่าความเดินสูงสุดเกิดขึ้นกับชิ้นส่วนที่ 27 และ 29 บริเวณค้านหน้าของชิ้นส่วน ส่วนการกระชับสูงสุดเกิดขึ้นกับชิ้นส่วนที่ 27, 28 และ 29 บริเวณตรงกลางของ ชิ้นส่วน



รูปที่ 5.1 สรุปผลโครงสร้างรถประหัดพลังงานทั้ง 4 แบบ

หมายเหตุ : น้ำหนักของโครงสร้าง ไม่ได้รวมน้ำหนักของลวดเชื่อมหรือชิ้นส่วนประกอบอื่นๆ ที่ เลิกน้อยเข้าไปด้วย ในส่วนของราคากำใช้จ่ายเป็นเพียงราคางานเหล็กกล่องเท่านั้น ไม่ได้รวมค่าใช้จ่ายอื่นๆ เข้าไปด้วย

จากรูปที่ 5.1 สรุปผลการทดลองปรับเปลี่ยนโครงสร้างของรถประหัตพลังงานทั้ง 3 ครั้ง ทำให้สามารถสรุปได้ว่าโครงสร้างรถประหัตพลังงานแบบที่ 4 มีความเหมาะสมและสามารถนำไปใช้งานจริงได้ดีที่สุด เนื่องจากมีน้ำหนักเบาที่สุด ราคาถูกที่สุด เหมาะสมกับการเบ่งชันรถประหัตพลังงาน เพราะว่าซึ่งน้ำหนักน้อยลงเท่าไรก็จะสามารถประหัตพลังงานเชือเพลิงได้ แต่ทั้งนี้ก็ต้องคำนึงถึงความปลอดภัยของโครงสร้างว่าสามารถรองรับภาระอันเนื่องจากน้ำหนักที่กระทำต่อโครงสร้างได้หรือไม่ ถึงแม้ว่าโครงสร้างแบบที่ 4 จะมีค่าความเค้นสูงสุด ความเครียดสูงสุด การกระชับสูงสุดแต่ค่าความปลอดภัยต่ำที่สุดก็ตามแต่ก็ไม่เกิดความเสียหายเนื่องจากการวินบดีและการกระชับสูงสุดก็อยู่ในขอบเขตที่สามารถยอมรับได้ดี ไม่เกิน 0.01 m

5.1.2 ศูนย์ผลการวิเคราะห์ด้านอากาศพลศาสตร์

จากการที่ได้สร้างโมเดลจำลองของรถประหัตพลังงานทั้งสองแบบคือ ตัวถังแบบหุ้มล้อและตัวถังแบบไม่หุ้มล้อ ในขนาดบ่อส่วน 17:1 แล้วนำมาทำการทดลองภายในอุโมงค์ลม Modular Air Flow เพื่อวัดค่าความดัน Stagnation ที่ด้านหน้าไม่เคลื่อนไหวและความดันสติติที่ด้านท้ายไม่เคลื่อนไหวเพื่อวัดหาค่าความดันต่างของไม่เคลื่อนไหวทั้งสองแบบ แล้วนำค่าที่ได้มาคำนวณหาค่าความเร็วที่ด้านท้ายไม่เคลื่อนไหวของรถประหัตพลังงานทั้งสองแบบ

การทดลองภายในอุโมงค์ลมทำให้ได้ผลการทดลองออกมาว่า ไม่เคลื่อนไหวแบบหุ้มล้อซึ่งมีค่าความดันต่างระหว่างความดันด้านหน้ากับความดันด้านหลังเท่ากับ 30.41 Pa ซึ่งน้อยกว่าไม่เคลื่อนไหวแบบไม่หุ้มล้อที่มีค่าความดันต่างเท่ากับ 45.81 Pa ในขณะที่แรงด้านอากาศ (D) ของไม่เคลื่อนไหวแบบหุ้มล้อมีค่าเท่ากับ 0.054 N ส่วนไม่เคลื่อนไหวแบบไม่หุ้มล้อมีแรงด้านอากาศเท่ากับ 0.050 N ไม่เคลื่อนไหวแบบหุ้มล้อมีพื้นที่หน้าตัด (A) มากกว่าไม่เคลื่อนไหวแบบไม่หุ้มล้อและเมื่อทำการหาราคาสัมประสิทธิ์แรงด้านอากาศ (C_d) พบร่วมกับไม่เคลื่อนไหวแบบหุ้มล้อมีค่าสัมประสิทธิ์แรงด้านอากาศเท่ากับ 0.40 ซึ่งน้อยกว่าไม่เคลื่อนไหวแบบไม่หุ้มล้อที่มีค่าเท่ากับ 0.58 และคงให้เห็นว่าไม่เคลื่อนไหวแบบหุ้มล้อมีรูปทรงที่สูญเสียมากกว่าไม่เคลื่อนไหวแบบไม่หุ้มล้อถึงแม้ว่าจะมีพื้นที่หน้าตัดมากกว่า ซึ่งค่าสัมประสิทธิ์แรงด้านอากาศนี้มีความสำคัญต่อการออกแบบยานพาหนะ เพราะว่าแม้ยานพาหนะจะมีพื้นที่หน้าตัดเท่ากันแต่รูปทรงไม่เหมือนกันก็จะมีค่าสัมประสิทธิ์แรงด้านอากาศต่างกันออกไป ค่านี้มีความสำคัญต่อแรงด้านอากาศ เพราะซึ่งค่าสัมประสิทธิ์แรงด้านอากาศมีค่าน้อยลงเท่าไร ค่าแรงด้านอากาศก็จะน้อยลงเท่านั้น ส่งผลให้ยานพาหนะสามารถประหัตพลังงานเชือเพลิงลงไปได้

5.2 ข้อเสนอแนะ

การวิเคราะห์โครงสร้างและอาชีวศึกษาสตรีของสถาบันประยุคพลังงานคณัติทำมีข้อเสนอแนะดังนี้

5.2.1 ในส่วนของโครงสร้าง

ในการออกแบบโครงสร้างสถาบันประยุคพลังงานอาจออกแบบโครงสร้างขึ้นมาในรูปแบบใหม่ได้ วัสดุที่ใช้ทำโครงสร้างอาจจะเลือกใช้วัสดุที่มีความแข็งแรงกว่า สามารถใช้ห้องเก็บกลมแทนเหล็กกล่องได้ เนื่องจากห้องเหล็กกล่องจะไม่มีความเดินสะสมอยู่ด้านบนเหมือนเหล็กกล่อง

5.2.2 ในส่วนของตัวถัง

ตัวถังจะเลือกใช้ตัวถังแบบไม่หุ้มล้อ อาจเกิดลมไหหลบปืนป่วนภายในช่องล้อ ดังนั้นจึงควรติดที่ครอบช่องล้อ เพื่อป้องกันไม่ให้เกิดลมไหหลบปืนป่วนภายในช่องล้อ จะทำให้เกิดแรงด้านอากาศน้อยลงกว่าเดิมและอาจมีการปรับเปลี่ยนรูปทรงในบางจุดเพื่อให้มีความถ่วงมากขึ้นซึ่งจะทำให้ค่าสัมประสิทธิ์แรงด้านอากาศลดลงได้



บรรณานุกรม

- [1] Richard G. Budynas and J. Keith Nisbett. Mechanical Engineering Design, Eight Edition in SI Unit, 2008, Copy Right by McGraw. Hill Companies, USA.
- [2] Yunus A. Cengel and John M. Cimbala, Fluid mechanics fundamentals and applications, 2003, McGraw.Hill, International edition, McGraw.Hill Companies, USA.
- [3] ผศ.บวรจน อรชร, "การ ก่อตัวของคาน." กลศาสตร์ของแข็ง.กรุงเทพฯ: บริษัทพิมพ์ดี จำกัด, 2545.
- [4] ทวีศักดิ์ ศรีช่วง, Solidworks Handbook. กรุงเทพฯ: สำนักพิมพ์ส่งเสริมเทคโนโลยี (ไทย-ญี่ปุ่น), สำนัก, 2549
- [5] อ.นพรัตน์ สีหะวงศ์, เอกสารประกอบการเรียน ระเบียบวิธีไฟในอุตสาหกรรม 302423-1-2552. ภาควิชาวิศวกรรมเครื่องกล คณะวิศวกรรมศาสตร์ มหาวิทยาลัยนเรศวร
- [6] อ.รัตนา การัญญาณันท์, เอกสารประกอบการเรียน กลศาสตร์ของแข็ง 1 302221-1-2551-บทที่ 8 การ ก่อตัวของคาน.ภาควิชาวิศวกรรมเครื่องกล คณะวิศวกรรมศาสตร์ มหาวิทยาลัยนเรศวร.
- [7] แรงต้านอากาศ.เข้าถึงได้จาก; https://pindex.ku.ac.th/file_research/ME4.doc (18 พ.ย. 2552)
- [8] การทดสอบสมบัติของเหล็ก, ปริญญา ni พนธ์เรื่องการวิเคราะห์และออกแบบโครงสร้างรถ TSAE Student Formula โดยใช้คอมพิวเตอร์ช่วง, คณะวิศวกรรมศาสตร์ สาขาวิศวกรรมเครื่องกล มหาวิทยาลัยนเรศวร, ปีการศึกษา 2551